

بِسْمِ اللّٰهِ الرَّحْمٰنِ الرَّحِيْمِ



دانشکده عمران و معماری  
گروه عمران

## بهینه یابی پیکربندی قاب خمشی فولادی خرپایی ویژه جهت بهبود رفتار لرزه ای

دانشجو: آرمین بدخشان

استاد راهنما:

دکتر وحید رضا کلات جاری

استاد مشاور:

دکتر سیروس غلامپور

پایان نامه ارشد جهت اخذ درجه کارشناسی ارشد

ماه و سال انتشار: شهریور ۱۳۹۰

## دانشگاه صنعتی شاهرود دانشکده: عمران و معماری

### گروه: عمران

#### پایان نامه کارشناسی ارشد آقای آرمین بدخشنان

تحت عنوان: بهینه یابی بیکر بندی قابهای خمی فولادی خربایی (STMF) جهت بهبود رفتار لرزه ای آنها در تاریخ ۱۳۹۰/۶/۲۸ توسط کمیته تخصصی زیر جهت اخذ مدرک کارشناسی ارشد مورد ارزیابی و با درجه موردنظر پذیرش قرار گرفت.

امضاء	اساتید مشاور:	امضاء	اساتید راهنمای:
—	نام و نام خانوادگی: دکتر سیروس غلامیور		نام و نام خانوادگی: دکتر وحیدرخا کلات جاری
	نام و نام خانوادگی:		نام و نام خانوادگی:
امضاء	نامینده تحصیلات تکمیلی	امضاء	اساتید داور:
	نام و نام خانوادگی: مهندس سید علی حسینی		نام و نام خانوادگی: دکتر علی کیبهانی
			نام و نام خانوادگی: دکتر سید فضل... ساغروانی

با سپاس از

آنان که ناتوان شدند تا ما به توانایی برسیم ...

موهایشان سپید شد تا ما روسفید شویم ...

و عاشقانه سوختند تا گرما بخشن وجود ما و روشنگ راهمان باشند ...

سپاسگذار کسانی هستم که سر آغاز تولد من هستند. از یکی زاده می‌شوم و از دیگری

جاودانه ...

م در و م ا در م  
ه

با تشکر از آنانکه...

به پاس قلب های بزرگشان که فریادرس است و سرگردانی و ترس در پناهشان به شجاعت می گراید و به پاس محبت های بی دریغشان که هرگز فروکش نمی کند ...

با تقدیر و تشکر شایسته از اساتید فرهیخته جناب آقای دکتر کلات جاری و جناب آقای دکتر غلامپور که با نکته های دلاویز و گفته های بلند همواره راهنمای و راه گشای نگارنده در اتمام و اكمال پایان نامه بوده اند.

دانشجو تائید می نماید که مطالب مندرج در این پایان نامه، نتیجه تحقیقات خودش  
می باشد و در صورت استفاده از نتایج دیگران، مرجع آن ذکر نموده است.

کلیه حقوق مادی مترتب از نتایج مطالعات، آزمایشات و نوآوری ناشی از تحقیق  
موضوع این پایان نامه متعلق به دانشگاه صنعتی شهرورد می باشد.

شهریور ۱۳۹۰

## چکیده

در این پایان نامه ضریب رفتار قابهای خمشی خرپایی ویژه با دو الگوی اعضای خرپا بصورت ویرندیل و ضربدری با استفاده از روش یانگ و بر اساس روش همگرایی تعیین شده است. تعیین ضریب رفتار این سیستم بدلیل کارآمد بودن در دهانه های بزرگ و عدم شناخت دقیق آن در آیین نامه ها از اهمیت ویژه ای برخوردار است.

بر اساس نتایج حاصل در این پایان نامه قابهای خمشی خرپایی با آرایش ویرندیل از شکل پذیری بهتری نسبت به آرایش ضربدری برخوردار هستند. بعلاوه با افزایش تعداد دهانه قاب و تعداد طبقات شکل پذیری افزایش می یابد.

بر اساس نتایج حاصل از ۳ تا ۵ طبقه  $R < 6.35$  و از ۶ تا ۸ طبقه در محدوده  $R < 3.94$  حاصل شده است. در ادامه به بررسی فرم مناسب خرپایی ویرندیل بر اساس نسبتهای مختلف دهانه ناحیه ویژه به ارتفاع خرپا جهت کسب ضریب رفتار مناسب پرداخته شده است. بر اساس نتایج حاصل با افزایش نسبت مذکور، ضریب رفتار افزایش می یابد.

## کلمات کلیدی :

قاب خمشی خمشی خرپایی ویژه ، ضریب رفتار، آنالیز استاتیکی غیرخطی (push over)، بهینه یابی

## فهرست مطالب

### فصل اول: کلیات

۱	۱-۱. مقدمه
۴	۱-۲. هدف از این پژوهش
۵	۱-۳. ساختار پایان نامه

### فصل دوم: موضوعات و تئوری‌های مرتبط با موضوع تحقیق و مروری بر کارهای انجام شده

#### قبلی

۷	۲-۱. معرفی قابهای خمثی با تیرهای خرپایی
۷	۲-۱-۱. مقدمه
۸	۲-۱-۲. قابهای خمثی با تیرهای خرپایی معمولی
۹	۲-۱-۳. قابهای خمثی با تیرهای خرپایی ویژه
۱۲	۴-۱-۲. مکانیزم تسلیم
۱۳	۵-۱-۲. روش طراحی قاب ممان گیر با تیرهای خرپایی ویژه
	۵-۲. تعیین ضریب رفتار و مطالعه پارامترهای مؤثر بر روی آن
۱۴	۱-۲-۲. مقدمه
۱۴	۲-۲-۲. تعریف اصطلاحات مورد استفاده
۱۶	۲-۲-۳. تعیین ضریب رفتار و ضریب افزایش تغییر مکان $C_d$ , $R_w$ و $R$
۱۷	۳-۲. پارامترهای مؤثر بر ضریب رفتار
۱۷	۱-۳-۲. ضریب کاهش نیرو $R_{\mu}$ و مروری بر تحقیقات انجام شده
۱۹	۱-۱-۳-۲. نیومارک و هال
۲۰	۲-۱-۳-۲. لایی و بیگس

۲۱	۳-۱-۳-۲. ریدل و نیومارک
۲۲	۴-۱-۳-۲. القا دامسی و محز
۲۳	۵-۱-۳-۲. ریدل، هیدالگو و کروز
۲۴	۶-۱-۳-۲. آرایز و هیدالگو
۲۵	۷-۱-۳-۲. ناسار و کراوینکلر
۲۶	۸-۱-۳-۲. ویدیک، فجفر و فیشینگر
۲۸	۹-۱-۳-۲. میراندا
۳۱	۲-۳-۲. پارامترهای اصلی تأثیرگذار بر ضریب کاهش نیرو $R_u$
۳۳	۳-۳-۲- نتیجه‌گیری مطالعات انجام شده بر روی ضریب کاهش شکل‌پذیری $R_u$
۳۳	۴-۳-۲. ضریب اضافه مقاومت $R_S$
۳۹	۴-۴-۲- سایر روش‌های تعیین ضریب رفتار
۳۹	۱-۴-۲. روش فریمن
۴۲	۲-۴-۲. روش تکرار
۴۳	۵-۲. جمع‌بندی

### فصل سوم: توضیح روش‌های انجام کار مورد استفاده در این تحقیق

۴۵	۱-۳. مقدمه
۴۵	۲-۳. کلیات روش تحقیق
۴۸	۳-۳. معرفی نمونه‌ها
۴۸	۱-۳-۳. سیستم سازه‌ای
۴۸	۲-۳-۳. فرضیات ساخت نمونه‌ها
۴۹	۳-۳-۳. هندسه و بارگذاری نمونه‌ها

۵۰	۴-۳. مبانی طراحی
۵۱	۴-۳-۱. بارهای جانبی
۵۲	۴-۳-۵. تحلیل غیرخطی مدل‌ها
۵۵	۴-۳-۶. تعیین ضریب رفتار
۵۷	۴-۳-۷. روش بررسی قاب‌ها

## فصل چهارم: محاسبه و استخراج نتایج

۵۹	۴-۱. مقدمه
۵۹	۴-۲. مثال نمونه
۶۳	۴-۳. برآورد ضریب رفتارسازه با معیار کنترل تغییر مکان نسبی طبقه
۶۳	۴-۳-۱. خلاصه نتایج آنالیز استاتیکی غیرخطی در حالت استفاده از قاب خمشی فولادی خرپایی ویژه ویرندیل
۶۴	۴-۳-۱-۱. منحنی ظرفیت
۶۶	۴-۳-۱-۲. تحلیل نتایج
۶۶	۴-۳-۲. خلاصه نتایج آنالیز استاتیکی غیرخطی در حالت استفاده از قاب خمشی فولادی خرپایی ویژه با قطریهای ضربدری
۷۲	۴-۳-۲-۱. منحنی ظرفیت (نیرو-تغییر مکان سازه)
۷۵	۴-۳-۲-۲. تحلیل نتایج
۷۵	۴-۳-۳. مقایسه نتایج آنالیز استاتیکی غیرخطی برای قاب خمشی فولادی خرپایی ویژه ویرندیل و قطریهای ضربدری
۸۱	

## فصل پنجم: بهینه یابی

۸۹	۱- مقدمه
۸۹	۲- نتایج آنالیز استاتیکی غیرخطی در حالت استفاده از قاب خمشی فولادی خرپایی ویژه ویرندیل
۸۹	با نسبت طول دهانه به ارتفاع قطعه ویژه مختلف
۸۹	۱- منحنی ظرفیت
۹۳	۳- نتایج تحلیل

## فصل ششم: نتیجه‌گیری و ارائه پیشنهادات

۹۶	۱- نتیجه‌گیری
۹۷	۲- پیشنهاد برای تحقیقات آینده
۹۹	مراجع

## فهرست اشکال

..... شکل (۱-۲): نمونه ای از قاب با تیر خرپایی معمولی (وارن)	۹
..... شکل (۲-۲): قاب خمشی خرپایی ویژه با دو پانل ویرندیل در نواحی ویژه	۱۰
..... شکل (۳-۲): داکت عبوری از پانل ویرندیل	۱۱
..... شکل (۴-۲): قاب با تیر خرپایی ویژه (با قطریهای ضربدری)	۱۲
..... شکل (۵-۲): قاب با تیر خرپایی ویژه (ویرندیل)	۱۲
..... شکل (۶-۲): چرخه های هیسترزیس قابهای خمشی با تیرهای خرپایی ویژه	۱۲
..... شکل (۷-۲): مکانیزم تسلیم قاب خمشی با تیرهای خرپایی ویژه به فرم ناحیه وسط ضربدری	۱۳
..... شکل (۸-۲): شکل کلی رفتار سازه	۱۵
..... شکل (۹-۲): طیف خطی و غیرخطی با شکل پذیری ثابت	۱۹
..... شکل (۱۰-۲): ضریب کاهش مقاومت بدست آمده در تحقیق نیومارک و هال	۲۰
..... شکل (۱۱-۲): ضریب کاهش مقاومت بدست آمده در تحقیق لایی و بیگس	۲۱
..... شکل (۱۲-۲): ضریب کاهش مقاومت بدست آمده در تحقیق ریدل و نیومارک برای میرایی ۵٪	۲۲
..... شکل (۱۳-۲): ضریب کاهش مقاومت بدست آمده در تحقیق القا دامسی و محرز	۲۳
..... شکل (۱۴-۲): ضریب کاهش مقاومت بدست آمده در تحقیق ریدل و هیدالگو و کروز	۲۵
..... شکل (۱۵-۲): ضریب کاهش مقاومت بدست آمده در تحقیق آرایزو هیدالگو برای $T_{sec} = 0.2$	۲۵
..... شکل (۱۶-۲): ضریب کاهش مقاومت بدست آمده در تحقیق ناسار و کراوینکلر	۲۷
..... شکل (۱۷-۲): ضریب کاهش مقاومت بدست آمده در تحقیق ویدک، فجفر و فیشنینگر	۲۸
..... شکل (۱۸-۲): ضریب کاهش مقاومت بدست آمده در تحقیق میراندا برای خاکهای مختلف	۳۰
..... شکل (۱۹-۲): اثر بزرگی زلزله در ضریب کاهش مقاومت، بدست آمده توسط میراندا	۳۱
..... شکل (۲۰-۲): اثر فاصله کانونی زلزله در ضریب کاهش مقاومت، بدست آمده توسط میراندا	۳۱

شکل (۲۱-۲)؛ ضریب اضافه مقاومت سازه بر حسب تعداد طبقات، برای قاب مهار بندی شده همگرای

ویژه ..... ۳۷

شکل (۲۲-۲)؛ ضریب اضافه مقاومت سازه بر حسب تعداد طبقات، برای قاب مهار بندی شده همگرای

معمولی ..... ۳۷

شکل (۲۳-۲)؛ ضریب اضافه مقاومت سازه بر حسب پریود، برای قابهای فولادی ..... ۳۸

شکل (۲۴-۲)؛ ضریب اضافه مقاومت سازه بر حسب تعداد طبقات، برای قاب خمشی فولادی ..... ۳۸

شکل (۲۵-۲)؛ منحنی ظرفیت سازه ..... ۴۱

شکل (۲۶-۲)؛ منحنی احتیاجات لرزه‌ای ..... ۴۲

شکل (۱-۳)؛ مکانیسم سازه در مد ناپایداری کلی ..... ۴۶

شکل (۲-۳)؛ مکانیسم سازه در مد طبقه نرم ..... ۴۶

شکل (۳-۳)؛ نمای کلی از پلان سازه و قابهای انتخابی تحت بارگذاری جانبی مثلثی ..... ۵۰

شکل (۴-۳)؛ نمای اختصاص یافته مفاصل پلاستیک به نمونه ای از قاب خمشی خرپایی ویژه ویریندل

سه طبقه با سه دهانه ..... ۵۳

شکل (۳-۵)؛ نمودار منحنی ظرفیت سازه سه طبقه با سه دهانه تحت الگو بارگذاری جانبی مثلثی

..... ۵۵

شکل (۶-۳)؛  $\mu$ -R-T ارایه شده توسط کراوینکلر ..... ۵۷

شکل (۱-۴)؛ نمودار دو منحنی بار-تغییر مکان سازه STM3-3—Vierendeel تحت الگوی بارگذاری

جانبی مثلثی و  $R=6$  ..... ۶۰

شکل (۲-۴)؛ تغییر شکل و مفصل تشکیل شده در نمونه STM3-3-- Vierendeel تحت

الگوی بارگذاریمثلثی و  $R=6$  ..... ۶۱

شکل (۳-۴)؛ منحنی برش پایه-تغییر مکان برای STM 2- n Vierendeel تحت الگو بارگذاری جانبی

مثلثی ..... ۶۴

شكل (۴-۴): منحنی برش پایه-تغییر مکان برای STM 3- n Vierendeel تحت الگو بارگذاری جانبی مثلثی	۶۵
شكل (۵-۴): نمودار شکل پذیری سازه های دو دهانه طراحی شده با قاب خمشی فولادی خرپایی ویژه ویرندیل	۶۶
شكل (۶-۴): نمودار شکل پذیری سازه های سه دهانه طراحی شده با قاب خمشی فولادی خرپایی ویژه ویرندیل	۶۷
شكل (۷-۴): مقایسه شکل پذیری سازه های طراحی شده با قاب خمشی فولادی خرپایی ویژه ویرندیل	۶۸
شكل (۸-۴): نمودار ظرفیت جانبی سازه های دو دهانه طراحی شده با قاب خمشی فولادی خرپایی ویژه ویرندیل	۶۸
شكل (۹-۴): نمودار ظرفیت جانبی سازه های سه دهانه طراحی شده با قاب خمشی فولادی خرپایی ویژه ویرندیل	۶۹
شكل (۱۰-۴): مقایسه متوسط ظرفیت جانبی سازه های طراحی شده با قاب خمشی فولادی خرپایی ویژه ویرندیل	۶۹
شكل (۱۱-۴): نمودار ضریب کاهش نیرو با افزایش ارتفاع قاب خمشی فولادی خرپایی ویژه ویرندیل دو دهانه	۷۰
شكل (۱۲-۴): نمودار ضریب کاهش نیرو با افزایش ارتفاع قاب خمشی فولادی خرپایی ویژه ویرندیل سه دهانه	۷۰
شكل (۱۳-۴): نمودار ضریب رفتار سازه های دو دهانه طراحی شده با قاب خمشی فولادی خرپایی ویژه ویرندیل	۷۱
شكل (۱۴-۴): نمودار ضریب رفتار سازه های سه دهانه طراحی شده با قاب خمشی فولادی خرپایی ویژه ویرندیل	۷۱

شکل (۱۵-۴): نمودار مقایسه ضریب رفتار سازه‌های طراحی شده با قاب خمشی فولادی خرپایی ویژه ویرندیل	۷۲
شکل (۱۶-۴): منحنی برش پایه- تغییر مکان سازه STM 2-n-X تحت الگوی بارگذاری مثلثی	۷۳
شکل (۱۷-۴): منحنی برش پایه- تغییر مکان سازه STM 3-n-X تحت الگوی بارگذاری مثلثی	۷۴
شکل (۱۸-۴): شکل پذیری سازه‌های دو دهانه طراحی شده با قاب خمشی فولادی خرپایی ویژه با قطریهای ضربدری	۷۵
شکل (۱۹-۴): شکل پذیری سازه‌های سه دهانه طراحی شده با قاب خمشی فولادی خرپایی ویژه با قطریهای ضربدری	۷۶
شکل (۲۰-۴): مقایسه متوسط مقادیر شکل پذیری سازه‌های طراحی شده با قاب خمشی فولادی خرپایی ویژه با قطریهای ضربدری	۷۶
شکل (۲۱-۴): نمودار ظرفیت جانبی سازه‌های دو دهانه طراحی شده با قاب خمشی فولادی خرپایی ویژه با قطریهای ضربدری	۷۷
شکل (۲۲-۴): نمودار ظرفیت جانبی سازه‌های سه دهانه طراحی شده با قاب خمشی فولادی خرپایی ویژه با قطریهای ضربدری	۷۸
شکل (۲۳-۴): مقایسه متوسط ظرفیت جانبی سازه‌های طراحی شده با قاب خمشی فولادی خرپایی ویژه با قطریهای ضربدری	۷۸
شکل (۲۴-۴): نمودار ضریب رفتار سازه‌های دو دهانه طراحی شده با قاب خمشی فولادی خرپایی ویژه با قطریهای ضربدری	۷۹
شکل (۲۵-۴): نمودار ضریب رفتار سازه‌های سه دهانه طراحی شده با قاب خمشی فولادی خرپایی ویژه با قطریهای ضربدری	۸۰
شکل (۲۶-۴): نمودار مقایسه ضریب رفتار سازه‌های طراحی شده با قاب خمشی فولادی با قطریهای ضربدری دو و سه دهانه	۸۱

شکل (۲۷-۴): مقایسه شکل پذیری سازه های دو دهانه طراحی شده با قاب خمشی فولادی خرپایی ویژه ویریندل با قطریهای ضربدری	۸۲
شکل (۲۸-۴): مقایسه شکل پذیری سازه های سه دهانه طراحی شده با قاب خمشی فولادی خرپایی ویژه ویریندل با قطریهای ضربدری	۸۳
شکل (۲۹-۴): مقایسه متوسط شکل پذیری سازه های دو دهانه طراحی شده با قاب خمشی فولادی خرپایی ویژه ویرندیل و قطریهای ضربدری	۸۳
شکل (۳۰-۴): مقایسه متوسط شکل پذیری سازه های سه دهانه طراحی شده با قاب خمشی فولادی خرپایی ویژه ویرندیل و قطریهای ضربدری	۸۴
شکل (۳۱-۴): مقایسه ضریب رفتار سازه های دو دهانه طراحی شده با قاب خمشی فولادی خرپایی ویژه ویریندل با قطریهای ضربدری	۸۴
شکل (۳۲-۴): مقایسه ضریب رفتار سازه های سه دهانه طراحی شده با قاب خمشی فولادی خرپایی ویژه ویریندل با قطریهای ضربدری	۸۵
شکل (۳۳-۴): مقایسه متوسط ضریب رفتار سازه های دو دهانه طراحی شده با قاب خمشی فولادی خرپایی ویژه ویرندیل و قطریهای ضربدری	۸۵
شکل (۳۴-۴): مقایسه متوسط ضریب رفتار سازه های سه دهانه طراحی شده با قاب خمشی فولادی خرپایی ویژه ویرندیل و قطریهای ضربدری	۸۶
شکل (۳۵-۴) تشکیل مفاصل پلاستیک بر روی سازه STM 3-5 Virindeel تحت بارگذاری مثلثی	۸۶
شکل (۳۶-۴): تشکیل مفاصل پلاستیک بر روی سازه STM 3-5X تحت بارگذاری مثلثی	۸۷
شکل (۱-۵): منحنی برش پایه- تغییر مکان برای STM3-Virendeel با نسبت $a/b=2.5$ تحت الگوی بارگذاری جانبی مثلثی	۹۰
شکل (۲-۵) منحنی برش پایه- تغییر مکان برای STM3-Virendeel با نسبت $a/b=2$ تحت	

الگوی بارگذاری جانبی مثلثی ..... ۹۰

شکل (۳-۵) منحنی برش پایه- تغییر مکان برای STM3-Virendeel با نسبت  $a/b=1.5$  تحت

الگوی بارگذاری جانبی مثلثی ..... ۹۱

شکل (۴-۵) : منحنی برش پایه- تغییر مکان برای STM3-Virendeel با نسبت  $a/b=1$  تحت

الگوی بارگذاری جانبی مثلثی ..... ۹۱

شکل (۵-۵) : نمودار ضریب رفتار سازه‌های سه دهانه طراحی شده با قاب خمشی فولادی

خرپایی ویژه ویرندیل ..... ۹۴

## فهرست جداول

جدول (۱-۲): مقادیر $R^*$ و $T^*$ برای شکل پذیری مختلف.....	۲۴
جدول (۲-۲): مقادیر $a$ و $b$ براساس سخت‌شوندگی کرنشی ( $\alpha$ ) .....	۲۶
جدول (۴-۱): نقاط کلیدی سازه سه طبقه با سه دهانه طراحی شده با قاب خمثی فولادی خرپایی ویژه ویرندیل و $R=6$ .....	۶۰
جدول (۴-۲): ضریب رفتار و پارامترهای مربوط به سازه STM 3-3- Vierendeel تحت	
الگوی بارگذاری مثلثی $R=6$ .....	۶۲
جدول (۳-۴): خلاصه نتایج آنالیز استاتیکی غیرخطی سازه‌های دو دهانه طراحی شده با قاب خمثی فولادی خرپایی ویژه ویرندیل تحت بار بارگذاری جانبی مثلثی .....	۶۵
جدول (۴-۴): نتایج آنالیز استاتیکی غیرخطی سازه‌های سه دهانه طراحی شده با قاب خمثی فولادی خرپایی ویژه ویرندیل تحت بار بارگذاری جانبی مثلثی .....	۶۶
جدول (۴-۵): خلاصه نتایج آنالیز استاتیکی غیرخطی سازه‌های دو دهانه طراحی شده با قاب خمثی فولادی خرپایی ویژه با قطریهای ضربدری .....	۷۴
جدول (۴-۶): خلاصه نتایج آنالیز استاتیکی غیرخطی سازه‌های سه دهانه طراحی شده با قاب خمثی فولادی خرپایی ویژه با قطریهای ضربدری .....	۷۵
جدول (۱-۵) نتایج آنالیز استاتیکی غیرخطی سازه‌های سه دهانه طراحی شده با قاب خمثی فولادی خرپایی ویژه ویرندیل با نسبت دهانه به ارتفاع قطعه ویژه $a/b=2.5$ .....	۹۲
جدول (۲-۵): نتایج آنالیز استاتیکی غیرخطی سازه‌های سه دهانه طراحی شده با قاب خمثی فولادی خرپایی ویژه ویرندیل با نسبت دهانه به ارتفاع قطعه ویژه $a/b=2.0$ .....	۹۲
جدول (۳-۵): خلاصه نتایج آنالیز استاتیکی غیرخطی سازه‌های سه دهانه طراحی شده با قاب خمثی فولادی خرپایی ویژه ویرندیل با نسبت دهانه به ارتفاع قطعه ویژه $a/b=1.5$ .....	۹۳

(۴-۵): خلاصه نتایج آنالیز استاتیکی غیرخطی سازه‌های سه دهانه طراحی شده با قاب خمی  
فولادی خرپایی ویژه ویرندیل با نسبت دهانه به ارتفاع قطعه ویژه  $a/b=1$  ..... ۹۳

**فصل اول:**

**کلیات**

## مقدمه

امروزه به علت افزایش بی رویه جمعیت و محدودیت زمینهای شهری بخصوص در مناطق تجاری و صنعتی، استفاده از ساختمانهای چند طبقه ضروری به نظر می رسد. در ضمن نوع کاربرد این ساختمانها در اغلب مناطق ایجاب می کند که فاصله ستونها بیش از مقدار متعارف باشد. در این موارد گزینه های گوناگونی برای طراحی سیستم باربر ساختمان وجود دارد. یکی از سیستم هایی که اخیراً مورد توجه قرار گرفته است، استفاده از قاب خمشی با تیرهای خرپایی است. در این سیستم از تیرهای خرپایی در علاوه بر حمل بارهای قائم به عنوان عضو خمشی جهت مقاومت در برابر نیروی های جانبی استفاده می شود. این قابها در مقایسه با قابهای ساخته شده با تیوروق اقتصادی تر، مشخصات ساده ای برای اتصال به ستون داشته و سبک تر هستند. همچنین جان باز این خرپاهای امکان استفاده بهتر از فضای تاسیسات را فراهم می سازد. به علت سختی و مقاومت بیشتر خرپاهای در مقایسه با ستونها در اغلب موارد محل تشکیل مفاصل پلاستیک در ستونها بوده و اینگونه سازه ها شکل پذیری کمتری دارند.

ضریب رفتار ساختمان ( $R$ ) که در محاسبه ضریب زلزله  $\frac{ABI}{R} = 5$  در آیین نامه زلزله ایران، استاندارد [۱] به کار می رود و مقدار آن در جدول شماره ۶ همین آیین نامه برای سیستم های مختلف ساختمانی داده شده است؛ در طرح محاسبه سازه های مختلف در مقابل زلزله از اهمیت ویژه ای برخوردار است. این ضریب منعکس کننده مقاومت، شکل پذیری، پایداری، نحوه شکست، قدرت جذب انرژی، مقاومت اضافی سیستم در تغییر شکل های زیاد، ضریب میرایی و رفتار کلی سازه ساختمان در مقابل زلزله است. در صورتی که این ضریب کوچک فرض شود، ضریب زلزله  $C$  بزرگ خواهد شد و لازم است نیروی برش پایه زیادی برای طرح سازه منظور شود که اگر نابجا باشد باعث اتلاف مصالح و هزینه اضافی خواهد شد. به عکس، در صورتی که این ضریب  $R$  بزرگ فرض شود ضریب زلزله کوچک شده و سازه ساختمان تحت اثر زلزله های خفیف و یا متوسط ممکن است به مرز جاری شدن و ترک خوردن برسد و در این زلزله ها خسارت ببیند. مضاف بر آن که چنانچه در زلزله های شدید تحت اثر

چرخه‌های پی‌درپی ارتعاش‌های شدید ناشی از زلزله در محدوده «خستگی‌های متناوب با تواتر کم» قرار گیرد، در صورت تردشکنی یا شکل‌پذیری غیرکافی اعضاء و اتصالات سازه ممکن است در آن‌ها گسترش‌های خطرناک پیدا شود و اینمی و پایداری سازه به خطر افتد.

سازه‌ها در هنگام وقوع زلزله‌های متوسط و بالا ممکن است وارد محدوده غیرخطی گردند و برای طراحی آن‌ها نیاز به یک تحلیل غیرخطی می‌باشد. ولی به دلیل پرهزینه بودن این روش و عدم گستردگی برنامه‌های تحلیل غیرخطی و سهولت روش خطی، روش‌های تحلیل و طراحی معمول براساس تحلیل خطی سازه و با نیروهای کوچک شده زلزله منظور می‌گردد. بدین منظور آئین‌نامه‌های طراحی لرزاک کنونی با فلسفه ذکر شده، نیروهای لرزاک طراحی خطی ساختمان را از یک طیف خطی که وابسته به پریود طبیعی ساختمان و شرایط خاک محل احداث ساختمان است، به دست می‌آورند و برای ملاحظه کردن اثر رفتار غیرخطی و اتلاف انرژی در اثر رفتار هیسترزیس، میرائی و اثر اضافه مقاومت سازه، این نیروی خطی را به وسیله ضربیه بنام اصلاح رفتار و یا «ضریب رفتار» به نیروی طراحی تبدیل می‌کنند.

تعیین مقدار بهینه  $R$  به نوع سیستم سازه، سطح تکنولوژی، روش‌های طرح و اجراء و نظارت ساختمان بستگی داشته که باید با دقت زیاد و اشراف کامل به شرایط مختلف حاکم بر طراحی و ساخت سازه تعیین شود. ضربیب  $R$  از یک طرف تأثیر قابل توجهی در طراحی بهینه و اقتصاد ساختمان داشته و از طرف دیگر نقش مهمی در قابلیت سرویس‌دهی ساختمان در زلزله‌های خفیف متوسط و اینمی و پایداری ساختمان بر اثر زلزله‌های شدید دارد و بنابراین، یکی از مهم‌ترین ضرائب تعیین بارگذاری بهینه زلزله در ساختمان‌ها است.

ضریب رفتاری که در دستورالعمل‌هایی مانند آئین‌نامه UBC استفاده می‌شود ضربیه ثابت، برای هر سیستم سازه‌ای است که بیان کننده اثر شکل‌پذیری و اضافه مقاومت سازه می‌باشد. مقدار این ضربیب از نتایج آزمایش‌های انجام شده تعیین شده است. در قسمت تفسیر آئین‌نامه، اعمال قضاوت مهندسی طراح را در استفاده از آن لازم می‌داند.

در این جا این سؤال مطرح می‌شود که اساس قضاوت مهندسی برچه پایه‌هایی استوار است و طراح با توجه به چه اصولی مقدار این ضریب را می‌بایست درنظر گیرد. در این مورد هیچ‌گونه مطلبی در آئین‌نامه‌ها ذکر نشده است و هیچ مبنای صحیحی ارائه نشده است و این خود بیان‌کننده پیچیدگی این ضریب و غیرقابل اعتماد بودن آن در آئین‌نامه‌های کنونی است.

## ۲-۱. هدف از این پژوهش

در این تحقیق، ضمن بررسی رفتار قابهای خمشی خرپایی ویژه (STMF) بهینه یابی پیکربندی آنها جهت بهبود رفتار لرزه‌ای سازه مورد بررسی قرار می‌گیرد. در این تحقیق همچنین ضریب رفتار قاب های (STMF) به ازای تغییر در طبقات و تعداد دهانه توسط تحلیل استاتیکی غیرخطی (Push over) تعیین شده است. تأثیر بسیاری از پارامترهای موثر بر روی ضریب رفتار از جمله انواع مختلف نسبت طول دهانه به ارتفاع و انواع قاب با تیر خرپایی ویژه (با قطریهای ضربدری و ویرندیل) مورد ارزیابی قرار گرفته است.

همچنین با توجه به مطالبی که از نظر گذشت ضریب رفتار در طراحی لرزه‌ای، نقش بسیار مهمی دارد و پایه و اساس فلسفه طراحی بر آن استوار است، ولی از دقت کافی برخوردار نمی‌باشد و آئین‌نامه‌ها در تعیین مقادیر آن دقت کافی نداشته‌اند که این در برخی از موارد باعث عدم اطمینان در طراحی لرزه‌ای می‌شود. به عبارت دیگر نمی‌توان اطمینان داشت که استفاده از این ضریب، طرح مناسبی را نتیجه می‌دهد. منظور از طرح مناسب، طرحی است که سازه در زلزله‌های شدید بتواند احتیاجات لرزه‌ای مانند شکل‌پذیری و مقاومت را به خوبی تأمین کند و در نهایت پایدار بماند و تلفات جانی کمینه داشته باشد. امروزه با مطالعه گسترده‌ای که در این مورد انجام گرفته است. مبانی اصلی رفتاری سازه و تعیین ضریب رفتار شناخته شده است. این روش‌ها در تعیین ضریب رفتار آئین‌نامه‌ها به دلیل این که نتایج متنوعی ارائه می‌دهند هنوز مورد استفاده قرار نگرفته‌اند.

### ۱-۳. ساختار پایان نامه

این پایان نامه در شش فصل تنظیم شده است . فصل اول مطالبی تحت عنوان مقدمه و اهداف پایان نامه اختصاص یافته است.

در فصل دوم ، ابتدا به معرفی قابهای خمی با تیرهای خرپایی ویژه پرداخته و سپس مبانی تعیین ضریب رفتار سازه با توجه به رفتار کلی سازه بیان می شود. پارامترهای تأثیرگذار بر این ضریب مورد بررسی قرار گرفته و نتایج تحقیقات انجام شده برای تعیین آنها بیان می شود.

در فصل سوم روش تحقیق و معرفی نمونه ها، اختصاص مفاصل پلاستیک و انجام تحلیل های غیرخطی استاتیکی و تعیین ضریب رفتار سازه به روش شکل پذیری یانگ اشاره شده است.

در فصل چهارم با ارائه نمونه های متعدد کلیات روش تحقیق و تعیین ضریب رفتار توضیح داده شده و سپس نتایج برای کلیه نمونه ها و الگوهای بارگذاری مختلف در جداول و اشکال متعدد آورده شده است.

در فصل پنجم با بررسی تاثیر نسبت های مختلف طول دهانه به ارتفاع، سعی در یافتن پیکربندی بهینه خواهیم نمود.

در فصل ششم، نتیجه گیری های بدست آمده از این مطالعه بطور خلاصه بیان شده و پیشنهاداتی برای انجام تحقیقات آینده ارائه شده است.

فصل دوم:  
 موضوعات و تئوریهای  
 مرتبط با موضوع تحقیق و  
 مروری بر کارهای انجام شده  
 قبلی

## ۱-۲ معرفی قابهای خمشی با تیرهای خرپایی

### ۱-۱-۲ مقدمه

امروزه به علت افزایش بی‌رویه جمعیت و محدودیت زمینهای شهری بخصوص در مناطق تجاری و صنعتی، استفاده از ساختمانهای چندطبقه ضروری به نظر می‌رسد. در ضمن نوع کاربرد این ساختمانها در اغلب مناطق ایجاب می‌کند که فاصله ستونها بیش از مقدار متعارف باشد. در این موارد گزینه‌های گوناگونی برای طراحی سیستم باربر ساختمان وجود دارد. یکی از موثرترین این گزینه‌ها استفاده از قاب خمشی با تیرهای خرپایی ویژه است. از تیرهای خرپایی در سازه‌های فولادی به منظور حمل بارهای قائم و به عنوان عضو افقی در سیستم‌های مقاوم در برابر نیروی جانبی استفاده می‌شود. این قابها در مقایسه با قابهای ساخته شده با تیوروق اقتصادی‌تر، مشخصات ساده‌ای برای اتصال به ستونها داشته و سبک‌تر هستند. همچنین جان باز این خرپاهای امکان استفاده بهتر از فضای تاسیسات را فراهم می‌سازد. در قابهای خمشی خرپایی معمولی به علت سختی و مقاومت بیشتر خرپاهای در مقایسه با ستونهای اغلب موارد مفاصل پلاستیک در ستونها تشکیل می‌شود. لذا اینگونه سازه‌ها شکل‌پذیری کمی دارند. مطالعه تجربی و تئوری گوئل و ایتانی [۱و ۲] نشان می‌دهد که قابهای با تیرهای خرپایی معمولی شکل‌پذیری اندکی به علت کمانش و شکست سریع اعضای جان خرپا تحت بارگذاری رفت و برگشتی دارند. بیش از ۷۰ درصد سختی و مقاومت اولیه در سیکلهای اولیه تغییر شکل به علت رفتار ترد سازه از بین می‌رود. این امر سبب می‌شود که در زلزله‌های شدید رفتار نامطلوبی در اینگونه سازه‌ها مشاهده شود. بررسی رفتار چرخه‌های هیسترزیس بار- جابجایی خرپاهای معمولی نشان دهنده افتکاهی ناگهانی شدید در بار و کاهش شدید مقاومت و سختی در اثر بارهای رفت و برگشتی می‌باشد. برش در خرپا، غالباً به وسیله اعضای جان خرپا تحمل می‌شود. به همین دلیل اعضای قطری تحت تاثیر نیروهای رفت و برگشتی دچار کمانش می‌شوند. کاهش مقاومت عضو قطری به مقاومت پس کمانشی، باعث افت

ناگهانی در مقاومت برشی خرپا و ظرفیت مقاومت جانبی می‌شود. پس از کمانش هر عضو قطری فشاری، عضو قطری کششی کناری آن باعث ایجاد یک نیروی نامتوازن در یال افقی خرپا می‌شود. در غیاب اعضای قائم خرپا، این امر باعث از بین رفتن عملکرد خرپایی و در نتیجه کاهش شدید مقاومت و سختی آن می‌گردد [۳]. در ضمن در طراحی قاب خمشی فولادی معمولی، غالباً از مقاطع فشرده استفاده نمی‌شود و امکان بروز کمانش موضعی و ترک در آنها بیشتر است.

اخیراً نوع جدیدی از خرپا پیشنهاد شده که محل تشکیل مفصل پلاستیک در آن در ناحیه میانی خرپا می‌باشد. قابهای با تیرهای خرپایی با ناحیه شکل‌پذیر در قسمت میانی تیر، قابهای ممان گیر خرپایی ویژه نامیده می‌شوند. اساس مطالعات انجام شده توسط پژوهشگران در سالهای اخیر انواع قابهای با تیرهای خرپایی ویژه، [۱-۳] و در آیینه‌های طراحی نیز پذیرفته شده‌اند [۴ و ۵].

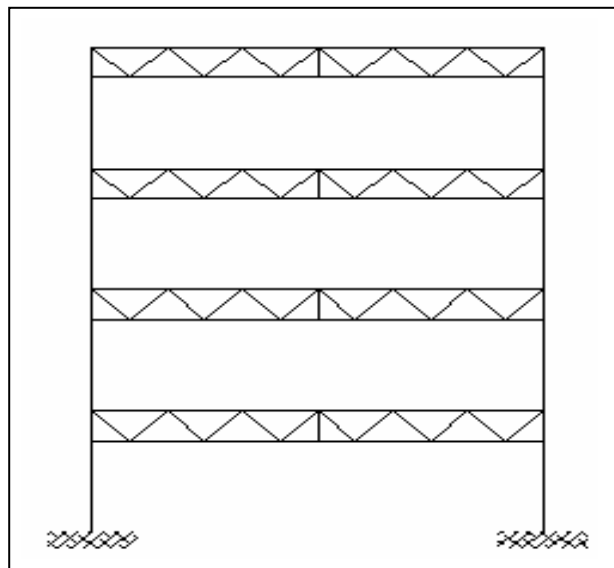
## ۲-۱-۲. قابهای خمشی با تیرهای خرپایی معمولی

این نوع قاب خمشی معمولاً در سازه‌های فولادی استفاده می‌شود. طراحی این نوع قاب با دو هدف انجام می‌شود:

۱- حمل بارهای مرده

۲- عملکرد عضوی افقی در سیستمهای مقاوم در برابر نیروهای افقی (به ویژه زلزله)

این قابها با توجه به شیوه ساخت خرپا نسبت به تیر ورقها (تیر با جان توپر) اقتصادی‌تر هستند. ضمناً بسیار سبک‌تر هستند که این امر سبب کاهش بار زلزله سیستم نیز می‌شود. در دهانه‌های طولانی یکی از متداول‌ترین راهها، استفاده از این نوع سیستم باربر است. نمونه‌ای از این نوع خرپا در شکل ۱-۲ نشان داده شده است. خرپای نشان داده شده، یک نوع متعارف از خرپاهای معمولی به نام وارن است.



شکل ۱-۲ : نمونه‌ای از قاب با تیر خرپایی معمولی (وارن)

آئین نامه UBC برای این نوع از قاب‌ها، ضریب رفتار  $R=6$  را در نظر می‌گیرد. به تجربه مشاهده شده است که استفاده از قاب خمشی با تیر خرپایی معمولی، عموماً سبب ایجاد ترکیب تیر قوی - ستون ضعیف می‌شود که چندان مناسب به نظر نمی‌رسد. فقط در شرایطی خاصی، آئین نامه UBC اجازه می‌دهد تا این سیستم با عنوان قاب خمشی با  $R=12$  طرح شود. این در شرایطی است که، به نحوی در محدوده الاستیک ماندن اعضای خرپا تضمین شود.

### ۱-۳-۲. قابهای خمشی با تیرهای خرپایی ویژه

قاب خمشی خرپایی ویژه (STMF) یک نمونه نسبتاً جدید از سیستم قاب فولادی است که برای استفاده در مناطقی که بسیار زلزله‌خیز هستند توسعه یافته است. قابها انرژی زمین‌لرزه را از طریق بخش‌های ویژه شکل‌پذیر واقع شده در نزدیکی وسط دهانه شاه تیر خرپایی مستهلك می‌کند (شکل ۲-۲).



شکل ۲-۲: قاب خمشی خربایی ویژه با دو پانل ویرندیل در نواحی ویژه

STMF ها به طور کلی دارای نامعینی سازه‌ای خوبی هستند زیرا چهار مفصل پلاستیکی را می‌توان داخل یالهای یک شاه‌تیر خربای تشکیل داد. اگر اعضاء قطری جان تیر در قسمتهای ویژه استفاده شوند درجه نامعینی را می‌توان بیشتر افزایش داد. جزئیات اتصال ساده برای اتصالات تیر به ستون نیاز است. از دیگر مزایای سیستم STMF آن است که به طور اقتصادی می‌توان شاه‌تیرهای خربای را برای دهانه‌های بلندتر استفاده کرد و با استفاده از خرباهای با ارتفاع بیشتر به سختی سازه‌ای بیشتری دست یافت.

علاوه بر این همانطور که در شکل ۳-۲ نشان داده شده است شبکه‌ها با کانال‌های الکتریکی و مکانیکی تطابق مناسبی دارند. این سیستم در آمریکا به ویژه برای بیمارستان و ساختمانهای تجاری از محبوبیت ویژه‌ای برخوردار می‌شود. کارهای تحقیقاتی که در طی دهه نود صورت پذیرفت باعث شد تا آیین‌نامه‌های طراحی در این زمینه توسعه یابند [۶۴].

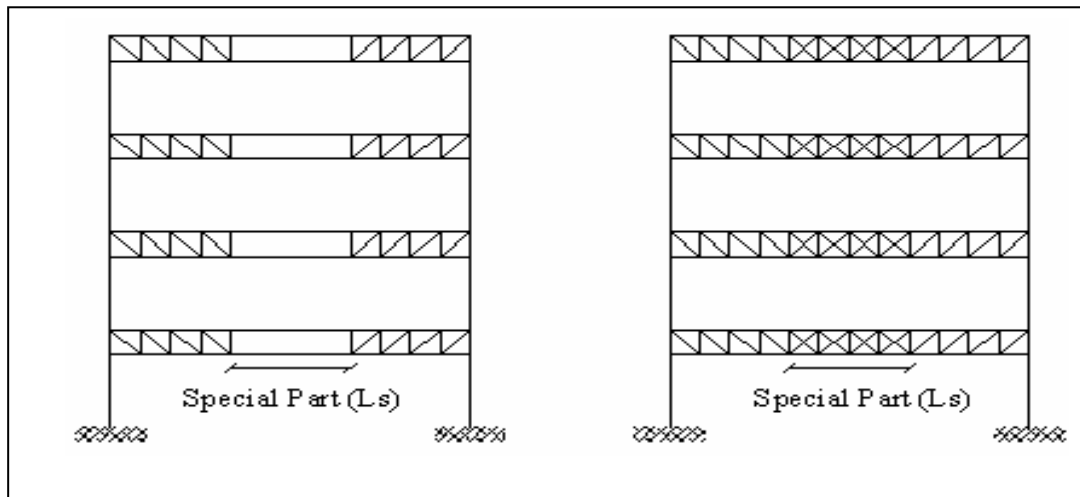


شکل ۲-۳: داکت عبوری از پانل ویرندیل

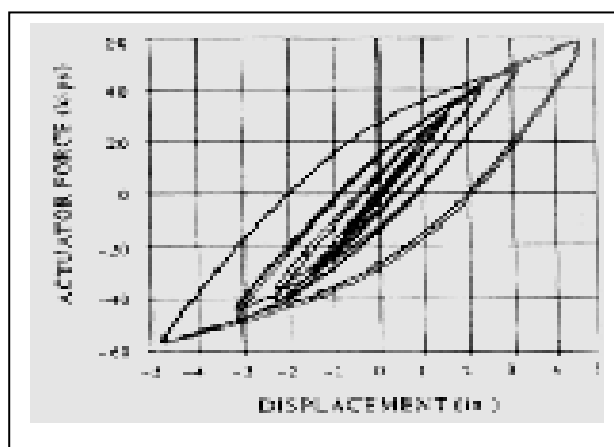
در قابهای خمی با تیرهای خرپایی ویژه، منطقه ایجاد تغییر شکل پلاستیک و جذب انرژی در ناحیه میانی خرپا می‌باشد. در این ناحیه، برش حاصل از بار قائم اندک بوده و با قرار دادن اعضای مورب ضعیفتر و یا حذف این اعضاء می‌توان آن منطقه را مستعد تغییر شکلهای غیر الاستیک و جذب انرژی زلزله ساخت. برخی بررسی‌ها نشان می‌دهند که خرپاهای ویژه، علاوه بر دارا بودن مکانیزم مناسب خرابی برای مناطق لرزه خیز، مقداری صرفه جویی در فولاد مصرفی را هم به دنبال دارند. خرپاهای ویژه را می‌توان به فرم قطری‌های ضربدری یا بصورت بازشو به شکل مستطیل (ویرندیل) در ناحیه میانی طرح کرد [۱ تا ۳]. نمونه‌ای از این نوع خرپاهای ویژه در شکل‌های ۴-۲ و ۵-۲ نشان داده شده‌اند.

شکل ۲-۶ چرخه هیسترزیس مورد انتظار خرپاهای ویژه را نشان می‌دهد. این چرخه‌ها به دلیل تشکیل اعضای پلاستیک میانی، رفتار بسیار نرمی را نشان می‌دهند. در صورتی که استفاده از خرپای ویژه مانع از کمانش اعضای قطری شود، کاهش ناگهانی و شدید سختی جانبی رخ نمی‌دهد و منحنی هیسترزیس شکل پایداری به خود خواهد گرفت. گوئل و ایتانی، پیشنهاد کردند که اعضای قطری خرپای وارن با قطریهای ضربدری جایگزین گردد. به این ترتیب بار جانبی عمدتاً به وسیله این اعضاء تحمل می‌شود.

این همان اتفاقی است که در قابهای با بادبندی بدون برون محوری رخ می‌دهد. به این ترتیب مشکل نیروی نامتوازن یال افقی و کاهش سختی ناشی از کمانش اعضای قطری حل می‌شود.



شکل ۴-۲: قاب با تیر خرپایی ویژه (با قطریهای ضربدری) شکل ۵-۲: قاب با تیر خرپایی ویژه (ویرندیل)

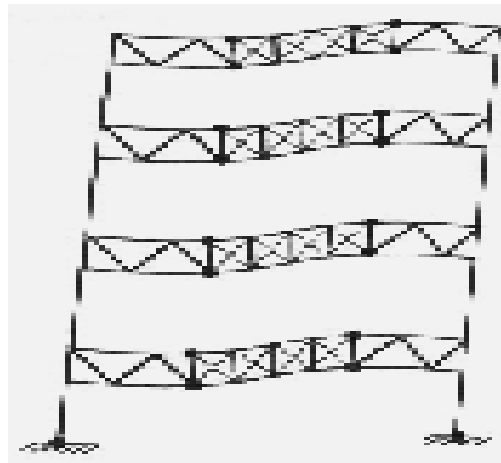


شکل ۶-۲: چرخه‌های هیسترزیس قابهای خمشی با تیرهای خرپایی ویژه

#### ۴-۱-۲. مکانیزم تسلیم

در قابهای خرپایی مقاوم در برابر زلزله، می‌توان تعدادی از دهانه‌های ویژه (قطریهای ضربدری با اعضای ظریفتر) در طول دهانه خرپا قرار داد. با توجه به اینکه قرار است این اعضاء تحت برش ناشی از نیروهای جانبی قرار گیرند و پلاستیک شوند، نه تحت تاثیر برش ناشی از بارهای ثقلی، لذا بهترین

مکان برای این دهانه‌ها در قسمت میانی دهانه خرپا قرار دارد بنحوی که برش حاصل از بارهای ثقلی معمولاً کوچک است. با افزایش بارهای جانبی، پس از کمانش قطریهای ضربدری، مفصلهای پلاستیک در یالهای افقی خرپا در انتهای قسمت میانی خرپا تشکیل می‌شود. شکل ۸-۲ این مسئله را به خوبی نشان می‌دهد.



شکل ۷-۲ : مکانیزم تسلیم قاب خمشی با تیرهای خرپایی ویژه به فرم ناحیه وسط ضربدری

#### ۱-۵. روش طراحی قاب خمشی با تیرهای خرپایی ویژه

گوئل و ایتانی روش حدی را برای طراحی این نوع از قابها پیشنهاد می‌کنند. به این ترتیب که ابتدا بار جانبی محاسبه می‌شود و سپس برای طراحی از ضرایب بار مناسب UBC و یکی از آئین نامه‌های متناظر استفاده می‌شود.

گوئل و ایتانی روند ساده شده و گام به گام زیر را برای طراحی این نوع از قابهای خمشی پیشنهاد می‌کنند:

- محاسبه بار زلزله وارد بر هر طبقه با استفاده از یک آئین نامه معتبر
- محاسبه ظرفیت برشی موردنیاز ناحیه ویژه  $V_{u}$  از استاتیک مساله
- طراحی اعضای افقی خرپا براساس مقاومت محوری آنها در انتهای

- طراحی قطریهای ضربدری با توجه به ظرفیت برشی مورد نیاز (به صورت سعی و خطأ)
- طراحی اعضای قائم قسمت ویژه (داخلی) و قسمت بیرونی با توجه به مقاومت کششی مورد نیاز قطریهای ضربدری
- طراحی اعضای قطری خارجی با استفاده از تعادل اعضای کناری
- طراحی ستونها برای بار محوری و ممان موجود

در اینجا طراحی گام به گام یک قاب خمثی ویژه با قطریهای ضربدری به پایان رسیده است. ولی بررسی‌های بیشتر به ویژه بررسی رفتار اعضای غیرخطی در ناحیه ویژه، ضروری به نظر می‌رسد.

## ۲-۲. تعیین ضریب رفتار و مطالعه پارامترهای مؤثر بر روی آن

### ۲-۲-۱. مقدمه

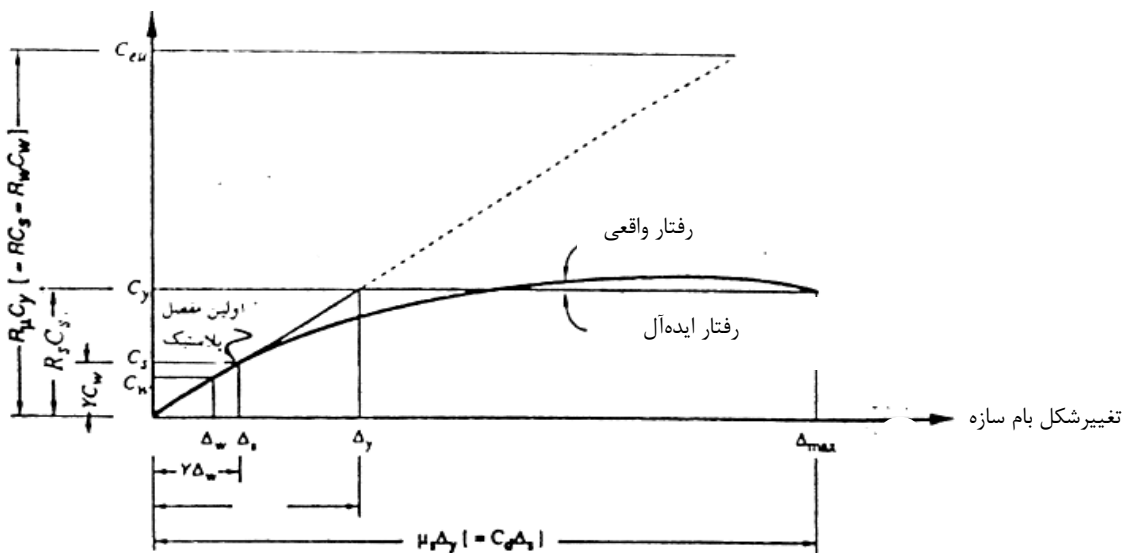
برای ارائه فرمول جهت محاسبه ضریب رفتار در بیشتر روش‌ها چند عبارت بصورت کلی تعریف شده و تأثیر پارامترهای مختلف بر این عبارت‌ها بررسی می‌شود. به طور کلی اساس تمامی روش‌های محاسبه ضریب رفتار یکسان و آن عبارت است از محاسبه میزان نیرو یا انرژی که یک سازه از زمانی که اولین مفصل پلاستیک در آن تشکیل می‌شود تا زمانی که به مکانیزم خرابی کامل می‌رسد، جذب و یا تحمل می‌نماید. با توجه به یکسان بودن اساس تمامی روش‌ها، در این پژوهش از روش شکل‌پذیری یانگ [۸] در تعیین ضریب رفتار و پارامترهای مؤثر بر روی آن استفاده شده است.

### ۲-۲-۲. تعریف اصطلاحات مورد استفاده

شکل کلی رفتار سازه و شکل ایده‌آل آن بصورت شکل (۸-۲) است.

$$C = \frac{\text{وزن موثر}/\text{برش پایه}}{\text{Re active } W_t}$$

$$C = \frac{\text{Base Shear}}{\text{Re active } W_t}$$



شکل (۸-۲): شکل کلی رفتار سازه

بر این اساس مقاومت الاستیک لازم با ضریب برش پایه  $C_{eu}$  به صورت زیر بیان می‌گردد.

$$C_{eu} = \frac{V_{eu}}{W} \quad (1-2)$$

که  $W$  وزن جرم‌های غیرمتحرک سازه و  $V_{eu}$  حداکثر برش پایه بوجود آمده در سازه در حد الاستیک می‌باشد. بدلیل وجود شکل‌پذیری درسازه‌های واقعی یک سازه اقتصادی می‌تواند بصورتی طراحی گردد که مقدار حداکثر مقاومت واقعی  $C_y w$  (برش پایه حد تسلیم سازه) را داشته باشد و در این حالت تغییرمکان حداکثر قاب با  $\Delta_{max}$  بیان می‌گردد. آئین‌نامه‌ها براساس فلسفه طراحی ذکر شده به طراح اجزه می‌دهند که برای مقاصد طراحی نیروی حد  $C_s$  را به مقدار  $C_s$  که بیان‌کننده مقاومت سازه در موقع تشکیل اولین مفصل پلاستیک در سازه است کاهش دهند. این حد شامل نیرویی می‌شود که در آئین‌نامه‌های طراحی نهایی مانند ACI استفاده می‌شود. در آئین‌نامه‌هایی که روش طراحی براساس تنש مجاز است مثل AISC-ASD و آئین‌نامه UBC مقدار  $C_s$  مجدد کاهش داده می‌شود تا به حد بارهای سرویس  $C_w$  برسد. مزیت استفاده از مقادیر حدی  $C_s$  و  $C_w$  در این است که طراح فقط احتیاج به یک تحلیل خطی دارد. ضریب شکل‌پذیری در سازه به صورت زیر تعریف می‌گردد.

$$\mu = \frac{\Delta_{\max}}{\Delta_y} \quad (2-2)$$

بدلیل وجود شکل‌پذیری، سازه قابلیت اتلاف انرژی هیسترزیس را دارا می‌باشد. بنابراین نیروی

الاستیک سازه می‌تواند بوسیله ضریب بنام ضریب کاهش نیرو در اثر شکل‌پذیری<sup>۱</sup> و یا ضریب

شکل‌پذیری  $R_\mu$  تا حد مقاومت جاری شدن  $C_y$  کاهش داده شود.

$$R_\mu = \frac{c_{eu}}{c_y} \quad (3-2)$$

مقاومت ذخیره شده در سازه بین محدوده حد جاری شدن واقعی سازه  $C_y$  و حد اولین جاری شدن

محسوس تعریف شده در قبل  $C_s$  ضریب اضافه مقاومت سازه<sup>۲</sup> نامیده می‌شود.

$$R_s = \frac{v_y}{v_s} \quad (4-2)$$

بین نیروی آئین‌نامه‌ای طراحی برای حالت تنفس مجاز و طراحی در حد نهایی اختلاف وجود دارد، که

با ضریب تنفس مجاز γ بیان می‌شود. در واقع با اعمال این ضریب، نیروی طراحی مجاز از نیروی حد

اولین جاری شدن بدست می‌آید.

$$c_w = \frac{c_s}{\gamma} \quad (5-2)$$

که مقدار γ تقریباً بین ۱/۴ تا ۱/۵ می‌باشد.

### ۳-۲-۲. تعیین ضریب رفتار و ضریب افزایش تغییر مکان $C_d$ , $R_w$ و $R$

با توجه به شکل (۸-۲) مقدار کلی ضریب رفتار مربوط به طراحی حالت حدی به صورت زیر بدست

می‌آید [۸].

$$R = \frac{c_{eu}}{c_s} = \frac{c_{eu}}{c_y} \cdot \frac{c_y}{c_s} = R_\mu \cdot R_s \quad (6-2)$$

مقدار ضریب رفتار مربوط به طراحی تنفس مجاز عبارتست از:

$$R_w = \frac{c_{eu}}{c_y} \cdot \frac{c_y}{c_s} \cdot \frac{c_s}{c_w} = R_\mu \cdot R_s \cdot \gamma \quad (7-2)$$

<sup>1</sup>- Ductility Reduction Factor

<sup>2</sup> - Overstrength Factor

مقدار ضریب افزایش تغییرمکان  $C_d$  به نسبت  $\Delta_s$  به صورت زیر بدست می‌آید.

$$c_d = \frac{\Delta_{\max}}{\Delta_s} = \frac{\Delta_{\max}}{\Delta_y} \cdot \frac{\Delta_y}{\Delta_s} \quad (8-2)$$

از شکل (8-2) داریم:

$$R_s = \frac{c_y}{c_s} = \frac{\Delta_y}{\Delta_s} \quad (9-2)$$

با توجه به رابطه (2-2) و (9-2) داریم:

$$c_d = R_s \cdot \mu \quad (10-2)$$

### ۳-۲. پارامترهای موثر بر ضریب رفتار

همانطوری که بیان شد پارامترهای اصلی تأثیرگذار بر ضریب رفتار، ضریب کاهش نیرو در اثر شکلپذیری  $R_s$  و ضریب اضافه مقاومت می‌باشد. در این بخش در مورد این دو ضریب بحث خواهد شد و نتایج مطالعات انجام شده برای تعیین آنها آورده خواهد شد.

#### ۳-۲-۱. ضریب کاهش نیرو $R$ و مرواری بر تحقیقات انجام شده

سازه‌ها در اثر وجود شکلپذیری مقدار قابل توجهی از انرژی زلزله را به صورت هیسترزیس تلف می‌کنند و مقدار این اتلاف انرژی بستگی به مقدار شکلپذیری کلی سازه دارد. این شکلپذیری کلی باید به‌گونه‌ای باشد که شکلپذیری محلی اعضاء از مقدار مجاز خود بیشتر نشود. بدین منظور در موقع طراحی لازم است که حداقل مقاومت لازم سازه که شکلپذیری کلی آن را به حد شکلپذیری مشخص شده از قبل محدود می‌کند، مشخص شود. همانطور که قبلاً بیان شد ضریب کاهش مقاومت سیستم  $R$ ، (یعنی کاهش در نیرو اعمالی در اثر رفتار هیسترزیس) به نسبت حداکثر مقاومت خطی مورد لزوم به حداکثر مقاومت غیرخطی مورد لزوم تعریف می‌شود.

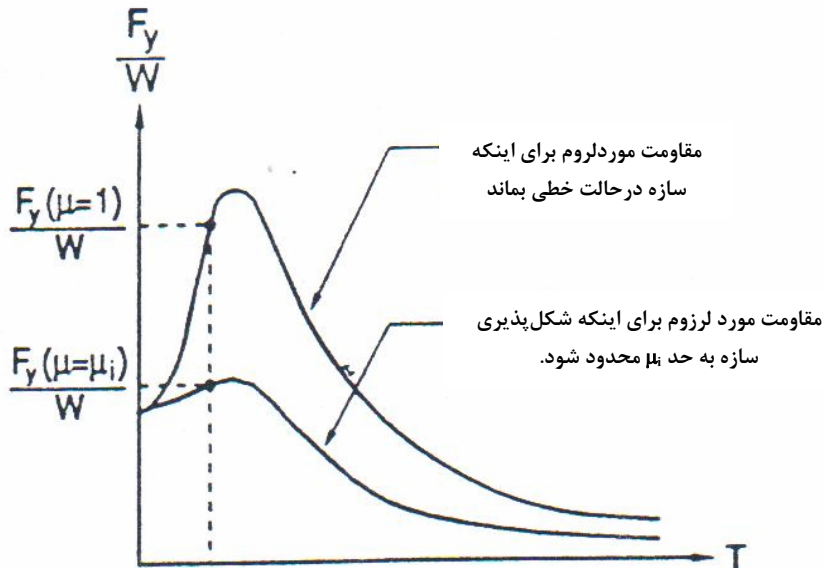
$$R_{ui} = \frac{f_y(\mu=1)}{f_y(\mu=\mu_i)} \quad (11-2)$$

که ( $\mu = f_y$ ) حداکثر مقاومت جانبی مورد لزوم سیستم در حالت خطی و ( $\mu_i = f_y$ ) حداکثر مقدار مقاومت جانبی سیستم غیرخطی است که شکل‌پذیری آن را به حد شکل‌پذیری تعیین شده  $\mu_i$  محدود می‌کند.

تعیین مقاومت غیرخطی مورد لزوم یک سیستم، با شکل‌پذیری مشخص کار بسیار مشکلی است چرا که شکل‌پذیری یک سیستم یک درجه آزادی، با داشتن مقاومت جاری شدن آن و در یک زلزله مشخص بدست می‌آید.

برای دستیابی به شکل‌پذیری مورد نظر در یک سیستم یک درجه آزادی و با یک رکورد زلزله مشخص باید روندی تکراری که در آن با تغییر  $f_y$ ، شکل‌پذیری سیستم تعیین شود، انجام پذیرد و با تغییر مقدار  $f_y$  سیستم، به شکل‌پذیری مورد نظر سیستم در یک رکورد مشخص رسید [۹]. برای تعیین ضریب کاهش نیرو روش کار بدین صورت است که نیروی الاستیک و نیروی غیرالاستیک با شکل‌پذیری  $\mu_i$ ، برای یک سیستم با پریود مشخص بدست می‌آید. سپس این نیروها به وزن سیستم مقیاس می‌شود. این نیروها برای پریودهای مختلف سازه بدست می‌آید و طیف خطی و غیرخطی با شکل‌پذیری مشخص را برای زلزله مورد نظر بوجود می‌آورد. نمونه‌ای از این طیفها در شکل (۹-۲) به نمایش درآمده است. از تقسیم طیف الاستیک به طیف غیرالاستیک مقدار ضریب کاهش مقاومت  $R_\mu$  برای آن زلزله خاص بدست می‌آید. مقدار ضریب کاهش نیروی بدست آمده از روش فوق برای رکوردهای مختلف، که با شرایط مختلفی بدست آمده‌اند متغیر است. (یعنی اینکه با تغییر محتوی فرکانسی رکورد و شرایط خاک محل ثبت رکورد و مشخصات سیستم یک درجه آزادی مانند میرایی، درصد سخت‌شوندگی و مدل مورد بررسی، مقدار ضریب کاهش نیرو تغییر می‌کند).

برای مشخص شدن اثرات هر کدام از عوامل فوق بر این ضریب، محققین مختلف، تحقیقاتی را انجام داده اند که در ذیل به آنها اشاره می‌شود [۹].

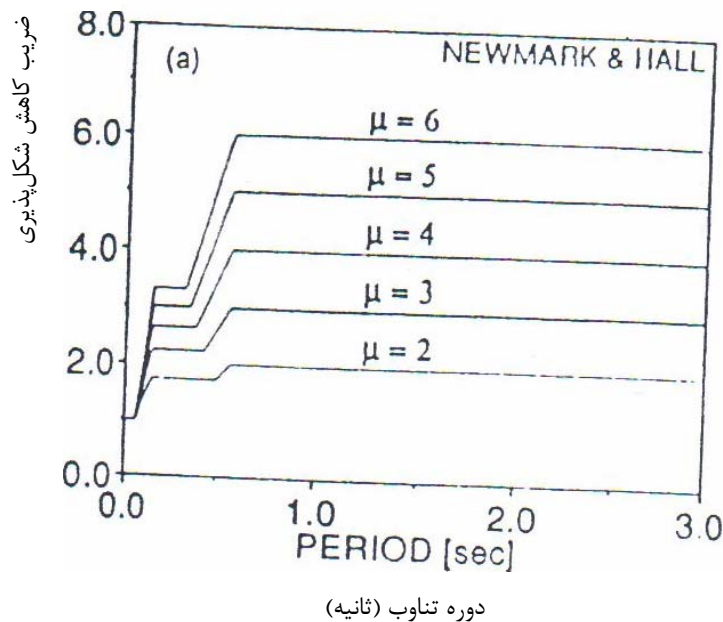


شکل (۹-۲): طیف خطی و غیرخطی با شکل پذیری ثابت

### ۱-۳-۲. نیومارک و هال<sup>۳</sup>

در این مطالعه براساس طیف‌های خطی حاصل از مولفه شمالی-جنوبی زلزله الستترو و رکوردهای دیگر، روش تخمین طیف غیرخطی از طیف خطی زلزله ارائه شده است و همچنین ضریب کاهش نیرو ارائه شده است. این ضریب به صورت یکتابع وابسته به متغیرهای مستقل شکل پذیری و پریود سازه ارائه شده است [۱۰]. نمودار این ضریب کاهش نیرو در شکل (۱۰-۲) به نمایش گذاشده شده است.

<sup>3</sup>- Nwemark and Hall



شکل (۱۰-۲): ضریب کاهش مقاومت بدست آمده در تحقیق نیومارک و هال [۱۰]

#### ۴-۲-۱-۳-۲. لایی و بیگس<sup>۴</sup>

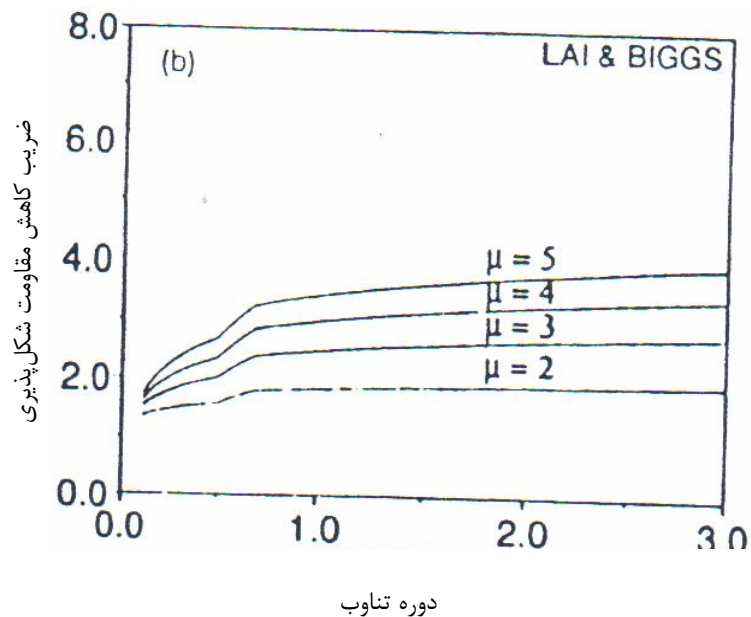
براساس متوسط طیف غیرخطی که برای ۲۰ زلزله مصنوعی و ساخته شده که طیف خطی آنها با طیف خطی طراحی نیومارک و هال مطابقت دارد، طیف غیرخطی طراحی پیشنهادی ارائه شده است. تحلیل برای ۵۰ پریود طبیعی سیستم که فاصله مساوی بین ۱/۰ ثانیه تا ۱۰ ثانیه در مقیاس لگاریتمی داشته‌اند و برای درصد میرایی مختلف و ۴ نسبت شکل‌پذیری مختلف انجام شده است. مدل تحلیل الاستوپلاستیک بوده است

ضریب کاهش مقاومت بدست آمده بصورت فرمول ذیل خلاصه می‌شود [۱۱].

$$R_\mu = \alpha + \beta(\log T) \quad (12-2)$$

مقادیر  $\alpha$  و  $\beta$  به شکل‌پذیری و محدوده پریودی مختلف بستگی دارد و مقادیر آن در جدول ارائه شده در مرجع [۱۱] قابل مشاهده است. در شکل (۱۱-۲) نمودار این ضریب قابل مشاهده است.

<sup>4</sup>- Lai and Biggs

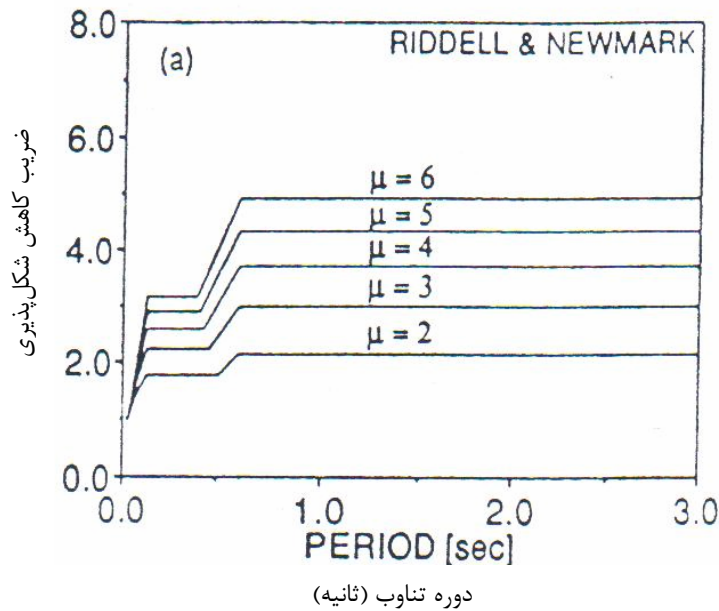


شکل (۲-۱۱): ضریب کاهش مقاومت بدست آمده در تحقیق لای و بیگس [۱۱]

### ۳-۱-۳-۲. ریدل و نیومارک<sup>۵</sup>

براساس تحلیل آماری طیفهای غیرخطی که برای سیستم الاستوپلاستیک با مقدار میرایی ۵٪، ۲٪، ۰٪، و برای سیستم دوخطی با سختی کاهش یافته و با میرایی ۵٪ و شکل پذیری هایی بین ۱ تا ۱۰٪، یک دسته ضرایب کاهش نیروی گسترش یافته (نسبت به مطالعه قبل این محقق) بدست آمده است[۱۲]. این مطالعه اولین مطالعه‌ای است که مربوط به ۱۰ نگاشت مختلف در سنگ و آبرفت و تابعی از متغیرهای مستقل میرایی، شکل پذیری و پریود می باشد. در شکل (۲-۲) نمودارهای بدست آمده برای میرایی ۵٪ و برای شکل پذیری های مختلف نشان داده شده است.

<sup>۵</sup>- Riddell and Newmark

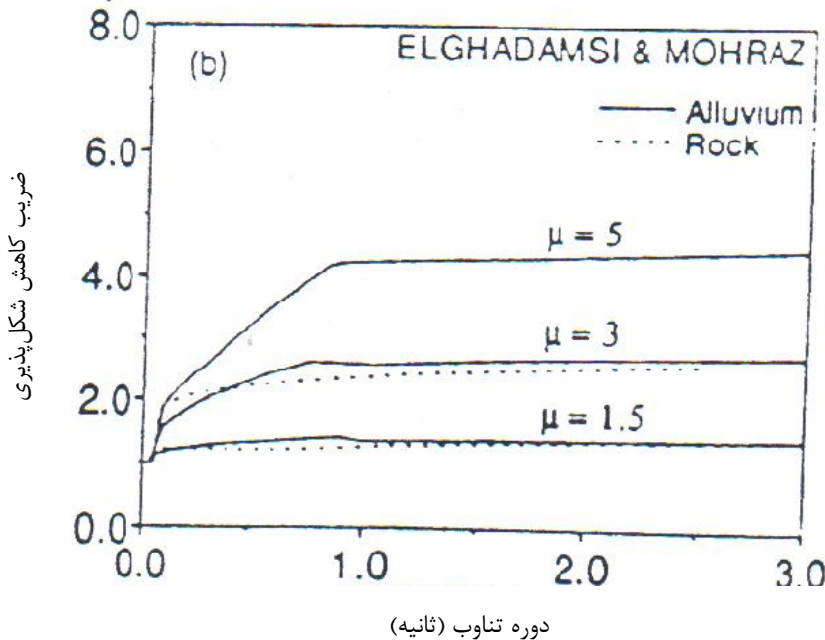


شکل (۱۲-۲): ضریب کاهش مقاومت بدست آمده در تحقیق ریدل و نیومارک برای میرایی ۰.۵٪ [۱۲]

#### ۱۳-۲-۴. القا دامسی و محرز<sup>۶</sup>

اولین مطالعه‌ای که اثر خاک را روی ضریب کاهش نیرو در نظر گرفته است توسط القا دامسی و محرز انجام شده است. در این مطالعه طیف غیرخطی، برای سیستم‌های یک درجه آزاد با رفتار الاستوپلاستیک و تحت اثر ۵۰ مولفه افقی شتاب نگاشت ثبت شده در آبرفت و ۲۶ مولفه افقی زلزله ثبت شده در سنگ محاسبه شده است [۱۲]. نتیجه این تحقیق نشان داده است که ضریب کاهش نیرو به شرایط خاک محل بستگی چندانی ندارد. نمودار ضریب کاهش نیروی بدست آمده در این تحقیق در شکل (۱۳-۲) قابل مشاهده است.

<sup>6</sup>- Elghadamsi and Mohraz



شکل (۱۳-۲): ضریب کاهش مقاومت بدست آمده در تحقیق القا دامسی و محرز [۱۲]

#### ۷-۲-۳-۱-۵. ریدل، هیدالگو و کروز<sup>۷</sup>

طیف غیرخطی در این مطالعه، از نگاشت ۴ گروه زلزله و برای یک سیستم یک درجه آزاد با رفتار الاستوپلاستیک هیسترزیس و ۵ درصد میرایی بدست آمده است. یک رابطه ساده برای ضریب کاهش نیرو، براساس متوسط ضرائب کاهش مقاومت، بدست آمده است. ضریب کاهش بدست آمده یک تقریب از ضریب کاهش متوسط است. چرا که این ضریب، نسبت طیف متوسط خطی به طیف متوسط غیرخطی می‌باشد و نه متوسط نسبت‌های طیف خطی به غیرخطی.

بر این اساس رابطه‌ای دوخطی برای ضریب کاهش نیرو به صورت زیر ارائه شده است.[۸]

$$R_\mu = 1 + \left( \frac{R^* - 1}{T^*} \right) T \quad 0 \leq T \leq T^* \quad (13-2\text{-الف}) \quad \text{برای } R^* \geq T$$

$$R_\mu = R^* \quad T^* \geq T \quad (13-2\text{-ب}) \quad \text{برای } R^* < T$$

<sup>7</sup>- Riddell, Hidalgo and Cruz

در این رابطه مقدار  $T^\circ$  بسته به شکل‌پذیری، که مقداری بین ۲ تا ۱۰ دارد، بین ۰/۱ تا ۰/۴ می‌باشد.

مقدار  $R^\circ$  برای شکل‌پذیری بین ۲ تا ۵ مساوی ضریب شکل‌پذیری است و برای شکل‌پذیری بین ۵ تا

۱۰ قدری کمتر از آن می‌باشد. مقادیر دقیق آنها در جدول (۱-۲) قابل مشاهده است. شکل ضریب

کاهش نیرو که توسط این محققین ارائه شده است در شکل (۲-۱۴) ارائه شده است.

جدول (۱-۲): مقادیر  $R^*$  و  $T^*$  برای شکل‌پذیری‌های مختلف

پارامتر	$\mu=2$	$\mu=3$	$\mu=4$	$\mu=5$	$\mu=6$	$\mu=7$	$\mu=8$
$R^*$	2.0	3.0	4.0	5.0	5.6	6.2	6.8
$T^*$	0.1	0.3	0.3	0.4	0.4	0.4	0.4

## ۲-۳-۱-۶. آرایز و هیدالگو<sup>۸</sup>

در این تحقیق براساس ضریب کاهش نیروی متوسط تقریبی بدست آمده توسط ریدل، هیدالگو و

کروز، یک رابطه برای محاسبه ضریب کاهش نیرو ارائه شده است که در محدوده پریودی مورد نظر

قابل استفاده است. این رابطه پیشنهادی بصورت زیر است [۱۳].

$$R_\mu = 1 + \frac{T}{kT_0 + \frac{T}{\mu - 1}} \quad (14-2)$$

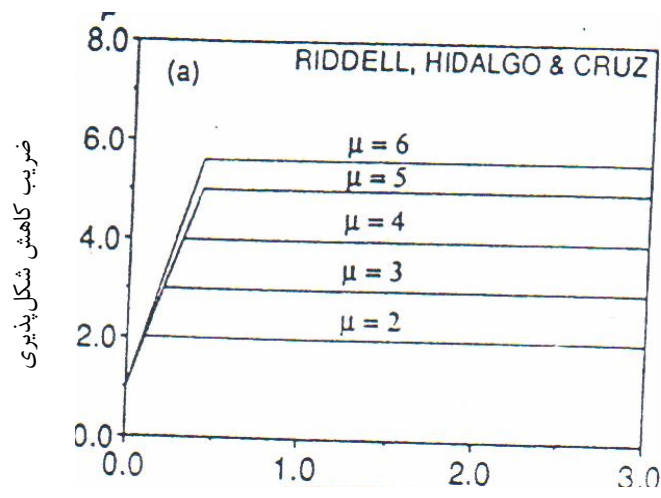
ضریب  $KT_0$  برای گروه‌های مختلف رکورد ارائه شده است. برای پیش‌نویس آئین‌نامه شیلی از مقدار

ضریب  $K = 1$  استفاده شده است.

ضریب کاهش نیرویی که از فرمول فوق بدست می‌آید با مقدار  $T_0 = 0.2\text{ sec}$  در شکل (۲-۱۵) رسم

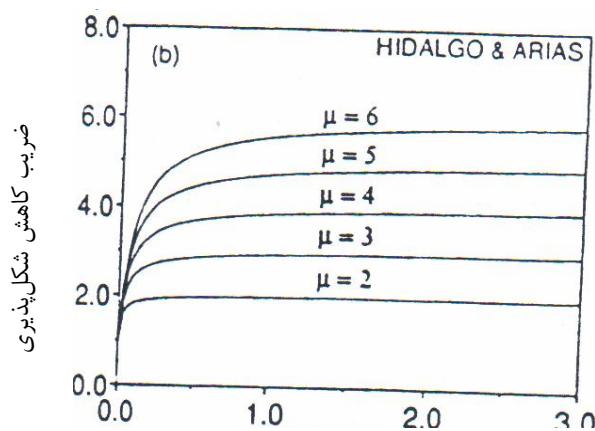
شده است.

<sup>8</sup>- Arais and Hidalgo



دوره تناوب (ثانیه)

شکل (۲-۱۴): ضریب کاهش مقاومت بدست آمده در تحقیق ریدل و هیدالگو و کروز



دوره تناوب (ثانیه)

شکل (۲-۱۵): ضریب کاهش مقاومت بدست آمده در تحقیق آرایزو هیدالگو برای  $T_c = 0.7 \text{ sec}$

### ۷-۳-۲. ناسار و کراوینکلر<sup>۹</sup>

این مطالعه براساس رفتار سیستم یک درجه آزادی تحت اثر ۱۵ نگاشت ثبت شده در سنگ و آبرفت غرب آمریکا می‌باشد. اثر شرایط خاک محل به صورت مشخصی در ضریب کاهش نیرو درنظر گرفته شده است. در این مطالعه تأثیر عوامل مختلف، بر متوسط ضریب کاهش نیرو بررسی شده است. تأثیر

<sup>9</sup>- Nassar and Krawinkler

عواملی مانند فاصله کانونی زلزله و پارامترهای سیستم مثل پریود سازه، حد جاری شدن، نسبت سخت‌شوندگی و نوع رفتار غیرخطی مصالح در این ضریب بررسی شده است. مطالعه نشان داده است که تأثیر عامل فاصله کانونی و زوال سختی<sup>۱۰</sup> در ضریب کاهش نیرو بسیار ناچیز است.

براساس ضریب کاهش نیروی متوسط، رابطه زیر برای تخمین ضریب کاهش نیرو بدست آمده

است.[۱۴]

$$R_\mu = (c(\mu - 1) + 1)^{\frac{1}{c}} \quad (15-2)$$

$$c(T, \alpha) = \frac{T^a}{1 - T^a} + \frac{b}{T} \quad (16-2)$$

که در آن سختی سیستم بعد از جاری شدن و بصورت درصدی از سختی اولیه سیستم است و پارامتر  $a$  و  $b$  بر حسب  $\alpha$  در جدول (۲-۲) ارائه شده است.

جدول (۲-۲): مقادیر  $a$  و  $b$  براساس سخت‌شوندگی کرنشی ( $\alpha$ )

$\alpha$	$a$	$B$
0.00	1.00	0.42
0.02	1.00	0.37
0.10	0.80	0.29

ضریب کاهش نیروی بدست آمده از فرمول فوق در شکل (۱۶-۲) ترسیم شده است.

### ۱-۳-۲-۸. ویدک، فجفر و فیشینگر<sup>۱۱</sup>

براساس ضریب کاهش مقاومت متوسط بدست آمده برای ۲۰ نگاشت در غرب آمریکا و زلزله ۱۹۷۹

مونته نگرو یوگسلاوی، یک رابطه ساده برای تقریب ضریب کاهش نیرو، بدست آمده است.

در این مطالعه سیستم یک درجه آزاد، با رفتار هیسترزیس دوخطی و زوال در سختی (مدل Q) با

میرایی ویسکوز متناسب با جرم و سختی اولیه سیستم، درنظر گرفته شده است [۱۵].

<sup>10</sup>- Stiffness degradation

<sup>11</sup>- Vidic, Fajfar and Fishinger

ضریب کاهش نیرو بصورت یک رابطه ساده ارائه شده است که شامل یک رابطه دوخطی است. در قسمت اول که مربوط به محدوده پریود کم می‌باشد. مقدار  $R_\mu$  بصورت خطی از مقدار ۱ به محدودهای تقریباً نزدیک به ضریب کاهش نیرو بصورت خطی افزایش می‌یابد و در قسمت بعد، ضریب کاهش نیرو بصورت یک مقدار ثابت باقی می‌ماند.

جزئیات رابطه ارائه شده بستگی به رفتار هیسترزیس و میرایی سیستم دارد. برای سیستم با رفتار هیسترزیس مدل Q و ۵٪ میرایی متناسب با جرم رابطه ذیل درنظر گرفته شده است.

$$R_\mu = (\mu - 1) \frac{T}{T_0} + 1 \quad T \leq T_0 \quad (17-2)$$

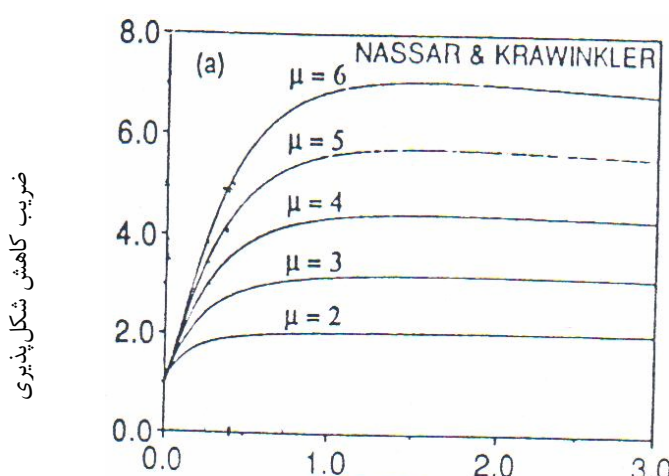
$$R_\mu = \mu \quad T > T_0 \quad (17-2)$$

که در آن

$$T_0 = 0,65\mu^{0,3} \cdot T_1 \quad (18-2)$$

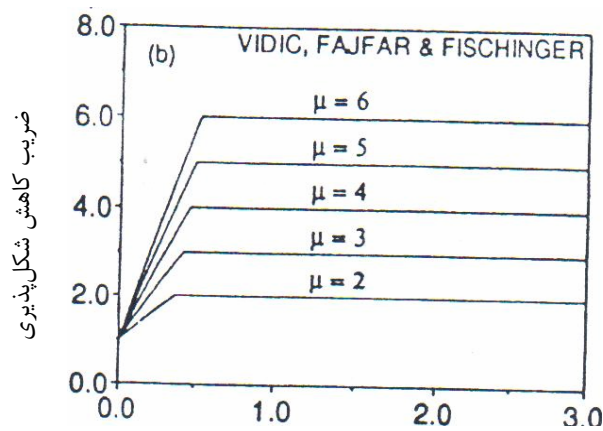
$$T_1 = 2\pi \frac{Q_{ev}}{Q_{es}} \cdot \frac{V}{A} \quad (19-2)$$

ضریب کاهش شکل‌پذیری محاسبه شده با استفاده از ضرائب تشدید  $Q_{es} = 2,5$  و  $Q_{ev} = 2$  مربوط به ۲۰ رکورد زمین که در مطالعه در نظر گرفته شده است. در شکل (۱۷-۲) نشان داده شده است.



دوره تناوب (ثانیه)

شکل (۲-۱۶): ضریب کاهش مقاومت بدست آمده در تحقیق ناسار و کراوینکلر [۱۴]



دوره تناوب (ثانیه)

شکل (۲-۱۷): ضریب کاهش مقاومت بدست آمده در تحقیق ویدک، فجفر و فیشینگر [۱۵]

### ۱۲-۳-۱-۹. میراندا<sup>۱۲</sup>

در این مطالعه، بصورت گسترده از رکوردهای زمین لرزه در ارتباط با یکدیگر، برای مطالعه تأثیر پارامترهای مختلف رکوردهای زمین لرزه در تعیین ضریب کاهش نیرو استفاده شده است. برای مطالعه اثر شرایط خاک محل در ضریب کاهش نیرو، گروهی از ۱۲۴ رکورد زمین لرزه در محدوده وسیعی از خاکهای مختلف در طی زلزله‌های مختلف استفاده شده است. براساس شرایط خاک محل در محل ثبت زلزله، رکورد به سه گروه تقسیم‌بندی شده است. حرکات ثبت شده در سنگ، حرکات ثبت شده در آبرفت، و حرکات ثبت شده در خاکهای خیلی نرم حاصل از رسوب‌گذاری رودخانه‌ای که با سرعت پائین موج برشی در آنها مشخص می‌شوند.

ضریب کاهش مقاومت، برای سیستم یک درجه آزاد با میرایی ۵٪ و با شکل پذیری ۲ تا ۶ محاسبه شده است. سپس متوسط ضریب کاهش مقاومت برای هر گروه از خاک‌ها رسم شده است. علاوه بر درنظر گرفتن شرایط خاک محل، اثر پارامترهای دیگری مثل بزرگی زلزله، فاصله کانونی نیز در تعیین

---

<sup>12</sup>- Miranda

ضریب کاهش نیرو در نظر گرفته شده است. مطالعه نشان داده است که شرایط خاک تأثیرگذار بر ضریب کاهش نیرو است (مخصوصاً برای خاک خیلی نرم) ولی بزرگی و فاصله کانونی تأثیر چندانی در متوسط ضریب کاهش مقاومت ندارند.

براساس متوسط ضریب کاهش نیرو، فرمول ساده شده زیر برای تقریب ضریب کاهش نیرو ارائه شده است.<sup>[۶]</sup>

$$R_\mu = \frac{\mu - 1}{\Phi} + 1 \geq 1 \quad (20-2)$$

که تابعی از شرایط خاک است و برای محیط‌های خاکی مختلف بصورت زیر است.

$$\Phi = 1 + \frac{1}{10T - \mu T} - \frac{1}{2T} e^{\left[ -\frac{3}{2}(\ln t - \frac{3}{5})^2 \right]} \quad (21-2\text{-الف}) \text{ برای سنگ}$$

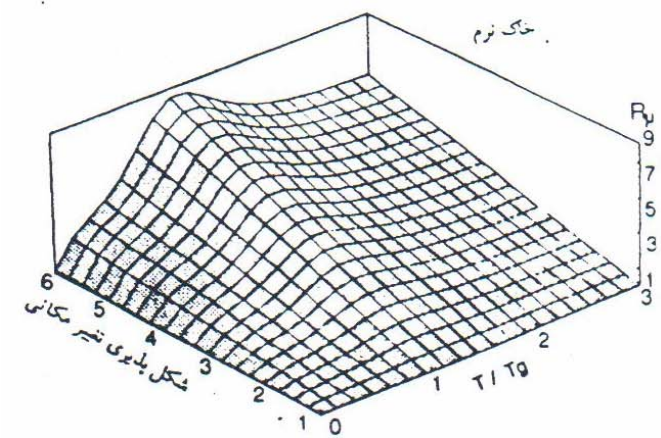
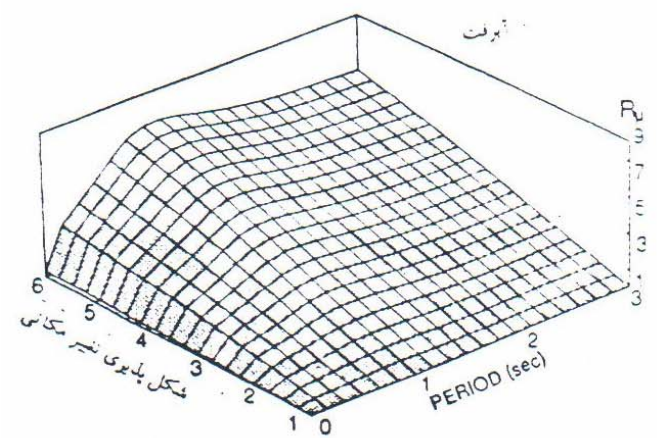
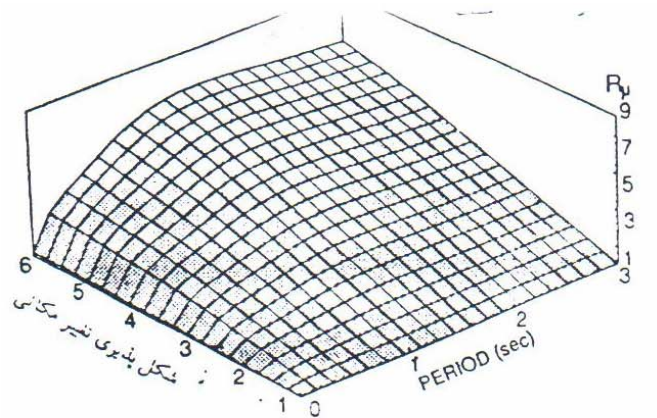
$$\Phi = 1 + \frac{1}{12T - \mu T} - \frac{2}{5T} e^{\left[ 2(\ln t - \frac{1}{5})^2 \right]} \quad (21-2\text{-ب}) \text{ برای آبرفت}$$

$$\Phi = 1 + \frac{T_g}{3T} - \frac{3T_g}{4T} e^{\left[ -3(\ln \frac{T}{T_g} - \frac{1}{4})^2 \right]} \quad (21-2\text{-ج}) \text{ برای خاک نرم}$$

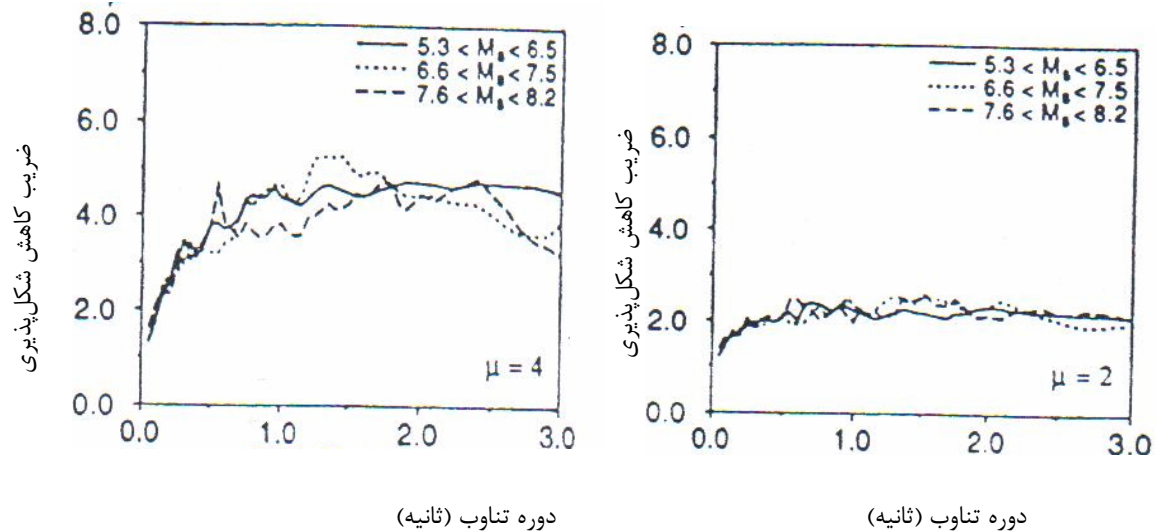
$T_g$  مقدار پریود درنظر گرفته شده برای نوع زمین است و برای هر خاک قابل تعیین می‌باشد.

در شکل (۱۸-۲) نمودار ضریب کاهش نیروی بدست آمده برای شرایط خاک‌های مختلف نشان داده شده است.

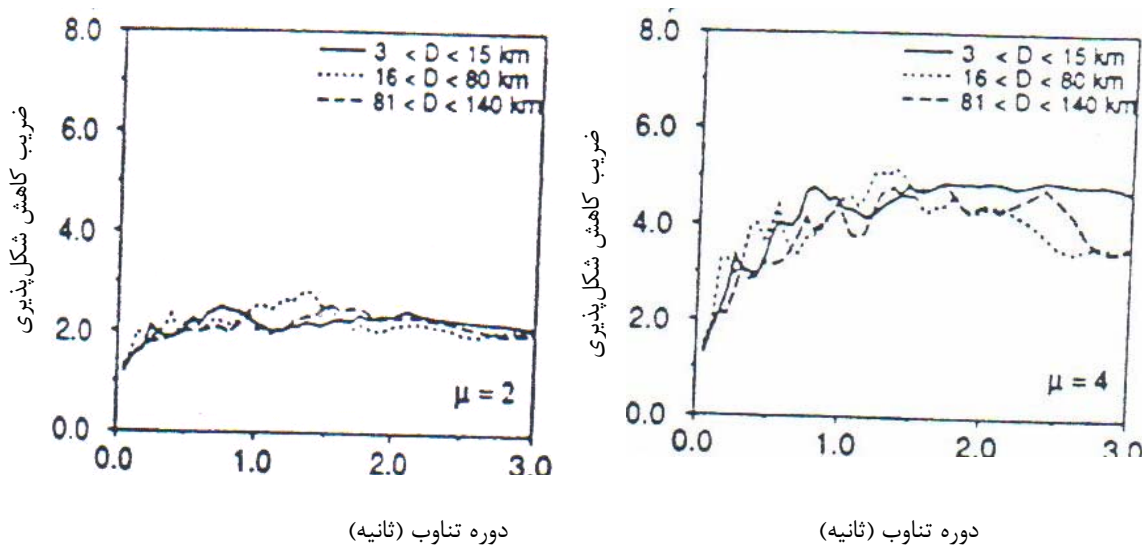
در شکل (۱۹-۲) و (۲۰-۲)، اثر بزرگی زلزله و فاصله کانونی زلزله بر ضریب کاهش نیرو، که توسط این محقق بررسی شده است نشان داده شده است.



شکل (۲-۱۸): ضریب کاهش مقاومت بدست آمده در تحقیق میراندا برای خاک‌های مختلف [۹]



شکل (۲-۱۹): اثر بزرگی زلزله در ضریب کاهش مقاومت، بدست آمده توسط میراندا [۹]



شکل (۲-۲۰): اثر فاصله کانونی زلزله در ضریب کاهش مقاومت، بدست آمده توسط میراندا [۹]

### ۲-۳-۲. پارامترهای اصلی تأثیرگذار بر ضریب کاهش نیرو $R_\mu$

براساس مطالعات فوق معلوم می‌شود که ضریب کاهش نیرو نه تنها به مشخصات سیستم بلکه به مشخصات حرکات زمین بستگی دارد. برای یک حرکت زمین،  $R_\mu$  تابعی از پریود نوسان سازه، میرایی، نوع رفتار هیسترزیس و حد تغییر شکل غیرخطی سازه (ضریب شکل‌پذیری  $\mu$ ) می‌باشد.

نتیجه مطالعات ذکر شده در بخش پیش بیان کننده این است که این ضریب در درجه اول به پریود نوسان و حد تغییر شکل غیرخطی و در مرحله دوم و کم‌اهمیت‌تری به میرایی و نوع رفتار غیرخطی سیستم بستگی دارد. بنابراین رابطه ضریب کاهش مقاومت به شکل زیر بیان می‌گردد.

$$R_\mu = R_\mu(T, \mu_i) \quad (22-2)$$

از تعریف ضریب  $\mu$  در رابطه شماره (11-۲) کاملاً مشخص است که برای هر حرکت زمین و پریود ارتعاشی، برای سیستمی که در حالت خطی است  $\mu_i$  ضریب کاهش نیرو رابطه زیر را ارضا می‌کند.

$$R_\mu = R_\mu(T, \mu_i = 1) = 1 \quad (23-2)$$

برای سیستم‌های بسیار سخت و صلب که شکل پذیری غیرخطی به سمت صفر میل می‌کند ( $T \rightarrow 0, U_y \rightarrow 0$ ) چرا که سیستم در بیشتر حالات در حالت الاستیک است و به دشواری وارد محدوده غیرخطی می‌شود.

بنابراین برای هر تحریک زمین، مقاومت لازم در این نوع سیستم‌ها مانند مقاومت لازم برای سیستم‌های خطی است در نتیجه ضریب کاهش نیرو رابطه زیر را باید ارضا کند.

$$R_\mu = R_\mu(T \rightarrow \infty, \mu_i) = 1 \quad (24-2)$$

در تمامی مطالعات بررسی شده رابطه  $\mu$  شرط فوق را ارضا می‌کند. برای سیستم‌های خیلی نرم ( $T \rightarrow \infty$ ) بدون توجه به مقاومت سیستم، حداکثر تغییر مکان نسبی، به تغییر مکان حداکثر زمین نزدیک است بنابراین برای هر تحریک زمین، مقدار مقاومت غیرخطی لازم مساوی مقدار مقاومت خطی لازم، تقسیم بر ضریب شکل پذیری سازه می‌باشد و ضریب کاهش نیروی سازه برای این گونه سیستم‌ها رابطه زیر را ارضا می‌کند.

$$R_\mu = R_\mu(T \rightarrow \infty, \mu_i) = \mu \quad (25-2)$$

این رابطه توسط تحقیقاتی که توسط لائی و بیکن، ریدل و تاکادا برای شکل‌پذیری بیشتر از ۵ انجام شده است ارضاء شده است.

### ۳-۳-۲. نتیجه‌گیری مطالعات انجام شده بر روی ضریب کاهش شکل‌پذیری $R_u$

با توجه به مطالعات انجام شده در مورد ضریب کاهش مقاومت در اثر شکل‌پذیری  $R_u$  مشاهده می‌شود که این ضریب تابعی از دو متغیر اصلی شکل‌پذیری مورد نظر  $\mu$  و پریود سازه است. به طوری که در محدوده‌های زیاد پریود، این ضریب تقریباً مستقل از پریود است و تقریباً مساوی شکل‌پذیری مورد نظر است و در محدوده پریودی کم این ضریب بصورت خیلی زیاد با پریود وابسته است و برای سازه‌های خیلی صلب  $T \approx 0$  که کاهش نیرو در اثر شکل‌گیری غیر ممکن است این ضریب مساوی ۱ است.

### ۴-۳-۲. ضریب اضافه مقاومت $R_s$

با توجه به نمودار رفتار کلی سازه شکل (۲-۸)، مقدار مقاومت ذخیره شده در سازه از مقاومت حد اولین جاری شدن محسوس سازه  $C_s$  تا حد مقاومت نهایی سازه (فروریزش سازه)  $C_y$  اضافه مقاومت سازه نامیده می‌شود. در واقع مقدار مقاومتی است که در اثر عوامل مختلف در سازه ذخیره شده است و انهدام سازه را به تاخیر می‌اندازد. این عامل یک عامل بسیار مهم در طراحی لرزه‌ای می‌باشد. تحقیقات نشان داده است که پایداری ساختمان‌ها (مخصوصاً ساختمان‌های کوتاه) در زلزله‌هایی مانند زلزله شهر مکزیک [۱۶، ۱۵ و ۸] به این عامل بستگی داشته است. محققین این عامل را به ناجی ساختمان‌ها نام‌گذاری کردند.

مقدار اضافه مقاومت موجود در سازه‌های واقعی خیلی متغیر است و به نوع مصالح، نوع سیستم سازه‌ای، شکل کلی سازه، تعداد طبقات، جزئیات اجرائی، و به نوع و تاریخ آئین‌نامه طراحی سازه بستگی دارد.

عوامل مختلفی در اضافه مقاومت سازه نقش دارند که برخی از آنها در ذیل بیان شده است.

- توزیع مجدد نیروها در سازه در محدوده غیرخطی در اثر نامعینی و شکل‌پذیری سازه
- تغییرات بین حد طراحی و مقاومت لازم برای المان‌ها (یعنی نسبت تنفس مجاز به تنفس جاری شدن و ضریب بار)
- تأثیر بقیه بارها (بارهای ثقلی) و ضریب بار آنها در طراحی
- اثر اختلاف در اندازه المان‌های بکار رفته در سازه با مقدار مورد لزوم آن
- اثر حداقل‌های مورد نیاز آئین‌نامه‌ای
- مقاومت و سختی لازم برای ملاحظات مربوط به تغییر شکل در المان‌ها
- تیپ‌بندی المان‌ها و یکسان کردن المان‌ها برای اجرای آسان‌تر
- نقطه نظرات معماری
- اطمینان موجود در مدل‌های ریاضی
- اثر المان‌های سازه‌ای که در سیستم مقاوم جانبی حضور ندارند
- اثر المان‌های غیرسازه‌ای
- سخت‌شوندگی کرنشی

راه عملی تعیین ضریب اضافه مقاومت یک قاب استفاده از یک تحلیل غیرخطی است. یک تحلیل حدی و یا یک تحلیل استاتیکی غیرخطی پیش روندۀ می‌تواند برای تعیین این ضریب استفاده شود

. [۱۵، ۱۶]

برای تعیین اضافه مقاومت سازه به این صورت عمل می‌شود که نیروهای طراحی جانبی سازه به همراه نیروهای ثقلی بر سازه اعمال می‌شوند و مقدار تغییر مکان طبقه فوقانی قاب به همراه برش پایه ثبت می‌شوند سپس بطور مداوم مقدار نیروی جانبی افزایش داده می‌شود و مقادیر برش پایه و تغییر مکان

طبقه آخر بطور مداوم ثبت می‌شوند. این عمل تا آنجا که اولین المان سازه جاری شود و بصورت مفصل پلاستیک درآید، ادامه می‌یابد. افزایش نیرو بعد از این مرحله باعث باز توزیع نیروها در بقیه اعضاء شده و قاب قادر به تحمل نیروی جانبی بیشتر می‌شود. نیروی جانبی مجددًا افزایش داده می‌شود تا در بقیه اعضاء مفصل پلاستیک تشکیل شود. و در صورتی تحلیل متوقف می‌شود که یا سازه مکانیزم شده و یا شکل پذیری محلی یکی از المان‌ها از حد مجاز بیشتر شود (المان گسیخته شود). در این حالت از حاصل تقسیم حداقل نیروی جانبی تحمل شده توسط قاب به نیروی حد اولین جاری شدن قاب ضریب اضافه مقاومت قاب بدست می‌آید با توجه به شکل (۸-۲) داریم.

$$R_s = \frac{c_y}{c_s} \quad (2-4) \text{ مکرر}$$

از حاصل تقسیم حداقل تغییر مکان قاب به حد جاری شدن آن شکل پذیری قاب تعیین می‌شود.

$$\mu = \frac{\Delta_{\max}}{\Delta_y} \quad (2-2) \text{ مکرر}$$

مقدار اضافه مقاومتی که از این روش بدست می‌آید اثر عواملی نظیر:

- توزیع مجدد نیروها در سازه در محدوده غیرخطی
- تأثیر بقیه بارهای واردہ بر سازه
- اختلاف در اندازه لازم برای المان‌ها و المان استفاده شده
- حداقل‌های مورد نیاز آئین‌نامه‌ای
- مقاومت و سختی لازم برای احتیاجات مربوط به تغییرشکل در المان‌ها
- تیپ‌بندی المان‌ها
- نقطه نظرات معماری
- سخت‌شوندگی کرنشی
- را در مدل در نظر می‌گیرد.

ولی عواملی نظیر:

- اختلاف بین تنش اسمی جاری شدن و تنش واقعی جاری شدن

- اطمینان موجود در مدل‌های ریاضی

- اثر المان‌های غیرسازه‌ای

را در نظر نمی‌گیرد [۱۵]. به منظور در نظر گرفتن عوامل فوق، مقدار ضریب اضافه مقاومت بدست آمده از این روش را می‌توان بوسیله چند ضریب اصلاحی به ضریب اضافه مقاومت واقعی سازه تبدیل کرد [۸].

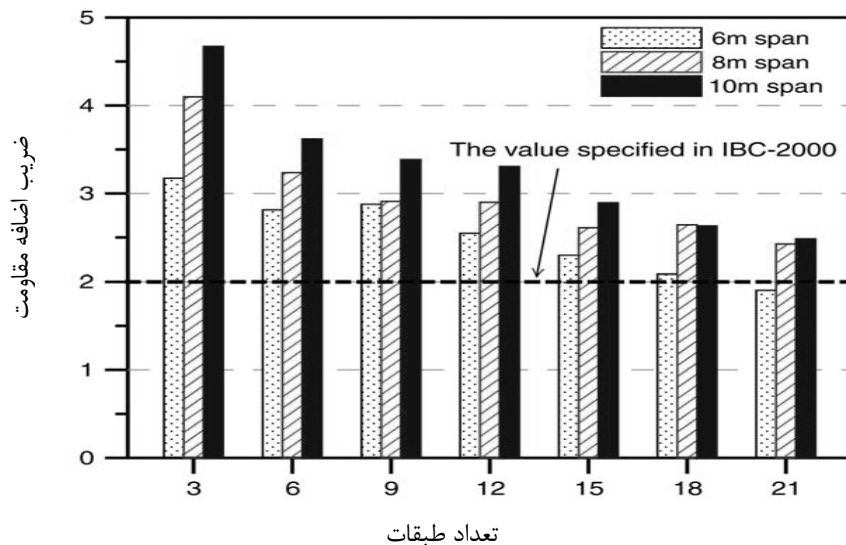
$$R_s = R_{so} \cdot f_1 \cdot f_2 \cdot f_3 \dots \quad (26-2)$$

که این ضرائب می‌توانند مربوط به اثر عوامل مختلف باشند. مثلاً  $f_1$  می‌تواند برای درنظر گرفتن اختلاف بین حد جاری شدن اسمی و حد جاری شدن واقعی سازه باشد. برای سازه‌های فولادی مطالعات آماری، مقدار این ضریب را  $1/0.5$  تعیین کرده است [۱۸، ۸]. ضریب  $f_2$  می‌تواند برای درنظر گرفتن اثر افزایش تنش جاری شدن در اثر افزایش نرخ تغییر کرنش در موقع زلزله باشد. مطالعات آماری نشان داده است که عدد  $1/1$  برای این ضریب قابل استفاده است [۸]. بقیه پارامترها می‌توانند شامل المان‌های غیرسازه‌ای و تغییرات در نحوه توزیع نیروی جانبی در طبقات و غیره باشند که مقدار ضرائب زمانی قابل استفاده هستند که اعداد قابل اعتمادی برای آنها وجود داشته باشد. شکل (۲۱-۲) تا (۲۲-۲) مقدار تغییرات ضریب اضافه مقاومت را برای یک قاب مهاربندی شده همگرای ویژه (SCBF) و معمولی (OCBF) نشان داده و آن را با مقادیر آیین نامه IBC-2000 مقایسه کرده است

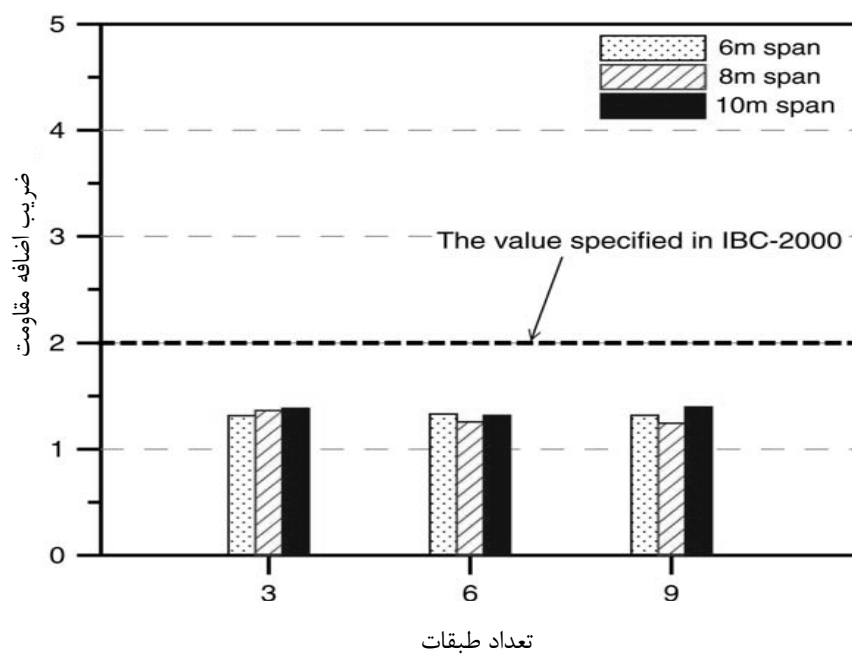
.[۲۱]

در شکل (۲۳-۲) مقدار ضریب اضافه مقاومت برای سه سیستم سازه‌ای و با پریودهای مختلف نشان داده شده است. در شکل (۲۴-۲) مقدار ضریب اضافه مقاومت را برای یک قاب داخلی یک ساختمان اداری در محدوده زلزله خیزی بالا نشان می‌دهد [۸]. همان‌طوری که در اشکال (۲۱-۲) تا (۲۴-۲) مشخص است مقدار ضریب اضافه مقاومت برای سازه‌ها با پریود کم، زیاد است و با افزایش پریود سازه،

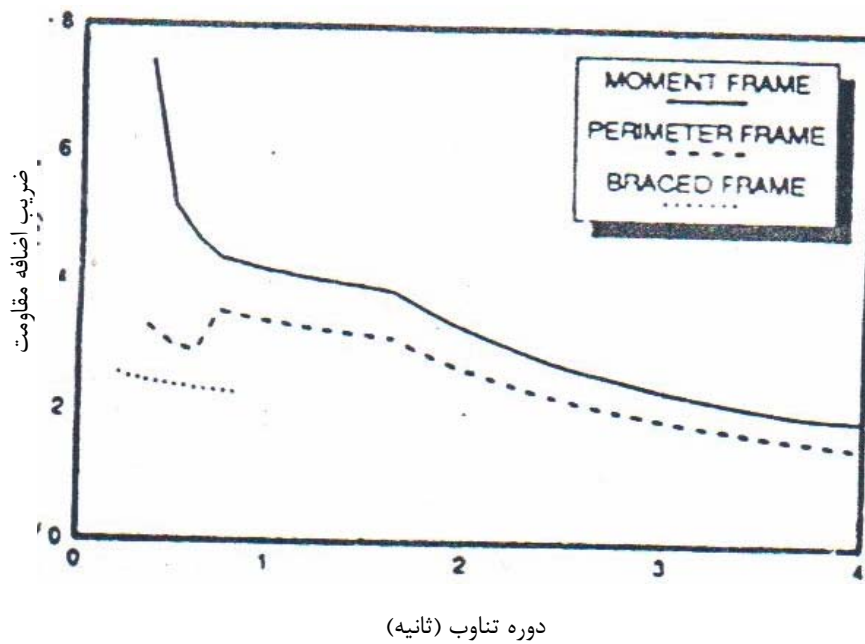
مقدار این ضریب کم می‌شود. این بدین معنی است که برای سازه‌های کوتاه (با پریود کم) با توجه به اینکه، بیشتر نیروهای ثقلی در طراحی حاکم هستند مقدار اضافه مقاومت سازه بیشتر است و برای سازه‌های بلند (با پریود زیاد) که نیروهای جانبی حاکم بر طراحی هستند، مقدار اضافه مقاومت قاب کمتر می‌شود.



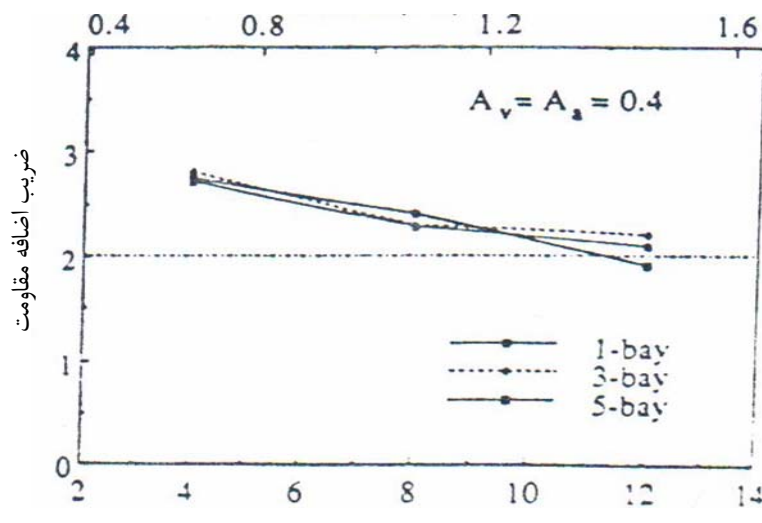
شکل (۲۱-۲): ضریب اضافه مقاومت سازه بر حسب تعداد طبقات، برای قاب مهاربندی شده همگرای ویژه [۱۹]



شکل (۲۲): ضریب اضافه مقاومت سازه بر حسب تعداد طبقات، برای قاب مهاربندی شده همگرای معمولی [۱۹]



شکل (۲-۲۳): ضریب اضافه مقاومت سازه بر حسب پریود، برای قابهای فولادی [۸]



شکل (۲-۲۴) ضریب اضافه مقاومت سازه بر حسب تعداد طبقات، برای قاب خمی فولادی [۸]

غیر از عوامل ذکر شده در بالا عوامل دیگری در ضریب اضافه مقاومت تأثیر دارند که عبارتند از:

- اثر خاک خیلی نرم

- اثر  $P - \Delta$

- اثرات پیچشی زلزله

- اثرات تنه زدن<sup>۱۳</sup> ساختمان‌ها

- سیستم مقاوم قائم و غیریکنواختی در آن

- اثرات متقابل خاک و سازه

که مطالعه اثرات آن نیاز به تحقیقات گستردگی دارد.

با توجه به توضیحاتی که در مورد ضریب اضافه مقاومت بیان شد روشن می‌شود که این ضریب تابع پارامترهای مختلف می‌باشد و با توجه به شرایط مختلف مقدار آن در هر قاب، مقدار مشخصی است. بهتر آن است که برای هر قاب با توجه به شرایط آن و به روش تحلیلی مقدار ضریب اضافه مقاومت را بدست آورد و بدین وسیله اثر پارامترهای مختلف را در آن وارد کرد.

#### ۴-۲. سایر روش‌های تعیین ضریب رفتار

##### ۴-۲-۱. روش فریمن<sup>۱۴</sup>

روش دیگری نیز برای تعیین ضریب رفتار بوسیله فریمن ارائه شده است. در این روش مقدار ضریب رفتار بصورت حاصل‌ضرب چند ضریب بیان شده است<sup>[۲۰]</sup>.

$$R_W = R_A \cdot R_B \cdot R_C \cdots R_N \quad (27-2)$$

که ضرائب بکار رفته در این تعریف به سیستم سازه، پیکربندی، مصالح بکار رفته، وزن، حجم، ارتفاع، ضرایب بار، نامعینی سازه، مشخصات اتلاف انرژی، مشخصات غیرخطی، مکانیزم خرابی و غیره مربوط می‌شوند.

<sup>13</sup>- Pounding

<sup>14</sup>- Freeman

در واقع متغیرها بقدرتی زیاد هستند که به ندرت مقدار ضریب رفتار برای دو ساختمان یکسان می‌شود. به عبارت دیگر، هر ساختمان دارای مشخصات منحصر به خود است.

این محقق تمام پارامترهای فوق را در دو پارامتر اصلی، ظرفیت سازه و احتیاجات زلزله خلاصه کرده است و ضریب رفتار را بصورت حاصل‌ضرب این دو ضریب اصلی که در بردارنده پارامترهای فوق می‌باشد بیان می‌کند.

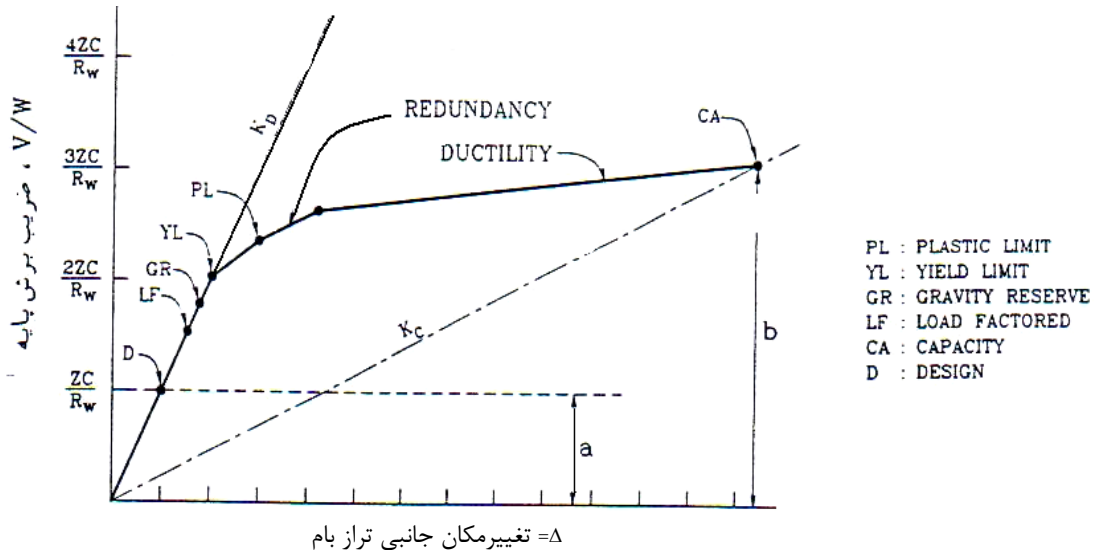
ظرفیت نهایی جانبی سازه بوسیله یک تحلیل استاتیکی غیرخطی پیش‌روند<sup>۱۵</sup> و با بدست آوردن منحنی تغییرشکل- نیرو تعیین می‌شود. و در واقع متناظر با ضریب اضافه مقاومت  $R$  تعریف شده در قسمت‌های گذشته می‌باشد.

احتیاجات زلزله در واقع بیان‌کننده نیرویی است که به سازه در هنگام وقوع زلزله وارد می‌شود. نیروی وارد بر سازه در هنگام وقوع زلزله، بدلیل وجود رفتار غیرخطی و اتلاف انرژی در رفتار هیسترزیس و افزایش میرایی سازه، کمتر از حالت خطی سازه می‌باشد. در واقع احتیاجات زلزله، متناظر با ضریب کاهش نیرو در اثر شکل‌پذیری  $R$  تعریف شده در قسمت‌های گذشته می‌باشد. برای بدست آوردن احتیاجات زلزله این محقق روشی را ارائه کرده است که در ذیل به آن اشاره می‌شود.

بدلیل وجود رفتار غیرخطی در سازه و وجود مفاصل پلاستیک، سازه در هنگام زلزله نرم‌تر می‌شود و پریود ارتعاش و میرایی آن بیشتر می‌شود و نیروی وارد به سازه کمتر می‌شود. با توجه به شکل (۲۵-۲) اگر میرایی سازه در هنگام وقوع زلزله به جای  $5\%$ ،  $20\%$  درنظر بگیریم. طیف خطی نیروهای زلزله کاهش پیدا می‌کند. حال اگر پریود اولیه سازه که می‌تواند پریود محاسباتی و یا پریود بدست آمده از روابط آئین‌نامه‌ای باشد را  $T_{Design}$  درنظر بگیریم، در اثر بوجود آمدن زلزله و تغییرسختی سازه

<sup>15</sup>- Push- Over

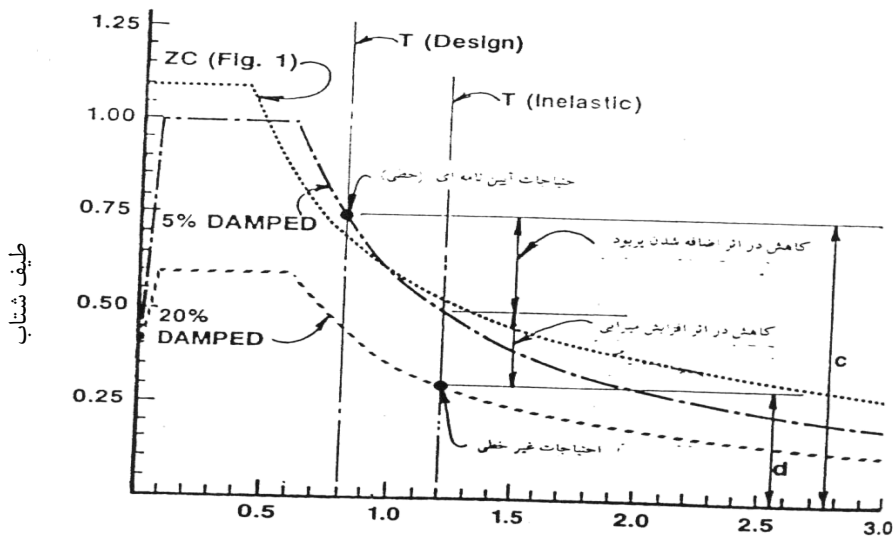
پریود آن به پریود غیرخطی سازه تبدیل می‌شود. این پریود از مقدار سختی سکانتی نهایی سازه بدست می‌آید.



شکل (۲-۲۵): منحنی ظرفیت سازه [۱۳]

$$R_s = \frac{\text{ظرفیت}}{\text{طراحی}} = \frac{b}{a}$$

در شکل (۲-۲) مقدار سختی سکانتی نهایی سازه  $K_C$  مشخص است. مقدار احتیاجات زلزله از نسبت مقدار نیروی مورد لزوم برای سازه با طیف ۵٪ میرایی و پریود ارتعاشی اولیه  $T_{\text{Design}}$  به مقدار نیرو در میرایی غیرخطی ۲۰٪ سازه و با پریود حد الاستیک  $T_{\text{inelastic}}$  آن بدست می‌آید.



دوره تناوب (ثانیه)

$$R_{\mu} = \frac{\text{احتیاجات آئین نامه‌ای (خطی)}}{\text{احتیاجات غیر خطی}} = \frac{c}{d}$$

شکل (۲-۲۶): منحنی احتیاجات لرزه‌ای [۲۰]

## ۲-۴-۲. روش تکرار

این روش بر این اساس پایه‌گذاری شده است که یک حد از تخریب سازه به عنوان حد مجاز تخریب

درنظر گرفته می‌شود و ضریب رفتار سازه در یک روند تکراری بنحوی تغییر داده می‌شود که سازه

پس از طراحی و در هنگام تحلیل غیرخطی سازه، خرابی بوجود آمده در آن از حد مشخص شده

بیشتر نشود و شرایط عدم تخریب سازه برآورده شود.

شرایط تخریب، محدود کردن حد تغییرشکل جانبی و محدود کردن شکل‌پذیری محلی المان‌ها است.

سازه وقتی با یک ضریب رفتار صحیح طراحی شده است که در هنگام وقوع زلزله شرایط خرابی در آن

بوجود نیاید. بر این اساس دو روش برای تعیین ضریب رفتار قاب به صورت زیر ارائه شده است.

**روش مستقیم:** که در آن سازه با یک  $R$  اولیه طراحی می‌گردد و سپس با یک روش تحلیل

دینامیکی غیرخطی بوسیله یک رکورد زلزله که طیف آن با طیف طراحی همخوانی دارد تحلیل

می‌شود. حدود تخریب سازه برآورده می‌گردد و اگر شرایط برآورده نشده بود، مقدار  $R$  تغییر داده

می‌شود. بصورتی که سازه دقیقاً شرایط تخریب را ارضاء نماید. مقدار ضریب  $R$  بدست آمده، مقدار واقعی  $R$  می‌باشد.

**روش غیرمستقیم:** سازه به وسیله یک مقدار  $R$  اولیه طراحی می‌گردد و تحت شتاب‌های مختلف، تحلیل دینامیکی می‌شود. به طوری که شرایط تخریب را ارضاء نماید. نسبت  $R$  قاب به  $R$  طراحی مساوی، نسبت شتاب طراحی به شتاب تخریب سازه است.

روش مستقیم بدلیل عواملی مانند اثر نیروهای ثقلی و دیگر مسائل در بعضی سازه‌ها روش همگرایی نمی‌باشد [۱۴].

## ۲-۵. جمع‌بندی

با توجه به مطالب عنوان شده درباره ضریب رفتار و پارامترهای موثر آن مشخص می‌شود که این ضریب که در محاسبه نیروی طراحی سازه مورد استفاده قرار می‌گیرد، از پیچیدگی خاصی برخوردار است و بستگی به پارامترهای زیادی دارد. این ضریب برای دو سازه با یک سیستم سازه‌ای و با پریودهای متفاوت و یا حتی با پریود یکسان و با نحوه طراحی مختلف فرق می‌کند. لذا استفاده از یک ضریب ثابت در آئین‌نامه برای طراحی یک سیستم سازه‌ای، بدون درنظر گرفتن رفتار واقعی آن در محدوده غیرخطی معیار مناسبی نمی‌باشد. در نتیجه انجام حداقل یک تحلیل غیرخطی استاتیکی بر روی سازه‌های طراحی شده برای درنظر گرفتن پارامترهای لرزه‌ای در محدوده غیرخطی توصیه می‌شود.

فصل سوم:  
توضیح روش های انجام کار  
مورد استفاده در این تحقیق

### ۱-۳. مقدمه

مطابق مطالبی که در فصل دوم بیان گردید ضریب رفتار سازه متأثر از دو پارامتر اصلی، ضریب کاهش نیرو در اثر شکل‌پذیری و ضریب اضافه مقاومت سازه می‌باشد که پارامترهای مذکور خود تحت تأثیر عوامل مختلفی در سازه دچار تغییر خواهند شد.

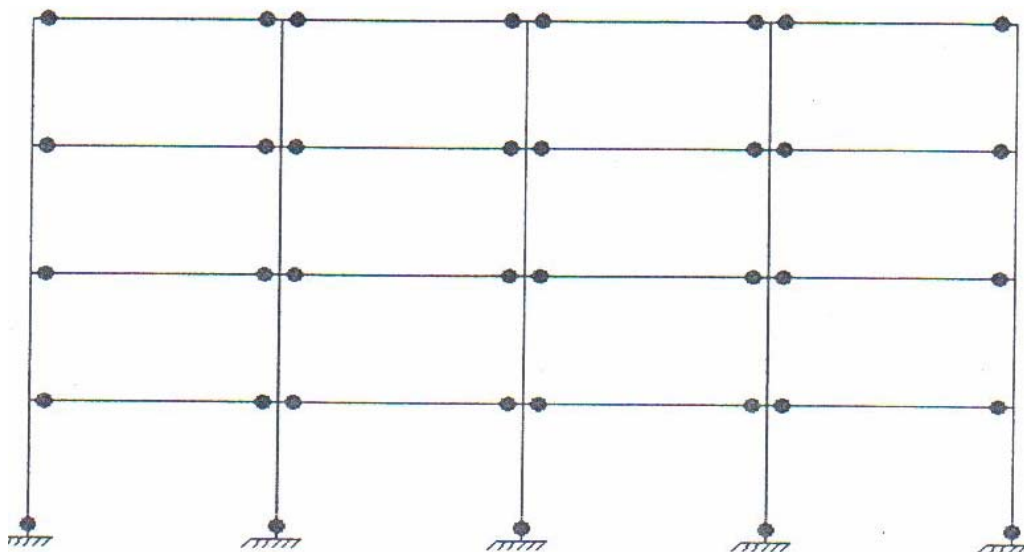
برای درنظر گرفتن پارامترهای مؤثر بر ضریب  $R$  در این تحقیق تأثیر عوامل مختلفی از جمله نوع خرپایی ویژه به کار برد شده، ارتفاع سازه و درجه نامعینی به صورت افزایش تعداد دهانه‌ها و پارامترهای مربوط به آن مورد ارزیابی قرار گرفته است.

### ۲-۳. کلیات روش تحقیق

در این تحقیق چند نمونه قاب خمی فولادی خرپایی ویژه با قطریهای ضربدری و ویرندیل با تعداد طبقات و دهانه‌های مختلف تحت بارگذاری جانبی استاتیکی مورد تحلیل و طراحی قرار گرفته است. لازم به ذکر است که طراحی‌ها براساس آئین‌نامه AISC-ASD89 [۲۲] بوده و کلیه ضوابط مربوط به طراحی قاب خمی فولادی با شکل‌پذیری مورد توجه قرار گرفته است. پس از طراحی، نمونه‌ها مورد تحلیل استاتیکی غیرخطی پیش‌رونده (pushover) تحت الگوهای بارگذاری مثلثی قرار می‌گیرد. این کار توسط نرم‌افزار SAP2000 [۲۳] نسخه ۱۴ صورت گرفته است.

مطابق تعریف ضریب رفتار، سازه باید در حالت نهایی خود بررسی گردد. حالت نهایی سازه‌ها مطابق مراجعی که در زمینه بررسی رفتار غیرخطی سازه‌ها وجود دارد تا حدود زیادی به قضاوت محقق بستگی دارد اما می‌توان به طور عمده به حالات زیر اشاره کرد:

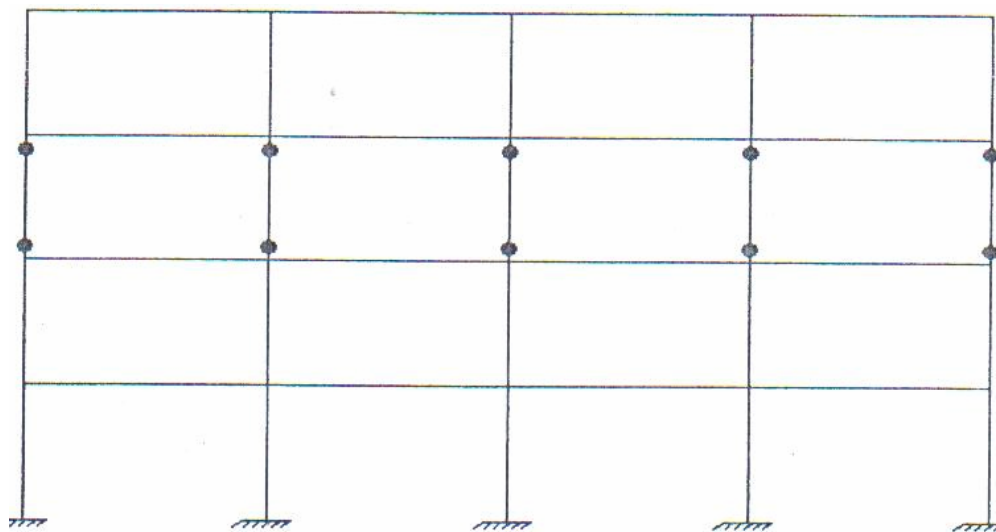
۱- حالتی که سازه در مدعای پایداری کلی (Global Mechanism) قرار می‌گیرد. این مکانیسم در حالتی است که در آن، ابتدا و انتهای کلیه تیرها و پای ستون‌های طبقه اول دچار مفصل پلاستیک شده‌اند که در شکل (۳-۱) نشان داده شده است.



ناپایداری کلی

شکل (۱-۳) مکانیسم سازه در مد ناپایداری کلی

۲- حالتی که علی‌رغم وجود احتمالی توزیع متنوعی از مفاصل پلاستیک در سازه، یک طبقه از سازه در وضعیت طبقه نرم (Soft Story Mechanism) از بین رود، نمونه‌ای از این وضعیت در شکل (۲-۳) آورده شده است.



ناپایداری طبقه‌ای

شکل (۲-۳) مکانیسم سازه در مد طبقه نرم

۳- حالتی که بخش‌هایی از سازه دارای چنان اهمیتی باشند که اگر هرگونه‌ای از گسیختگی و پلاستیک شدن و یا کمانش در آن اتفاق بیافتد، محقق براساس قضاوت خود آن را حالت نهایی اعلام کند مرجع شماره [۲۴] توضیح مبسوطی در مورد مکانیسم‌های فوق ارائه کرده است.

۴- حالتی که به خاطر اهمیت تغییرمکان‌های نسبی طبقات در ایجاد خسارت‌های غیرسازه‌ای مطابق یک آئیننامه خاص و یا مطابق قضاوت محقق بتوان معیار تغییرمکان نسبی را برای حالت نهایی سازه منظور نمود، که این مقدار در آئیننامه ۲۸۰۰ ویرایش سوم [۱] به صورت زیر درنظر گرفته شده است.

$$-\Delta m \leq 0.025H \quad \text{ثانیه} < 7$$

$$-\Delta m \leq 0.02H \quad \text{ثانیه} < 7$$

در رابطه بالا (H) ارتفاع طبقات و ( $\Delta m$ ) ماکریم تغییرمکان نسبی طبقات در تحلیل غیرخطی می‌باشد. در ضمن حالت نهایی تغییرمکان نسبی را می‌توان هم برای طبقه (ارتفاع طبقه) و هم برای کل ارتفاع سازه درنظر گرفت.

در یک مطالعه تحقیقاتی توسط امویفی و النشایی با درنظر گرفتن تعدادی از معیارهای گسیختگی شامل (معیار کنترل تغییرمکان نسبی بین طبقات، معیار مکانیسم نهایی سازه، معیار مکانیسم مفصل شدن ستون‌ها و ...) بر روی سیستم‌های سازه‌ای مختلف دریافتند که کنترل تغییرمکان نسبی طبقات، به عنوان معیار مکانیسم، بهتر از سایر معیارهای عنوان شده برای درنظر گرفتن پاسخ لرزه‌ای سازه‌های طراحی شده براساس آئیننامه‌های لرزه‌ای می‌باشد [۲۴].

با توجه به نتایج فوق برای ارزیابی پارامتر R در این تحقیق از معیار کنترل تغییرمکان نسبی طبقات به عنوان معیار گسیختگی یا به عنوان معیار تغییرمکان هدف (حالت ۴) با مسئله برخورد خواهد شد. قابل ذکر است که در مورد حالت نهایی تغییر مکان نسبی کل سازه، (تغییرمکان نسبی بام) با توجه به اینکه قبل از رسیدن به مقدار موردنظر از نظر تغییر مکان کلی سازه، سازه در یک یا چند طبقه به حالت نرم می‌رسد، لذا رسیدن به آن حالت بحرانی عملًا غیرممکن است و نمی‌توان آن را حالت نهایی اعلام کرد.

### ۳-۳. معرفی نمونه‌ها

#### ۳-۳-۱. سیستم سازه‌ای

بررسی تحلیلی ضریب رفتار برای انواع سیستم‌های مختلف سازه‌ای و مصالح با توجه به قابلیت‌های نرم‌افزارهای موجود قابل انجام است. به عبارتی می‌توان انواع سازه‌های فولادی یا بتنی یا مختلط را که دارای انواع سیستم‌های دیوار برشی، قاب خمشی، قاب مهاربند، ترکیبی و ... را به صورت اجزاء محدود و یا سایر ابزارهای تحلیل سازه مدل کرد و تحت بارگذاری‌های مورد نظر بصورت استاتیکی و دینامیکی غیرخطی بررسی کرد.

با توجه به اینکه بررسی هر کدام از حالات فوق مستلزم مطالعات اولیه، طراحی و آنالیزهای کاملاً مجزا است، هر کدام می‌تواند خود موضوع یک بررسی علمی باشد. در این پایان‌نامه با توجه به اینکه سازه‌های فولادی قاب خمشی خرپایی سیستمی است که برای استفاده در مناطقی که بسیار زلزله خیز هستند توسعه یافته است، مورد توجه واقع شده است.

#### ۳-۳-۲. فرضیات ساخت نمونه‌ها

مهم‌ترین فرضیات و مبانی بکار گرفته شده در بارگذاری و تحلیل و طراحی نمونه‌های مذکور به شرح ذیل می‌باشد:

- جهت بارگذاری ثقلی نمونه‌ها از بارهای زیر استفاده شده است:

بار مرده کف‌ها: ۵۰۰ کیلوگرم بر مترمربع

بار زنده کف‌ها: ۲۰۰ کیلوگرم بر مترمربع

بار زنده پله‌ها: ۳۵۰ کیلوگرم بر مترمربع

- جهت تعیین ضریب زلزله در نمونه‌ها و بارگذاری‌های جانبی مختلف از پارامترهای موجود در

آئین‌نامه ۲۸۰۰ که در زیر آمده است:

$A = 0.3$	منطقه با خطر نسبی زلزله زیاد
$I = 1$	ساختمان با اهمیت متوسط
$T = 0.7$	زمین نوع III
	طیف طراحی: طیف استاندارد آئین نامه ۲۸۰۰ برای زمین نوع III
	سیستم سازه‌ای: قاب خمشی فولادی خرپایی ویژه
$R = 6$	ضریب رفتار
$T = 0.08(H)^{\frac{3}{4}}$	دوره تناوب سازه

- جهت دستیابی به مقدار  $R$  قابل اعتماد، روند تکرار صورت می‌پذیرد. این روند تا رسیدن به همگرایی ادامه خواهد یافت. میزان خطای قابل قبول نیز ۳ درصد می‌باشد.

#### سایر فرضیات:

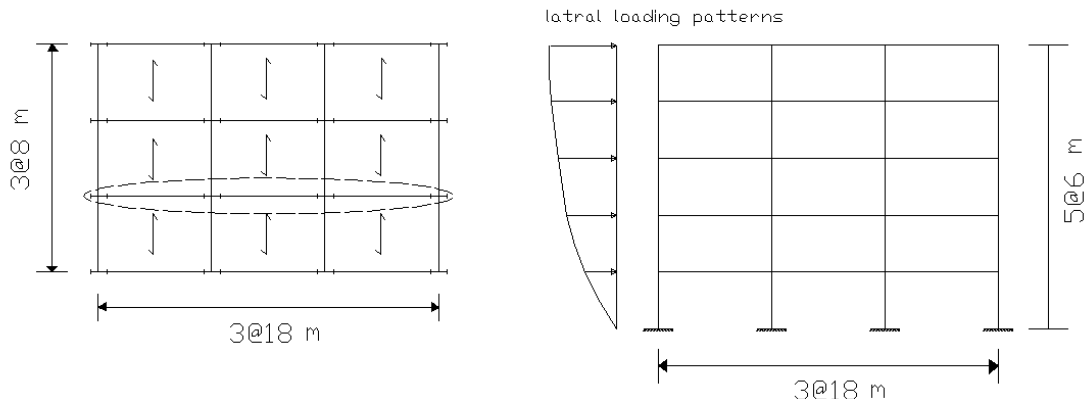
- کلیه نمونه‌ها در حالت صفحه‌ای بررسی شده‌اند.
- از تغییرشکل محوری اعضا صرف‌نظر شده است.

### ۳-۳-۳. هندسه و بارگذاری نمونه‌ها

گستره‌ای از قاب‌های خمشی ضریب رفتار و بررسی خرپایی فولادی با تعداد دهانه‌های ۲ و ۳ و تعداد طبقات (۳، ۴، ۵، ۶، ۷ و ۸) به منظور تعیین پیکربندی قابهای خمشی فولادی خرپایی ویژه بررسی شده است. در تمامی قاب‌های مورد بررسی طول دهانه‌ها ۱۸ متر و ارتفاع طبقات ۶ متر در نظر گرفته شده است. همچنین برای قابهای سه دهانه با خرپایی ویریندل نسبت طول دهانه به ارتفاع قطعه ویژه (a/b) ۱,۰، ۱,۵، ۲,۰، ۲,۵ برای بررسی اثر این نسبت بر ضریب رفتار در نظر گرفته شده است.

قاب‌های درنظر گرفته شده، قاب میانی یک ساختمان می‌باشد (شکل ۳-۳) که دهانه‌های جانبی آن در دو طرف ۸ متر درنظر گرفته شده است. سیستم سقف بصورت یکطرفه بوده بطوری که بارهای قائم بر روی قاب مورد نظر اعمال می‌گردد. بدین ترتیب سطح بارگیر قاب و مقدار وزن ساختمان که در محاسبات زلزله برای قاب درنظر گرفته می‌شود محاسبه گردیده است.

نام‌گذاری نمونه‌ها به صورت کلی STM a-b-X و STM a-b-Vierendeel می‌باشد که عدد a بیانگر تعداد دهانه‌ها و عدد b بیانگر تعداد طبقات و منظور از Vierendeel و X به ترتیب نوع قاب خمثی فولادی خرپایی ویژه با قطریهای ویرندیل و ضربدری در دهانه میانی (ناحیه ویژه) می‌باشند، به عنوان مثال نام X 8-3 STM مربوط به نمونه قاب خمثی فولادی خرپایی ویژه با قطریهای ضربدری دارای ۳ دهانه و ۸ طبقه می‌باشد.



شکل (۳-۳) نمای کلی از پلان سازه و قابهای انتخابی تحت بارگذاری جانبی مثلثی

#### ۴-۴. مبانی طراحی

با توجه به اینکه نحوه طراحی سازه در مقدار ضریب رفتار قاب بطور قابل ملاحظه تأثیر دارد، در طراحی قاب‌ها سعی شده تا با چندین بار تکرار عملیات تحلیل و طراحی مجدد مقاطع تحلیل و

طراحی یکسان شوند. همچنین نسبت تنش (تنش موجود به تنش مجاز) در مقاطع نهایی طرح عمداً در فاصله ۰,۸۵ تا ۱ قرار می‌گیرند.

#### ۴-۳. بارهای جانبی

در بسیاری از آئیننامه‌ها از جمله ANSI-ASCE 7-06؛ ATC-3-06؛ NEHRP-94؛ گزارش ۹۵، آئیننامه (۲۸۰۰) توزیع بار جانبی در ارتفاع سازه به صورت رابطه زیر می‌باشد:

$$F_i = \frac{W_i h_i^k}{\sum_{j=1}^N W_j h_j^k} V \quad (1-3)$$

- به طوری که  $W_i$  و  $h_i$  به ترتیب عبارتند از وزن و ارتفاع طبقه iام در بالای تراز پایه

- N: تعداد طبقات

- k: توانی که تفاوت آئیننامه‌های لرزه‌ای را در توزیع بارگذاری نشان می‌دهد.

در بسیاری از آئیننامه‌ها از جمله (ANSI-ASCE 7-95 و NEHRP-94) با تغییر پریود سازه از ۰,۵ تا

۰,۷۵ ثانیه ضریب k بین ۱ تا ۲ تغییر می‌یابد. همچنین در بسیاری از آئیننامه‌ها از جمله UBC-97 و

۰,۲۸۰۰ نیروی جانبی طبقه با میزان از رابطه (۱-۳) محاسبه می‌شود. توسط نیروی  $F_t = 0.07 TV$

دوره تناوب اصلی سازه (T) بزرگتر از ۰,۷ ثانیه افزایش می‌یابد. به طوری که در بسیاری از حالات،

برش پایه V در رابطه (۱-۳) به وسیله  $(V - F_t)$  جایگزین می‌شود.

در این تحقیق الگوی بارگذاری جانبی مورد استفاده با تغییر مقدار k از رابطه (۱-۳) به صورت زیر

بدست خواهد آمد.

۱- الگوی بارگذاری مثلثی ( $k = 1$ )

### ۳-۵. تحلیل غیرخطی مدل‌ها

جهت تحلیل غیرخطی سازه از روش تحلیل استاتیکی غیرخطی، یا همان روش بار افزون انطباقی (Push over) تحت الگو بارگذاری جانبی مثلثی در این تحقیق استفاده گردیده تا با بررسی سازه‌های طراحی شده طبق این الگو و انجام تحلیل‌های غیرخطی تحت آن، بتوان در مورد تأثیر این پارامتر بر روی R و ضرایب مؤثر مربوط به آن (ضریب کاهش شکل پذیری و اضافه مقاومت) در این تحقیق نتیجه گرفت.

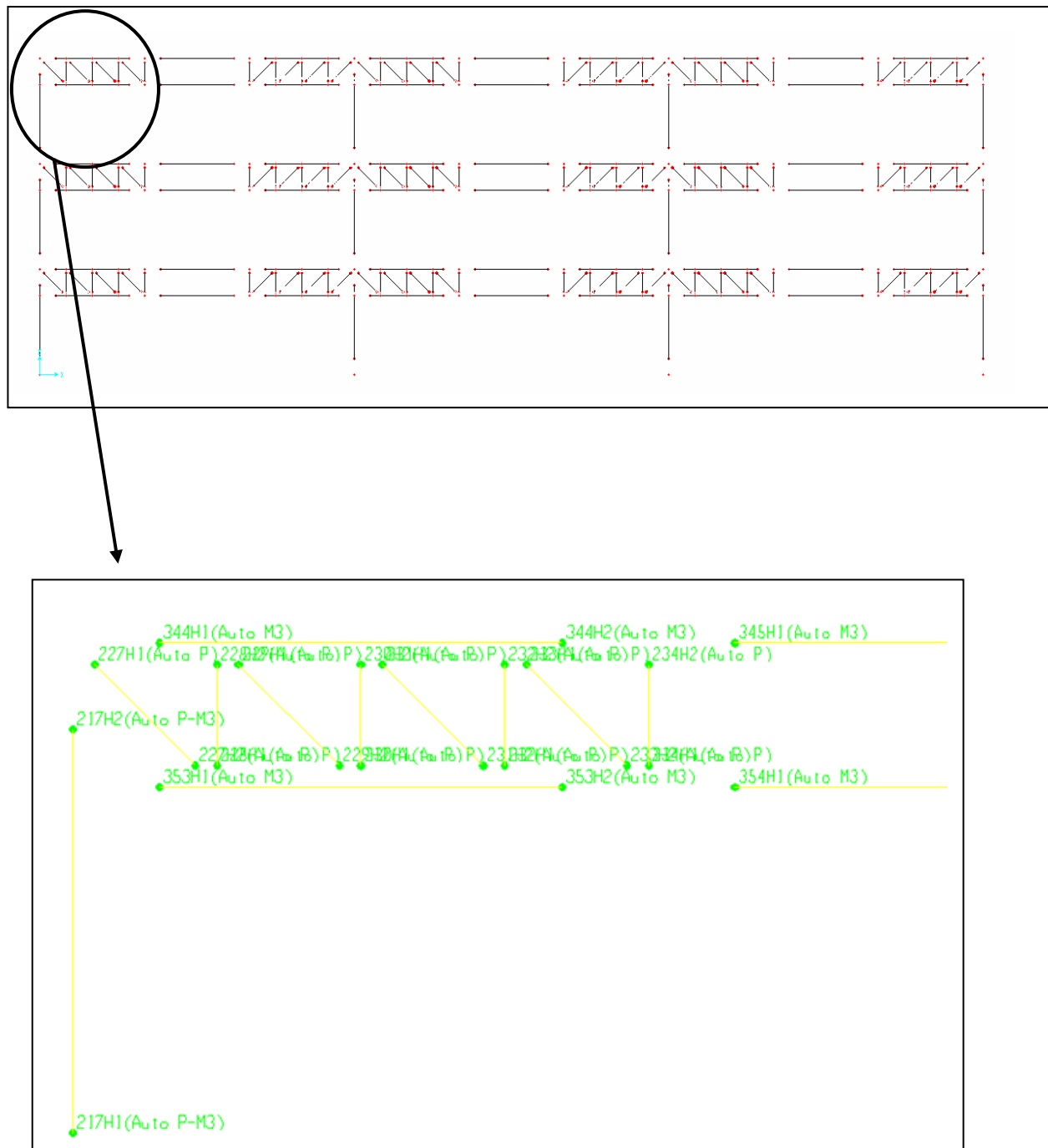
در مدل‌های موردنظر، نقطه کنترل، حداکثر پاسخ غیرخطی سازه بوده که طبق توصیه آئین نامه ۲۸۰۰ یعنی کنترل تغییر مکان نسبی طبقه، حالت چهارم تحقیق درنظر گرفته شده است. در ضمن در حین افزایش بار جهت مدل‌سازی واقعی رفتار غیرخطی سازه، سختی اعضا بی که به تسلیم رسیده‌اند در گام‌های بعدی افزایش بار دخالت داده شده‌اند. همچنین آنالیز اولیه تحت یک بارگذاری ثقلی ثابت به صورت بار مرده به طور کامل به اضافه ۲۰ درصد بار زنده برای هر نمونه قاب درنظر گرفته شده است [۲۵].

در تحلیل غیرخطی قاب‌های موردنظر آن گونه که در تحلیل غیرخطی سازه‌ها انجام می‌شود با تخصیص یا پیش‌بینی مفاصل پلاستیک مطابق آنچه در جداول آئین نامه‌های FEMA-356 [۱۸] و ATC 40 بدان اشاره شده، در محل‌های مناسب اعضای سازه یا به عبارتی نقاط حداکثر تنش، عمل تحلیل غیرخطی انجام می‌شود. پیش‌بینی مفاصل با توجه به رفتار مکانیکی مورد انتظار اعضا در قاب به شرح ذیل به آنها اختصاص یافته است.

جهت ستون‌های قاب خمشی مفصل پلاستیک (P-M<sub>3</sub>) مطابق استاندارد FEMA-356 در ابتدای و انتهای اعضا داده شده است.

جهت تیرهای خرپای ویژه قاب خمشی مفصل پلاستیک خمشی (M<sub>3</sub>) مطابق استاندارد FEMA-356 در ابتدای و انتهای اعضا داده شده است.

شکل (۴-۳) نمای اختصاص یافته مفاصل پلاستیک برای اعضای خرپا نمونه‌ای از قاب سه طبقه سه دهانه را نشان می‌دهد.

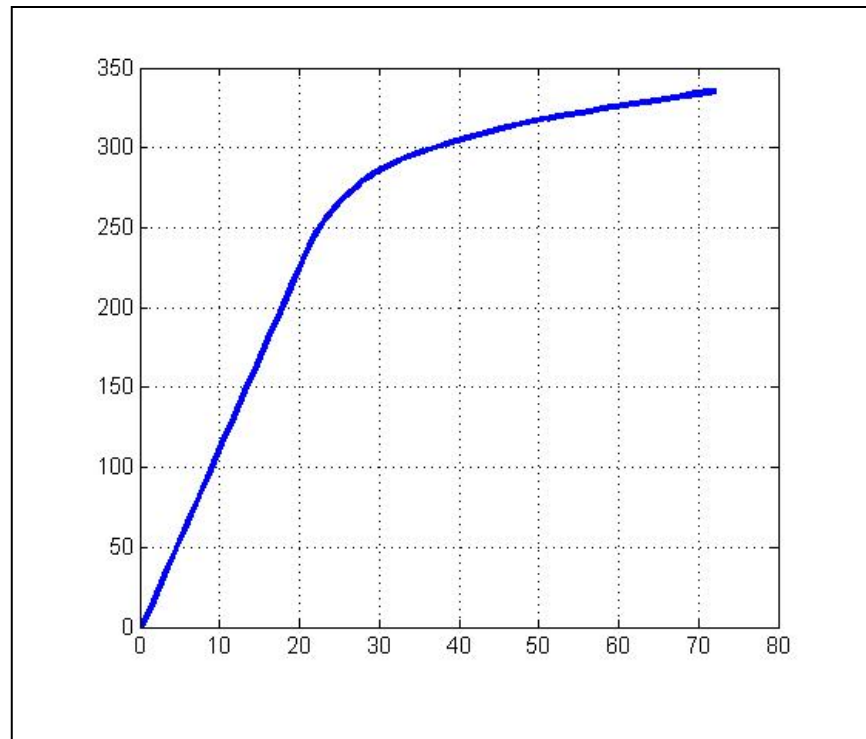


شکل (۴-۳) نمای اختصاص یافته مفاصل پلاستیک برای اعضای خرپایی ویژه ویریندل سه طبقه با سه دهانه

در بعضی مدل‌ها تجمع مفاصل پلاستیک ایجاد شده در یک محدوده از کل سازه رفتار بدی از سازه و در نتیجه ضریب رفتار نامناسب را سبب می‌شود که در این موقع با تقویت ستون آن ناحیه محل تشکیل مفاصل را به سمت کل سازه سوق می‌دهیم تا مفاصل ایجاد شده در کل سازه پخش شود. لازم به ذکر است که نرم‌افزار SAP2000 برپایه آئین‌نامه‌های FEMA-356 و ATC 40 مشخصات فیزیکی اعضای سازه را به طور خودکار براساس خصوصیات مفاصل پیش‌بینی شده تولید می‌نماید و به آنها اختصاص می‌دهد. پس از تحلیل غیرخطی سازه و ترسیم و مطالعه منحنی تحلیل بارافزون مربوطه، (منحنی تغییر مکان نقطه‌ای در تراز بام در برابر برش پایه واردہ بر سازه) نوبت به تعیین ضریب رفتار و پارامترهای مربوط به آن خواهد رسید. شکل (۳-۵) نمودار منحنی ظرفیت برش پایه- تغییر مکان نمونه‌ای از سازه سه طبقه با سه دهانه تحت الگوی بارگذاری جانبی مثلثی را نشان می‌دهد.

### ۳-۶. تعیین ضریب رفتار

برای تعیین ضریب رفتار سازه در حد تنش مجاز احتیاج به پارامترهای اضافه مقاومت  $R_s$ ، ضریب کاهش نیرو در اثر شکل‌پذیری  $\mu_R$  و ضریب تنش مجاز  $\gamma$  می‌باشد.



جابه‌جایی (میلیمتر)

شکل (۳-۵) نمودار منحنی ظرفیت سازه سه طبقه با سه دهانه تحت الگوی بارگذاری جانبی مثلثی

اضافه مقاومت، نسبت برش پایه حداکثر سازه در تحلیل غیرخطی استاتیکی به برش پایه حد اولین جاری شدن المان سازه می‌باشد. ضریب تنش مجاز نسبت برش پایه حد اولین جاری شدن المان سازه به حد برش پایه طراحی سازه می‌باشد. برای تعیین مقدار ضریب کاهش نیرو در اثر شکل‌پذیری  $\mu_R$  نیاز به تعیین شکل‌پذیری کلی سازه موردنظر می‌باشد که نسبت تغییرشکل حداکثر سازه در تحلیل غیرخطی به تغییرشکل سازه در حد جاری شدن اولین المان سازه می‌باشد.

در تحلیل غیرخطی استاتیکی بدلیل اینکه نیروهای جانبی اعمالی به سازه که از روابط آئیننامه‌ای بدست می‌آیند از تغییرشکل مود اول سازه که اکثراً مود حاکم می‌باشد بدست می‌آید، می‌توان فرض کرد که سازه چند درجه آزاد مثل یک سازه یک درجه آزاد (که با پریود اصلی آن نوسان می‌کند) رفتار خواهد کرد. بدین منظور می‌توان مقدار ضریب کاهش نیرو در اثر شکل‌پذیری را از روابط بدست آمده برای سازه یک درجه آزاد (با توجه به شکل‌پذیری سازه و پریود اصلی آن) بدست آورد. روابط متعددی برای تعیین ضریب کاهش نیرو در اثر شکل‌پذیری با توجه به شکل‌پذیری و پریود سازه یک درجه آزاد ارائه شده است که در فصل دوم به تفصیل درباره آنها توضیح داده شد. در اینجا از رابطه‌ای ساده که به این منظور توسط ناسار و کراوینکلر و براساس مطالعات آماری بر روی ۳۹۰۰۰ رکورد زمین‌لرزه پیشنهاد شده است استفاده می‌شود.

$$R_{\mu} = [c(\mu - 1) + 1]^{\frac{1}{C}} \quad (3-3)$$

که

$$C(T, \alpha) = \frac{T^a}{1 + T^a} + \frac{b}{T} \quad (4-3)$$

$\alpha$  مقدار سخت‌شوندگی کرنشی است و مقدار  $a$  و  $b$  برای  $a = 0.975$  و  $b = 0.36$  می‌باشد. نمودار رابطه فوق در شکل (۴-۳) نشان داده شده است.

با تعیین ضرائب  $R_{s0}$ ،  $R_{s1}$  و  $R_{\mu}$  به شرح فوق می‌توان ضریب رفتار سازه را از فرمول بدست آورد. تغییریافته رابطه فوق براساس پارامترهای جدید به صورت رابطه زیر خواهد بود:

$$R_w = \gamma \cdot R_{\mu} \cdot R_{s1} \quad (5-3)$$

### ۷-۳. روش بررسی قابها

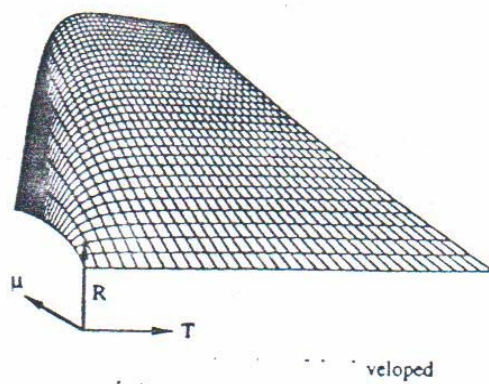
قابهای مورد بررسی ابتدا با توجه به بارهای وارد طراحی شده‌اند و تحت اثر بارهای جانبی

آئین نامه‌ای، یک تحلیل غیرخطی استاتیکی شده‌اند. با توجه به نتایج تحلیل غیرخطی مشخصات سازه

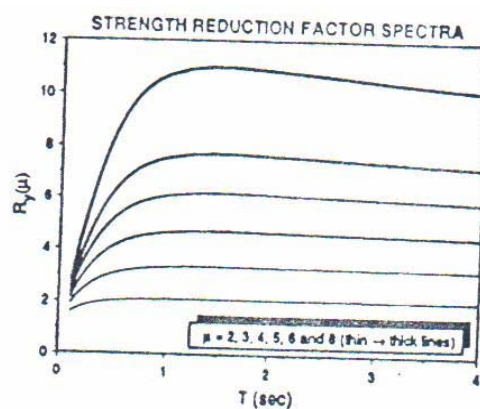
از قبیل شکل پذیری کلی، ضرائب اضافه مقاومت آنها تعیین شده‌اند.

مطالعات نشان می‌دهند که می‌توان با توجه به برخی از نتایج تحلیل غیرخطی استاتیکی مانند

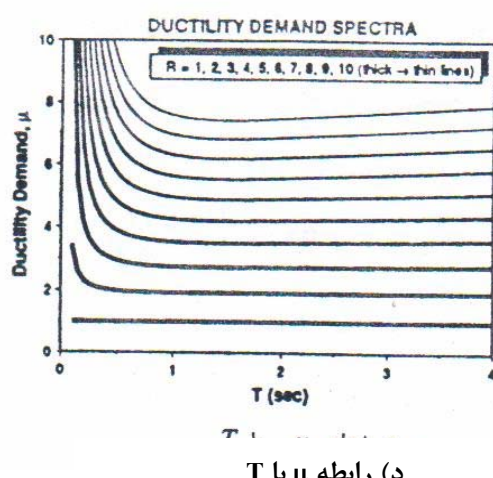
شکل پذیری کلی سازه و اضافه مقاومت قابها، رفتار آنها را تحت زلزله پیش‌بینی کرد [۲۷].



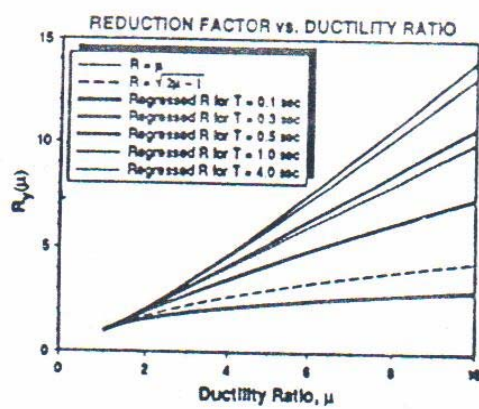
ب) نمای سه‌بعدی رابطه



الف) رابطه R با



د) رابطه μ با



ج) رابطه R با

شکل (۶-۳):  $R-T-\mu$  ارایه شده توسط کراوینکلر [۱۴]

# **فصل چهارم:**

# **محاسبه و استخراج نتایج**

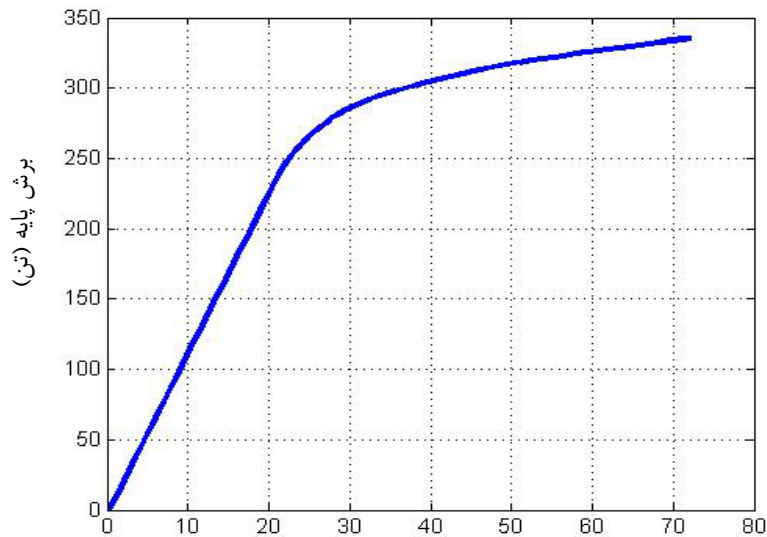
## ۱-۴. مقدمه

براساس آنچه در فصل سوم ارائه شد در این فصل به بررسی نمونه‌های متعدد در دو حالت قاب خمشی فولادی خرپایی ویژه با قطریهای ضربدری و قاب خمشی فولادی خرپایی ویژه ویرندیل با استفاده از تحلیل استاتیکی غیرخطی (Pushover) تحت الگوهای بارگذاری جانبی مثلثی پرداخته شده است.

ضمناً برای تعیین ضریب رفتار  $R$  و پارامترهای موثر مربوط به آن (شکل‌پذیری و اضافه مقاومت، نمونه‌هایی ویژه ضریب رفتار ( $R$ ) و پارامترهای مربوط به آن تعیین شده است. نهایتاً نتایج نمونه‌های طراحی شده با قاب خمشی فولادی خرپایی ویژه با قطریهای ضربدری و قاب خمشی فولادی خرپایی ویژه ویریندل در جداول و اشکال مربوطه نشان داده شده است.

## ۲-۴. مثال نمونه

به عنوان نمونه، سازه سه طبقه با سه دهانه طراحی شده با قاب خمشی فولادی خرپایی ویژه ویریندل تحت الگوی بارگذاری مثلثی ( $k=1$ ) مورد تحلیل استاتیکی غیرخطی قرار گرفته و پس از تحلیل قاب مدل مرجع و مشاهده ترتیب تشکیل مفاصل پلاستیک نمودار بار افزون به صورت شکل (۴-۱) بدست آمده است. در اولین گام با فرض ضریب رفتار پیشنهادی سازه‌ها برابر عدد ۴، نیروی طراحی سازه بدست آمده است و بر همین اساس تحلیل و طراحی انجام شده است.



جابه‌جایی بام (سانتی‌متر)

شکل (۱-۴): نمودار منحنی بار-تغییر مکان سازه STM3-3-- تحت الگوی بارگذاری جانبی مثلثی و  $R=6$

نقاط کلیدی سازه‌ها توجه با ارقام بدست آمده از جداول و نمودارهای بارافزون به شرح جدول (۱-۴) می‌باشد.

جدول (۱-۴): نقاط کلیدی سازه سه طبقه با سه دهانه طراحی شده با قاب خمشی فولادی خرپایی ویژه ویرندیل و  $R=6$

تحلیل خطی $R=6$		اولین مفصل پلاستیک		نقطه تسلیم کلی سازه	
$V_d$ (ton)	$\Delta_d$ (cm)	$V_s$ (ton)	$\Delta_s$ (cm)	$V_y$ (ton)	$\Delta y$ (cm)
72.2	9.64	110	16.1	133.49	22.01

در جدول فوق به جز نقطه تسلیم کلی سازه، دیگر نقاط کلیدی از روی تغییر شکل سازه تحت آنالیز بارافزون استخراج شده است. نقطه تسلیم کلی سازه‌ها از نمودار دو خطی ایده‌آل‌سازی شده (منحنی بار-تغییر مکان) به طور کلی سطح زیر نمودار منحنی بار-تغییر مکان و منحنی ایده‌آل‌سازی شده دو خطی برابر باشد (ظرفیت جذب انرژی بکسان)، بدست خواهد آمد [۱۳].

پارامترهای جدول (۱-۴) عبارتند از:

$V_d$ : برش پایه طراحی سازه براساس R پیشنهادی آییننامه (در شروع)

$\Delta_d$ : تغییر مکان سازه در حالت خطی

$V_s$ : برش پایه نظیر تشکیل اولین مفصل پلاستیک در سازه

$\Delta_s$ : تغییر مکان نظیر تشکیل اولین مفصل پلاستیک در سازه

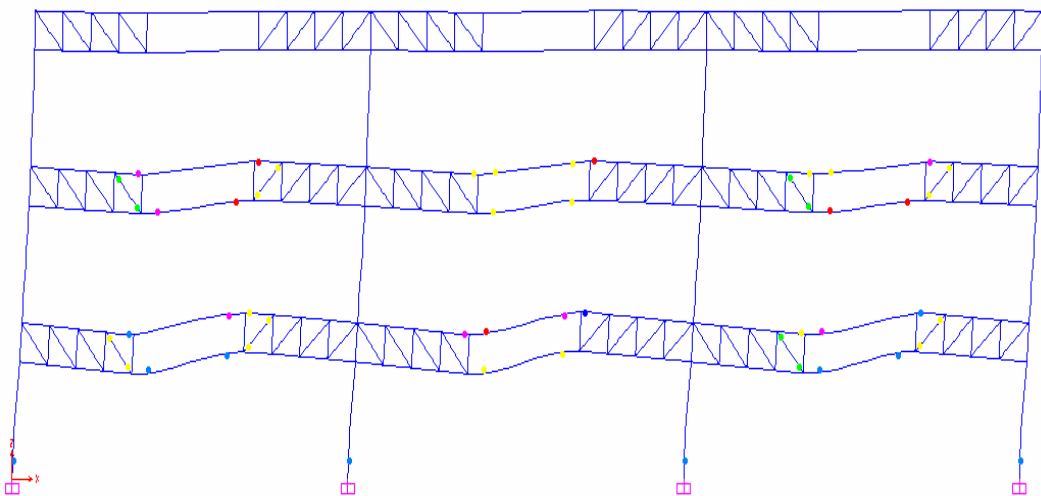
$V_y$ : برش پایه متناظر با تشکیل تسلیم کلی در سازه

$\Delta_y$ : تغییر مکان متناظر با تشکیل تسلیم کلی در سازه

به منظور درک بهتر رفتار غیرخطی سازه شکل تغییر مکان سازه تحت بار فزاینده (تحلیل بار افزون)

در شکل (۲-۴) نشان داده شده است. در این شکل تغییر مکان نهایی که در آن تغییر مکان و نیروی

برش پایه نظیر، باعث ایجاد مکانیزم خرابی در سازه شده، نشان داده شده است.



شکل (۲-۴): تغییر شکل و مفصل تشکیل شده در نمونه STM3-3-- Vierendeel تحت الگوی بارگذاری مثلثی و  $R=6$

برای مطالعه بر روی ضریب رفتار قابهای خمشی فولادی خرپایی ویژه که تحت الگوهای بارگذاری جانبی مثلثی قرار گرفته‌اند به دنبال مولفه‌های موثر بر آن یعنی فاکتورهای شکل‌پذیری، اضافه مقاومت

موجود در سازه طراحی شده ( $R_s$ ) می‌باشیم. جهت محاسبه موارد یاد شده به اعداد  $\Delta_y$ ,  $\Delta_s$ ,  $V_y$  و  $V_d$  از جدول (۱-۴) نیازمند خواهیم بود. جهت محاسبه ضریب شکل‌پذیری در این تحقیق از روابط ناسار و کراوینکلر استفاده شده است. همانطور که مشخص است، به همانند استفاده از رابطه یانگ [۸] در تعیین شکل‌پذیری، به علت همخوانی پارامترها با آئیننامه ۲۸۰۰ و در راستای اعمال پارامترهای بیشتر و دقیق‌تر حاکم، این روابط انتخاب شده‌اند. با در نظر گرفتن ۳٪ ضریب سخت شوندگی کرنشی برای فولاد مصرفی پس از محاسبه زمان تناوب اصلی سازه جهت ضریب شکل‌پذیری

داریم:

$$R_\mu = [C(\mu - 1) + 1]^{\frac{1}{C}} \quad (1-4)$$

$$C(T, \alpha) = \frac{T^a}{1 + T^a} + \frac{b}{T} \quad (2-4)$$

ضرایب  $a$  و  $b$  وابسته به ضریب سخت‌شوندگی کرنشی ( $\alpha = 0.36$ ) بوده که به ترتیب برابر  $0.975$  و  $0.75$  می‌باشند.

$$H = 18 \Rightarrow T = 0.08H^{\frac{3}{4}} \rightarrow T = 0.7 \text{ sec} \Rightarrow C(T, \alpha) = 0.928$$

برای مثال مورد بررسی پارامترهای ضریب رفتار به شرح جدول (۲-۴) به دست می‌آید:

جدول (۲-۴): ضریب رفتار و پارامترهای مربوط به سازه STM 3-3- V تحت الگوی بارگذاری مثلثی

تعداد طبقه	الگوی بارگذاری	$\mu$	$R_\mu$	$R_s$	$R_{s1}$	$R_{s2}=\gamma$	$R_w$
3	(K=1) مثلثی	1.48	1.46	1.2	1.386	1.44	2.92

آنگونه که مشاهده می‌شود با فرض اولیه ضریب رفتار سازه برابر عدد ۶، ضریب رفتار محاسبه شده برابر  $2/92$  به دست می‌آید. لذا ضریب رفتار انتخاب شده با ضریب رفتار واقعی سازه و یا در کلام دیگر با رفتار غیرخطی واقعی سازه اختلاف دارد. البته نحوه طراحی سازه و مقاطع انتخاب شده که خود را در ضرایب تنش مجاز و اضافه مقاومت نشان می‌دهند در نحوه توزیع مفاصل پلاستیک در تحلیل بارافزون و متعاقباً در شکل‌پذیری و رفتار غیرخطی سازه تأثیر به سزاوی داشته و لذا در

سازه‌های مختلف و حتی در سعی‌های مختلف بر روی یک سازه مشخص گاهًا نتایج پراکنده‌ای را که از نظم خاصی تبعیت نمی‌کنند، نشان می‌دهند.

در نهایت برای سازه مزبور با تغییر و انتخاب ضریب رفتار از ۶ به ۲/۹۲ تحلیل و طراحی مجدد مطابق آنچه در پیش گفته شد سازه مجددًا تحلیل بارافزون می‌گردد. عملیات ذکر شده تا همگرایی جواب‌ها که در اینجا ضریب رفتار غیرخطی سازه می‌باشد ادامه پیدا می‌کند. برای قاب خمثی فولادی خرپایی ویژه ویرندیل سه طبقه با سه دهانه طراحی شده با مقاطع ایرانی تحت الگوی بارگذاری مثلثی (K=1) پس از پنج بار تحلیل و طراحی خطی و تحلیل غیرخطی و کنترل نتایج، همگرایی اتفاق می‌افتد. نتیجه نهایی تعیین ضریب رفتار برای نمونه معرفی شده در جدول (۳-۴) نشان داده شده است. به همین ترتیب نتایج ضریب شکل پذیری برای قابهای خمثی خرپایی ویژه ۴ الی ۸ طبقه با دو سیستم ناحیه میانی ویژه ویرندیل و با قطرهای ضربدری در جداول (۳-۴) و (۴-۴) نشان داده شده است.

#### ۴-۳. برآورد ضریب رفتارسازه با معیار کنترل تغییر مکان نسبی طبقه

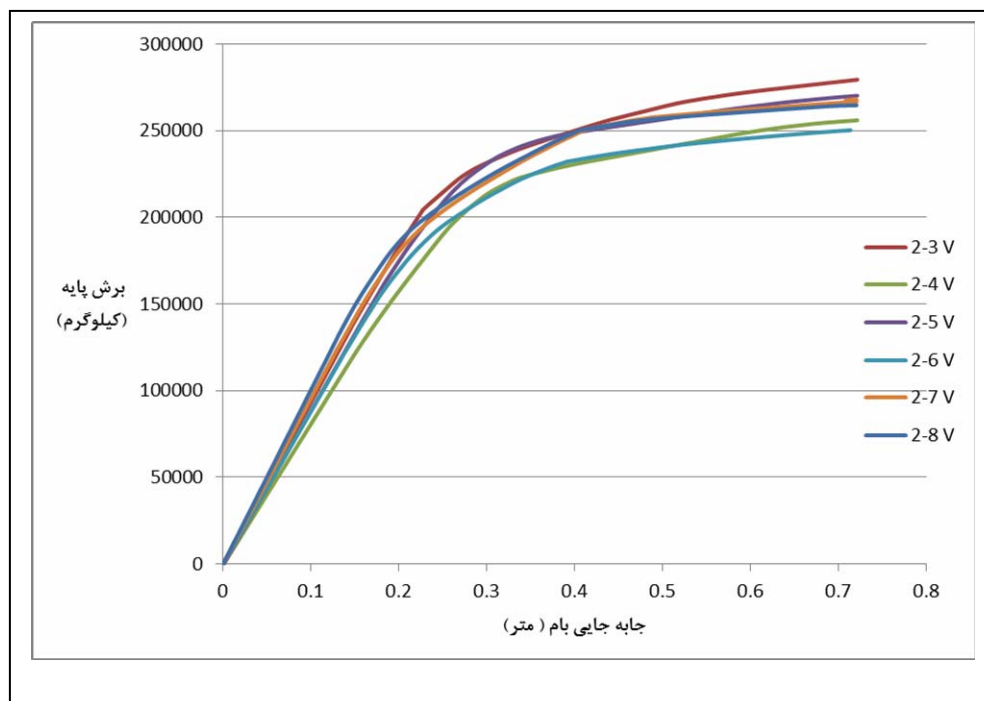
با توجه به دو نوع قاب خمثی فولادی خرپایی ویژه ویرندیل و قطرهای ضربدری بکار گرفته شده در طراحی، در این قسمت ابتدا به نتایج آنالیز مربوط به سازه‌های طراحی شده با قاب خمثی فولادی خرپایی ویژه ویرندیل پرداخته، سپس در ادامه به شرح نتایج آنالیز مربوط به سازه‌های طراحی شده با قاب خمثی فولادی خرپایی ویژه با قطرهای ضربدری پرداخته می‌شود.

#### ۴-۳-۱. خلاصه نتایج آنالیز استاتیکی غیرخطی در حالت استفاده از قاب خمثی فولادی خرپایی ویژه ویرندیل

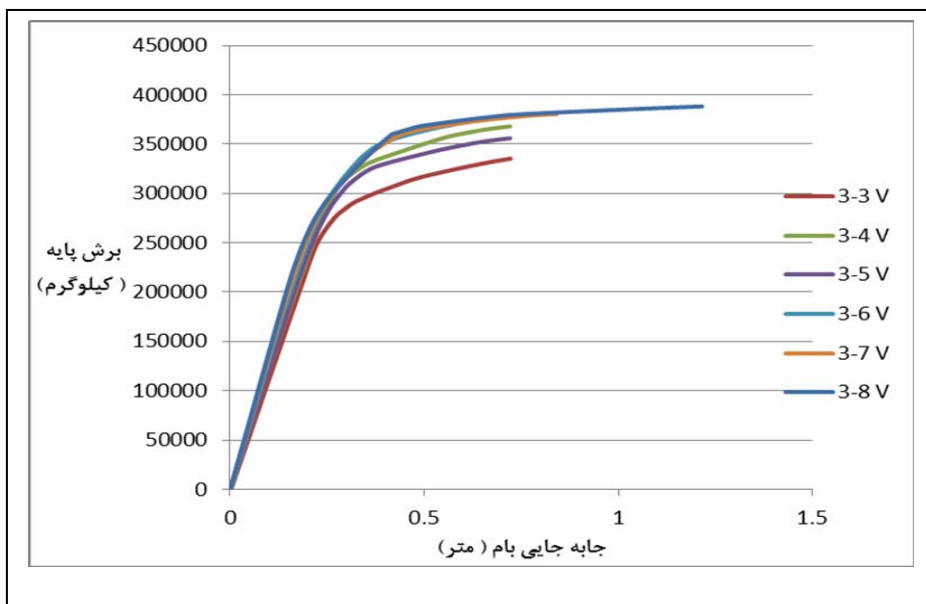
به استناد مطالب و نتایج ارائه شده در بخش‌های قبل و فصل سوم، نتایج حاصل از آنالیز استاتیکی غیرخطی نمونه‌ها به شرح ذیل ارائه می‌گردد:

### ۱-۳-۴. منحنی ظرفیت

شکل (۳-۴) منحنی‌های ظرفیت حاصل شده از انجام تحلیلهای غیرخطی استاتیکی بر روی مدل‌های دو دهانه و شکل (۴-۴) منحنی‌های ظرفیت مدل‌های سه دهانه را برای حالت بارگذاری مثلثی نشان می‌دهد.



شکل (۴-۳) : منحنی برش پایه-تغییر مکان برای STM 2-n Vierendeel تحت الگو بارگذاری جانبی مثلثی



شکل (۴-۴): منحنی برش پایه-تغییر مکان برای STM 3-n Vierendeel تحت الگو بارگذاری جانبی مثلثی

در جداول (۳-۴) و (۴-۴) مقادیر شکل پذیری، اضافه مقاومت و ضریب کاهش نیرو در اثر شکل پذیری و ضرایب رفتار محاسبه شده برای قاب های خمی فولادی خرپایی ویژه ویرندیل با ۲ و ۳ دهانه نشان داده شده است.

جدول (۳-۴): خلاصه نتایج آنالیز استاتیکی غیرخطی سازه های دو دهانه طراحی شده با قاب خمی فولادی خرپایی ویژه ویرندیل تحت بارگذاری جانبی مثلثی

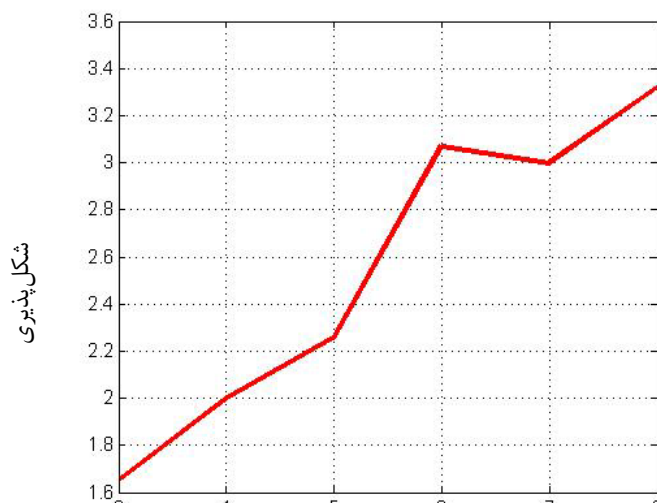
تعداد طبقات	$R_s$	$R_{s1}$	$\mu$	$R_\mu$	$R_w$
3	1.61	1.86	1.65	1.46	3.94
4	1.66	1.86	2	1.92	5.33
5	1.66	1.92	2.26	2.14	5.93
6	1.66	1.92	3.07	2.8	7.77
7	1.66	1.92	3	2.74	7.6
8	1.66	1.92	3.32	2.99	8.3

جدول (۴-۴): نتایج آنالیز استاتیکی غیرخطی سازه‌های سه دهانه طراحی شده با قاب خمشی فولادی خرپایی ویژه ویرندیل تحت بارگذاری جانبی مثلثی

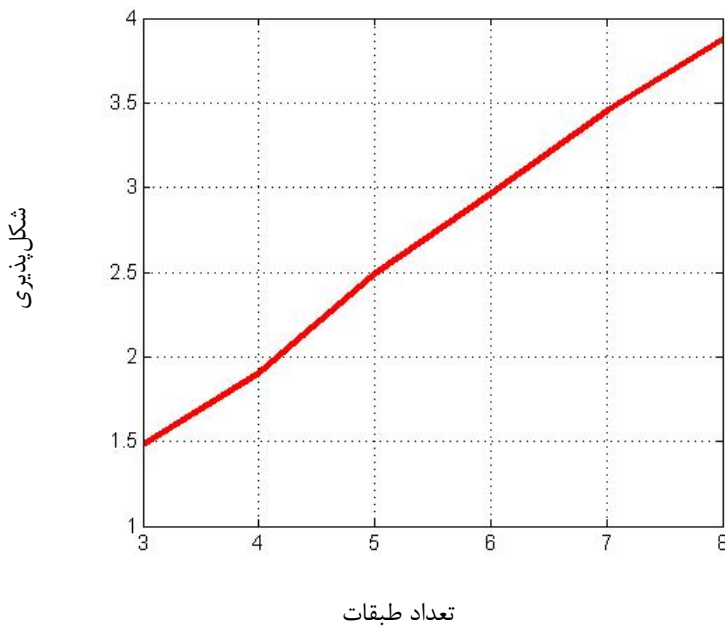
تعداد طبقات	$R_s$	$R_{s1}$	$\mu$	$R_\mu$	$R_w$
3	1.19	1.37	1.48	1.46	2.89
4	1.48	1.71	1.9	1.85	4.57
5	1.64	1.89	2.49	2.33	6.35
6	1.91	2.2	2.96	2.71	8.62
7	2.03	2.34	3.45	3.1	10.48
8	2.2	2.54	3.87	3.42	12.53

#### ۴-۳-۲-۱. تحلیل نتایج

در شکل (۴-۵) و (۶-۴) نمودار شکل‌پذیری قابهای دو دهانه و سه دهانه طراحی شده با قاب خمشی فولادی خرپایی ویژه ویرندیل نشان داده شده است. نتایج نشان می‌دهد که با افزایش تعداد طبقات از ۳ طبقه تا ۵ طبقه شکل‌پذیری قاب خمشی دو دهانه با یک شیب ثابت افزایش یافته اما در طبقه ششم افزایش قابل ملاحظه‌ای دارد و در سازه ۷ طبقه و ۸ طبقه نیز با همان شیب اولیه افزایش می‌یابد. شکل‌پذیری قاب خمشی سه دهانه با افزایش تعداد طبقات از ۳ طبقه تا ۸ طبقه با یک شیب ثابت افزایش می‌یابد. به طور کلی شکل‌پذیری سازه با افزایش ارتفاع افزایش می‌یابد.

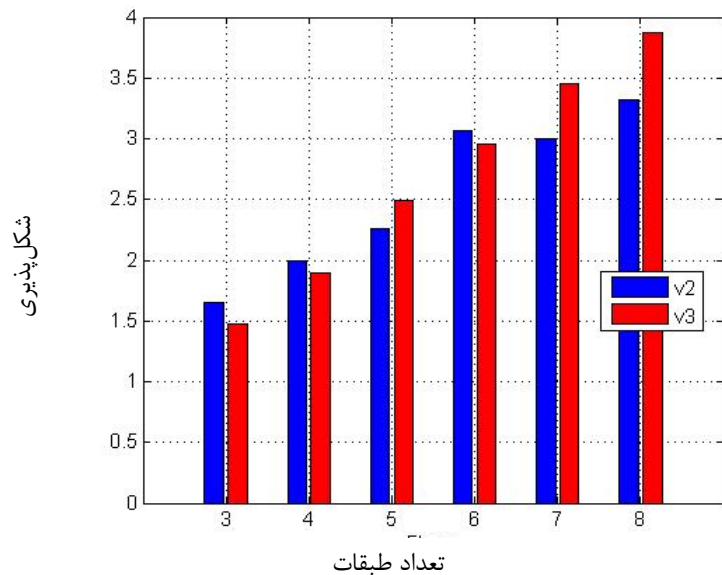


شکل (۴-۵): نمودار شکل پذیری سازه‌های دو دهانه طراحی شده با قاب خمشی فولادی خرپایی ویژه ویرندیل



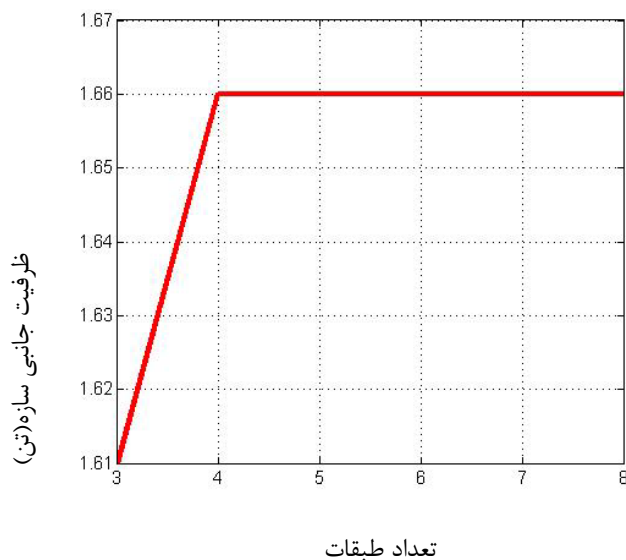
شکل (۴-۶): نمودار شکل پذیری سازه‌های سه دهانه طراحی شده با قاب خمشی فولادی خرپایی ویژه ویرندیل

در شکل (۷-۴) مقادیر شکل پذیری برای قاب‌های دو دهانه و سه دهانه تحت الگوی بارگذاری مثلثی نشان داده شده است. ملاحظه می‌شود که شکل پذیری بدست آمده برای قاب‌های دو و سه دهانه دارای اختلاف کمی بوده، و در طبقات بالاتر که مقدار آن برای قاب سه دهانه بیشتر از قاب دو دهانه می‌باشد. ضمناً نتایج نشان می‌دهد که شکل پذیری سازه برای تمام قابها با افزایش تعداد طبقات به میزان قابل توجهی افزایش می‌یابد.

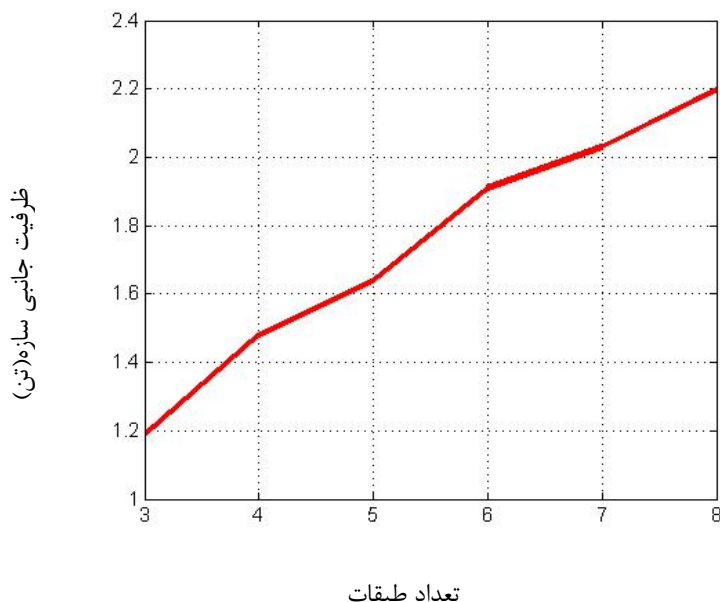


شکل (۷-۴): مقایسه شکل پذیری سازه‌های طراحی شده با قاب خمshi فولادی خرپایی ویژه ویرندیل

در اشکال (۸-۴) و (۹-۴) نمودار ظرفیت جانبی سازه ( $R_s$ ) قاب دو و سه دهانه نشان داده شده است. نتایج نشان می‌دهد که با افزایش ارتفاع سازه ظرفیت جانبی سازه برای قاب سه دهانه با شبیث ثابتی افزایش می‌یابد این امر به دلیل حاکم شدن نیروهای جانبی بر نیروهای ثقلی با افزایش ارتفاع سازه می‌باشد. اما در قاب دو دهانه از طبقه ۴ تا ۸ افزایشی در ظرفیت جانبی سازه مشاهده نمی‌شود.

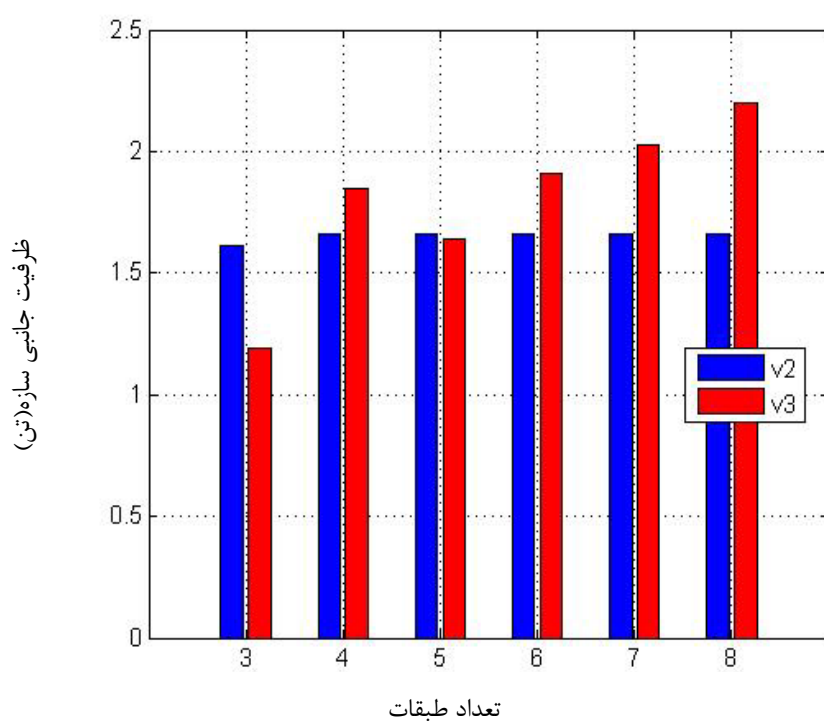


شکل (۸-۴): نمودار ظرفیت جانبی سازه‌های دو دهانه طراحی شده با قاب خمshi فولادی خرپایی ویژه ویرندیل



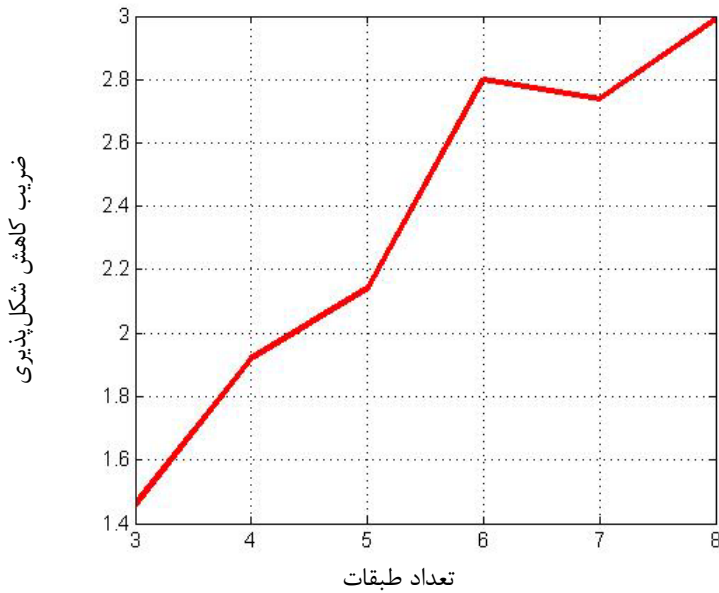
شکل (۹-۴): سازه‌های سه دهانه طراحی شده با قاب خمshi فولادی خرپایی ویژه ویرندیل

در شکل (۱۰-۴) ظرفیت جانبی سازه قابهای دو و سه دهانه رسم شده است. بیشترین مقدار ظرفیت سازه مربوط به قاب سه دهانه ۸ طبقه می‌باشد.

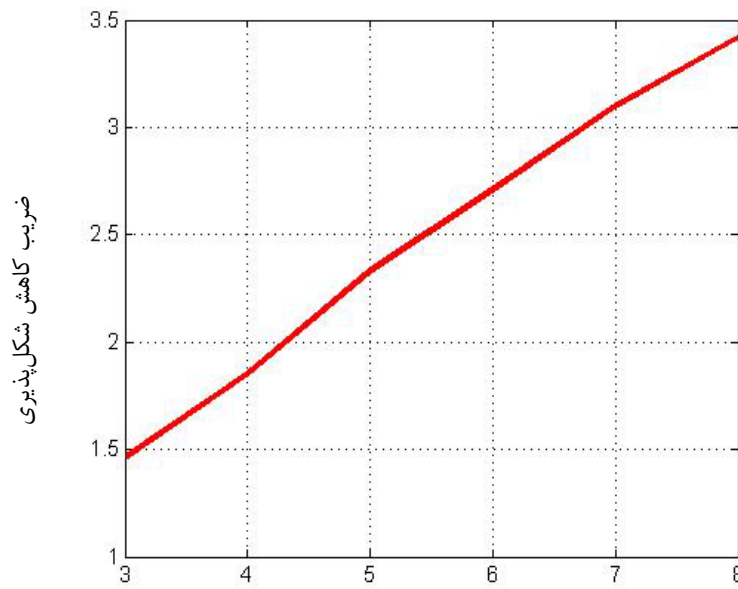


شکل (۱۰-۴): مقایسه متوسط ظرفیت جانبی سازه‌های طراحی شده با قاب خمshi فولادی خرپایی ویژه ویرندیل

در اشکال (۱۱-۴) و (۱۲-۴) نمودار ضریب کاهش نیرو در اثر شکل‌پذیری قاب‌های دو دهانه و سه دهانه نشان داده شده است. ملاحظه می‌شود که نتایج کاملاً مشابه با شکل‌پذیری سازه می‌باشد.



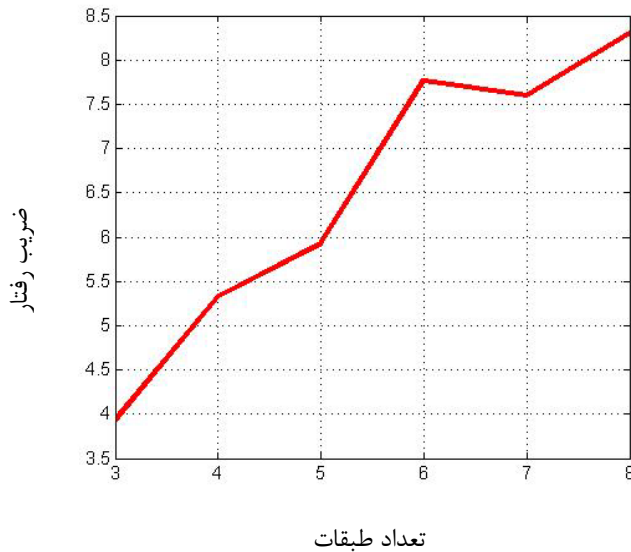
شکل (۱۱-۴): نمودار ضریب کاهش نیرو با افزایش ارتفاع قاب خمسمی فولادی خربایی ویژه ویرندیل دو دهانه



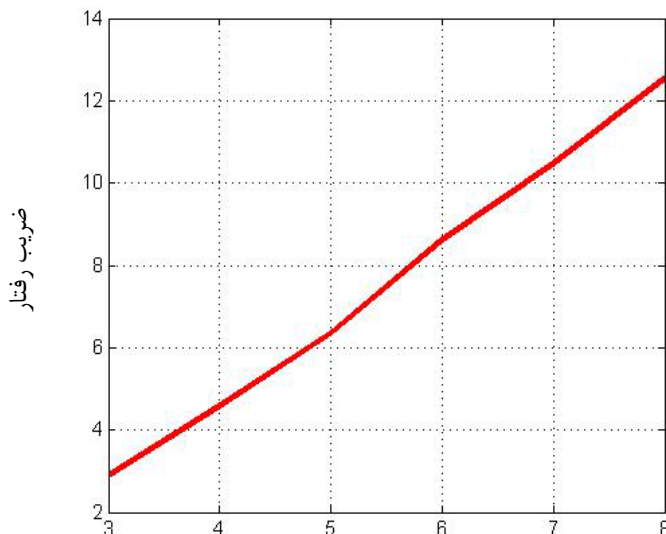
شکل (۱۲-۴): نمودار ضریب کاهش نیرو با افزایش ارتفاع قاب خمسمی فولادی خربایی ویژه ویرندیل سه دهانه

در اشکال (۱۳-۴) و (۱۴-۴) نمودار ضریب رفتار ( $R$ ) برای قابها نشان داده شده است. ملاحظه می‌شود که مقادیر ضریب رفتار برای قاب دو دهانه با افزایش تعداد طبقات (۳ طبقه تا ۵ طبقه و ۷ تا ۸ طبقه) با شبیث ثابتی افزایش و در سازه ۶ طبقه مقدار آن به مقدار قابل ملاحظه‌ای افزایش می‌یابد. همچنانین

در قاب سه دهانه ویریندل با افزایش تعداد طبقات (۳ طبقه تا ۸ طبقه) با شیب ثابتی افزایش می‌یابد. ضمناً مقادیر بدست آمده برای تمامی قابهای ویریندل و برای طبقات ۳ تا ۵ کمتر از مقادیر ضریب رفتار آئین نامه‌ای ( $R=6$ ) و برای طبقات ۶ تا ۸ بیشتر از مقادیر ضریب رفتار آئین نامه‌ای ( $R=6$ ) می‌باشد.

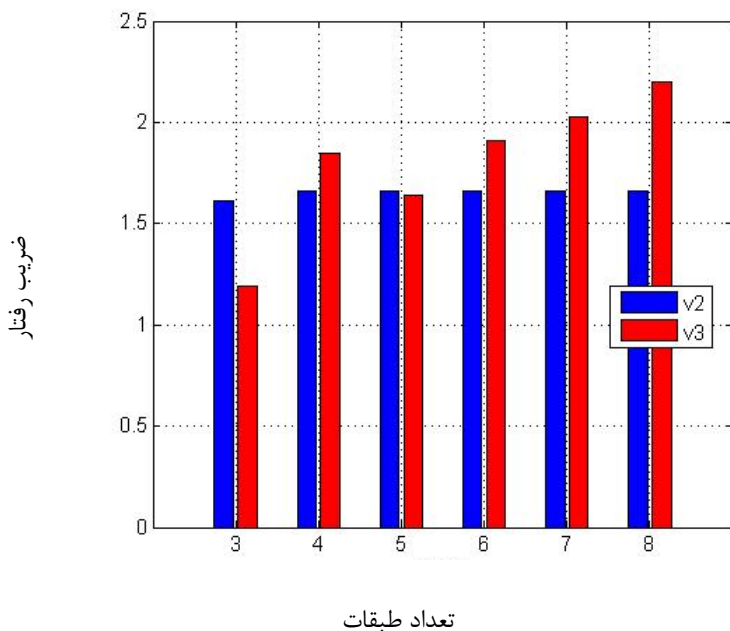


شکل (۱۳-۴): نمودار ضریب رفتار سازه‌های دو دهانه طراحی شده با قاب خمشی فولادی خربایی ویژه ویرندیل



شکل (۱۴-۴): نمودار ضریب رفتار سازه‌های سه دهانه طراحی شده با قاب خمشی فولادی خربایی ویژه ویرندیل

در شکل (۱۵-۴) متوسط مقادیر ضریب رفتار سازه‌ها دو دهانه و سه دهانه نشان داده شده است. نتایج نشان می‌دهد که متوسط مقادیر بدست آمده مقادیر ضریب رفتار سازه ۳ تا ۵ طبقه قاب سه دهانه ویریندل از مقادیر متناظر قاب دو دهانه کمتر و مقادیر ضریب رفتار سازه ۶ تا ۸ طبقه قاب سه دهانه ویریندل از مقادیر متناظر قاب دو دهانه بیشتر است. است. ضمناً مقدار ضریب رفتار تقریباً با افزایش تعداد دهانه (درجه نامعینی) افزایش می‌یابد.



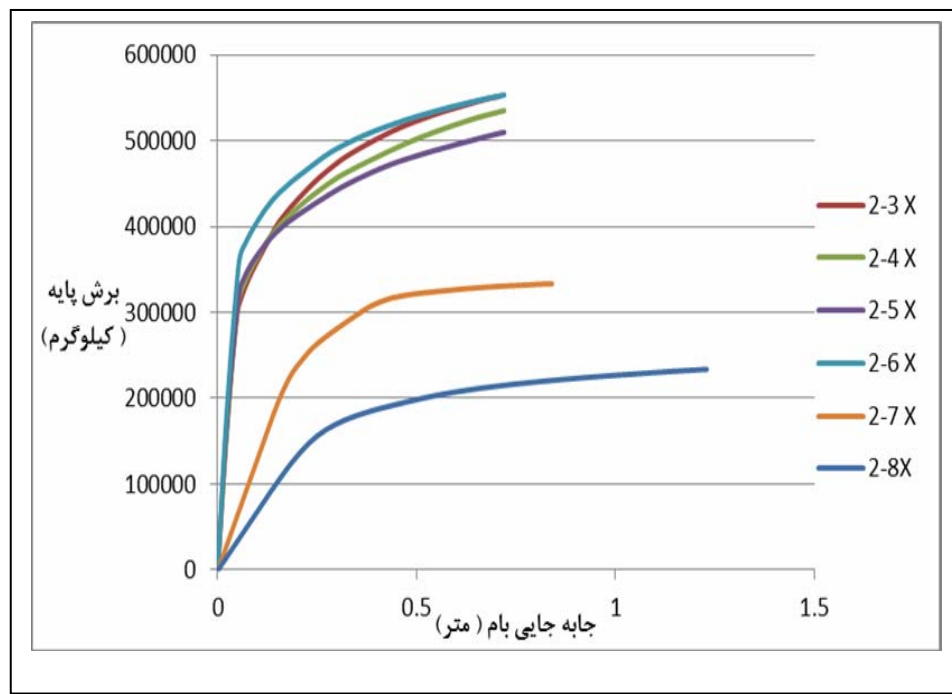
شکل (۱۵-۴): نمودار مقایسه ضریب رفتار سازه‌های طراحی شده با قاب خمشی فولادی خرپایی ویژه ویرندل

**۲-۳-۴. خلاصه نتایج آنالیز استاتیکی غیرخطی در حالت استفاده از قاب خمشی فولادی خرپایی ویژه با قطریهای ضربدری**

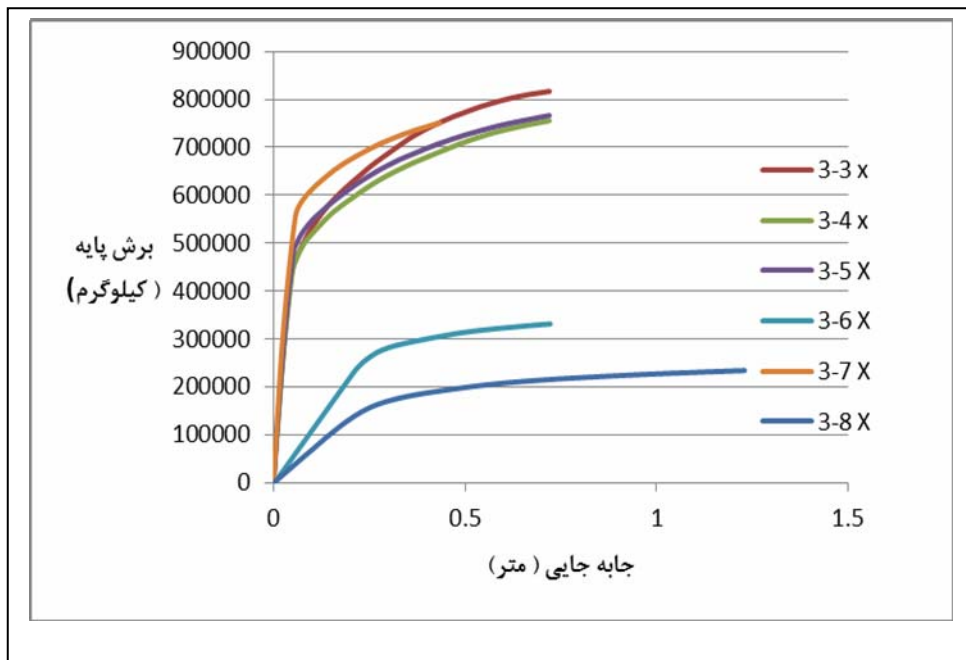
با توجه به مثال عنوان شده در این فصل که مراحل تعیین ضریب رفتار را به طور کامل بیان نمود. به ارائه نتایج آنالیز غیر خطی نمونه‌های طراحی شده با قاب خمشی فولادی خرپایی ویژه با قطریهای ضربدری پرداخته شده است.

#### ۱-۲-۳-۴ منحنی ظرفیت (نیرو- تغییر مکان سازه)

شکل (۱۶-۴) منحنی‌های ظرفیت حاصل شده از انجام تحلیلهای استاتیکی غیرخطی بر روی مدل‌های دو دهانه و شکل (۱۷-۴) منحنی‌های ظرفیت حاصل شده از انجام تحلیلهای استاتیکی غیرخطی بر روی مدل‌های سه دهانه را نشان می‌دهد. با ملاحظه نمودارها کاملاً مشخص است که بیشترین مقدار برش پایه و کمترین مقدار جابه‌جایی مربوط به الگوی بارگذاری مستطیلی و کمترین مقدار برش پایه مربوط به الگوی بارگذاری مستطیلی اصلاح شده می‌باشد.



شکل (۱۶-۴): منحنی برش پایه - تغییر مکان سازه STM 2-n-X تحت الگوی بارگذاری مثلثی



شکل (۴-۱۷): منحنی برش پایه - تغییر مکان سازه STM 3-n-X تحت الگوی بارگذاری مثلثی

در جداول (۴-۵) و (۶-۴) مقادیر ضریب رفتار و پارامترهای مؤثر مربوط به آن (شکل پذیری، اضافه مقاومت، ضریب کاهش شکل پذیری) سازه های طراحی شده با قاب خمشی فولادی خرپایی ویژه با قطری های ضربدری نشان داده شده است.

جدول (۴-۵): خلاصه نتایج آنالیز استاتیکی غیرخطی سازه های دو دهانه طراحی شده با قاب خمشی فولادی خرپایی ویژه با قطری های ضربدری

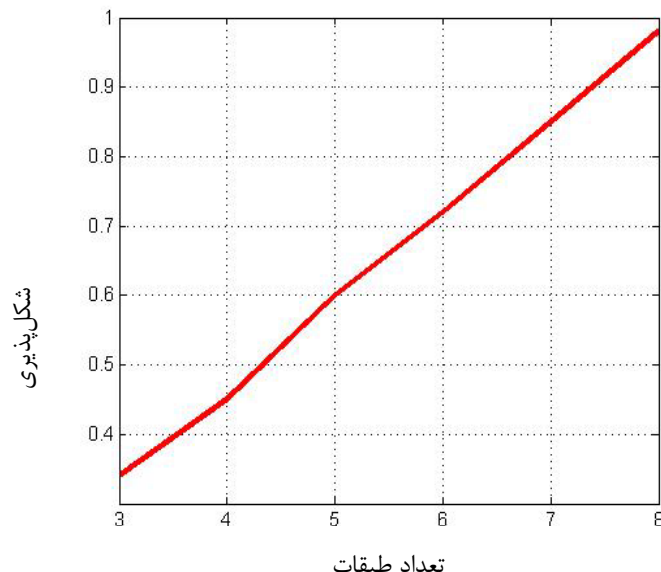
تعداد طبقات	$R_s$	$R_{s1}$	$\mu$	$R_\mu$	$R_w$
3	6.4	7.39	0.34	0.26	2.76
4	6.43	7.426	0.45	0.42	4.3
5	5.58	6.44	0.6	0.62	6.15
6	6.01	6.94	0.72	0.71	7.15
7	5.44	6.28	0.85	0.847	7.67
8	4.87	5.625	0.98	0.987	8.01

جدول (۶-۴): خلاصه نتایج آنالیز استاتیکی غیرخطی سازه‌های سه دهانه طراحی شده با قاب خمشی فولادی خرپایی ویژه با قطریهای ضربدری

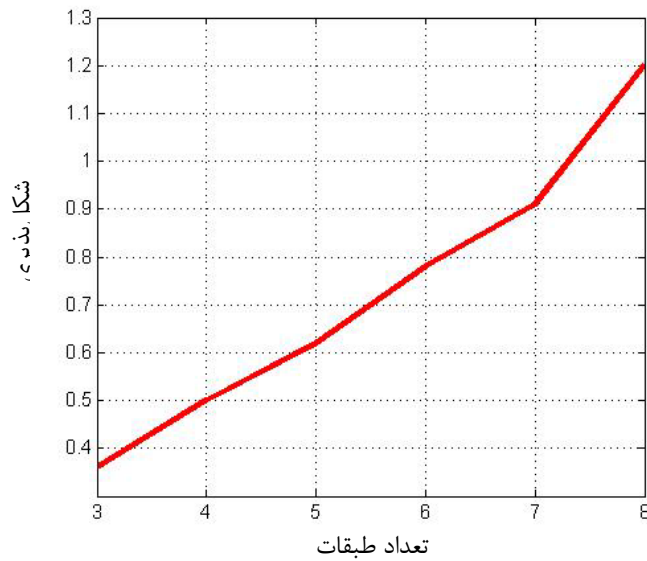
تعداد طبقات	$R_s$	$R_{s1}$	$\mu$	$R_\mu$	$R_w$
3	6.5	7.51	0.36	0.27	2.92
4	6.3	7.27	0.5	0.47	4.99
5	5.54	6.39	0.62	0.6	5.53
6	5.87	6.78	0.78	0.76	7.43
7	5.71	6.59	0.91	0.9	8.65
8	5.14	5.94	1.2	1.19	10.27

## ۲-۳-۴. تحلیل نتایج

در اشکال (۱۸-۴) تا (۱۹-۴) نمودار شکل پذیری قاب طراحی شده با قاب خمشی فولادی خرپایی ویژه با قطریهای ضربدری نشان داده شده است؛ نتایج نشان می‌دهد که با افزایش ارتفاع سازه شکل پذیری بدست آمده با شبیث ثابت افزایش می‌یابد.

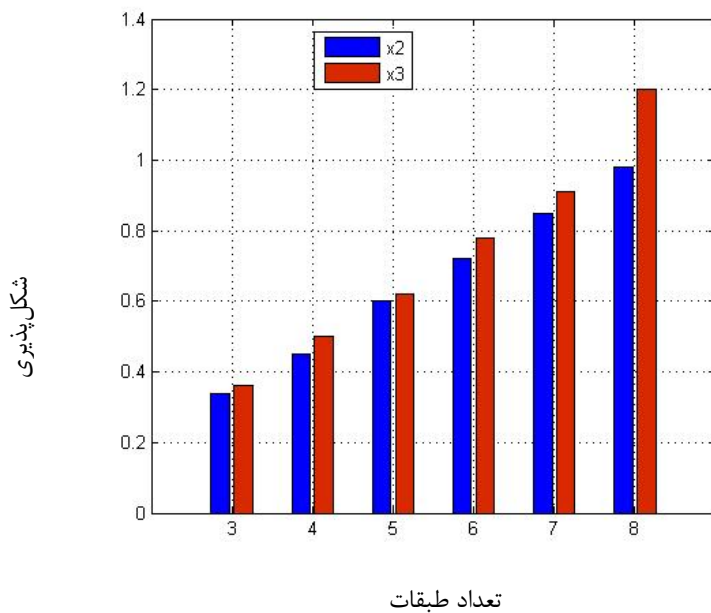


شکل (۱۸-۴): شکل پذیری سازه‌های دو دهانه طراحی شده با قاب خمشی فولادی خرپایی ویژه با قطریهای ضربدری



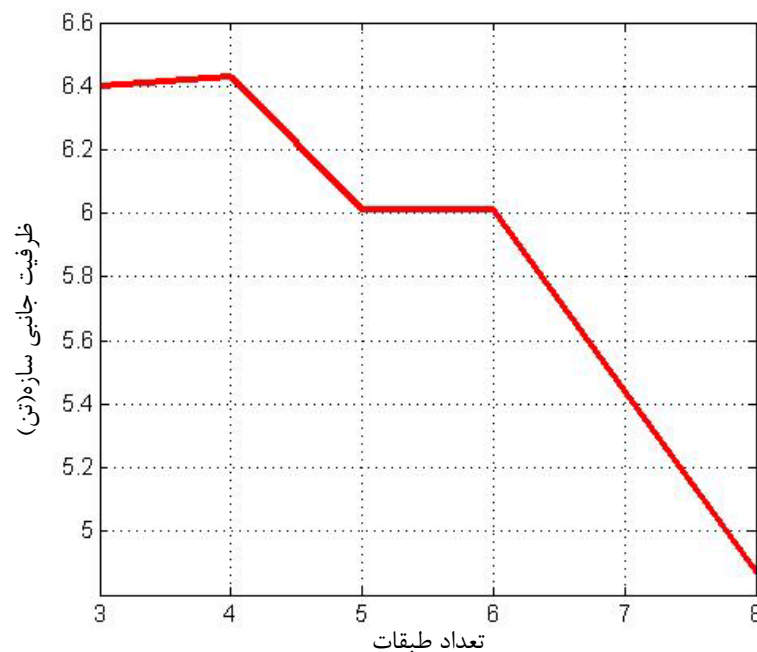
شکل (۱۹-۴): شکل پذیری سازه‌های سه دهانه طراحی شده با قاب خمشی فولادی خربایی ویژه با قطریهای ضربدری

در شکل (۲۰-۴) متوسط مقادیر شکل پذیری برای قاب‌های دو دهانه و سه‌دهانه نشان داده شده؛ قابل ملاحظه است که بیشترین مقدار شکل پذیری مربوط به قاب سه دهانه و کمترین میزان مربوط به قاب دو دهانه می‌باشد. ضمناً با افزایش تعداد طبقات بدلیل کاهش صلبیت جانبی قاب، شکل پذیری سازه افزایش می‌یابد.

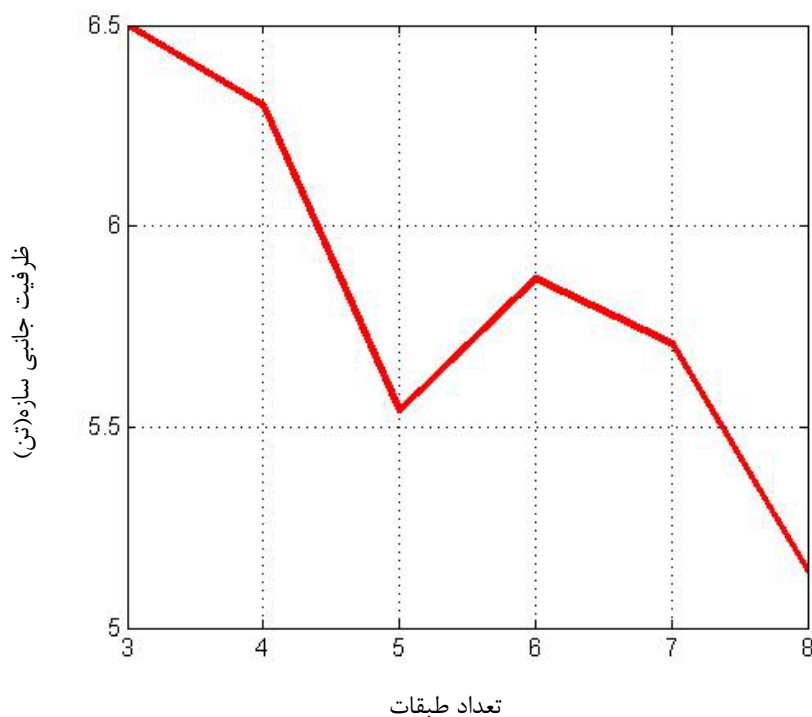


شکل (۲۰-۴): مقایسه متوسط مقادیر شکل پذیری سازه‌های طراحی شده با قاب خمشی فولادی خربایی ویژه با قطریهای ضربدری

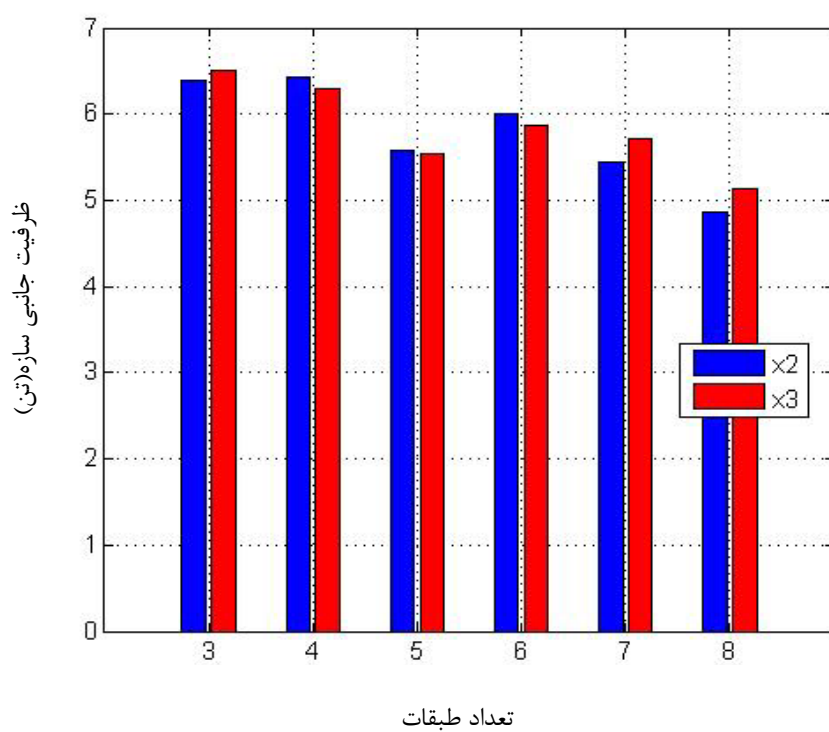
شکل (۲۱-۴) تا (۲۳-۴) نمودار ظرفیت جانبی سازه و متوسط مقادیر آن نشان می‌دهد؛ نتایج بیانگر آن است که بیشترین مقدار ظرفیت جانبی سازه مربوط به قاب سه‌دهانه سه طبقه می‌باشد. در ضمن مقادیر اضافه مقاومت (ظرفیت جانبی سازه) برخلاف قاب خمشی فولادی خرپایی ویژه ویریندل با افزایش ارتفاع سازه کاهش می‌یابد.



شکل (۲۱-۴): نمودار ظرفیت جانبی سازه‌های دو دهانه طراحی شده با قاب خمشی فولادی خرپایی ویژه با قطریهای ضربدری



شکل (۲۲-۴): نمودار ظرفیت جانبی سازه‌های سه دهانه طراحی شده با قاب خمشی فولادی خرپایی و بیزه با قطریهای ضربدری



شکل (۲۳-۴): مقایسه متوسط ظرفیت جانبی سازه‌های طراحی شده با قاب خمشی فولادی خرپایی و بیزه با قطریهای ضربدری

در شکل (۲۴-۴) و (۲۵-۴) نمودارهای مربوط به ضریب رفتار ( $R$ ) برای قابها ترسیم شده است.

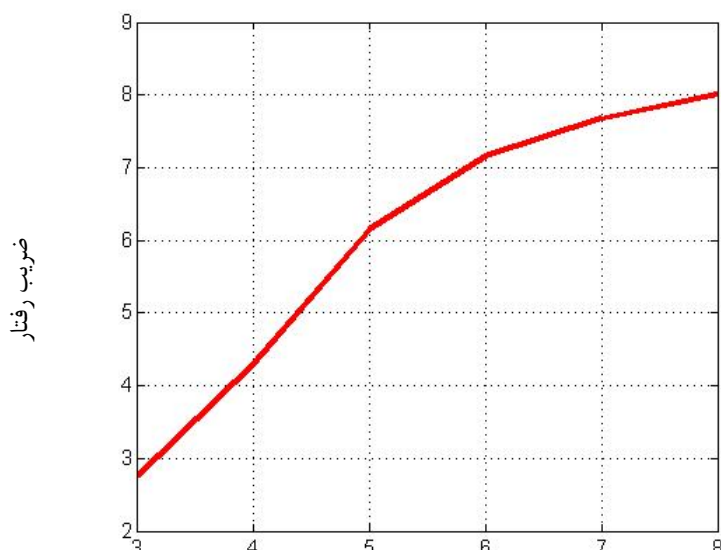
ملاحظه می‌شود که مقادیر ضریب رفتار با افزایش ارتفاع سازه افزایش و همچنین مقادیر ضریب رفتار

بدست آمده برای سازه‌های ۶ تا ۸ طبقه بیشتر از مقادیر آئین‌نامه‌ای  $R = 6$  می‌باشد و این مقدار

برای سازه‌های ۳ تا ۵ طبقه کمتر از مقادیر آئین‌نامه‌ای است. همچنین با توجه به مقادیر ضریب رفتار

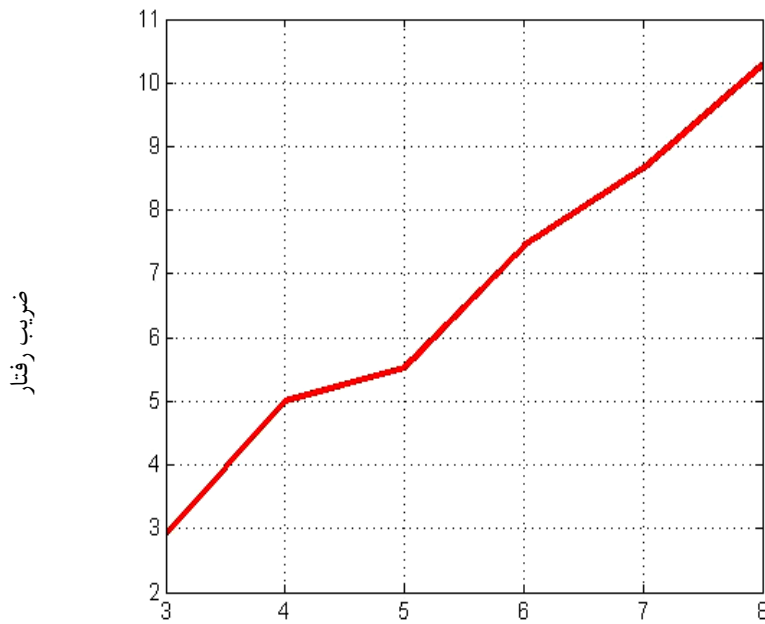
سازه‌های ۳ تا ۵ طبقه کاملاً متأثر از ضریب شکل پذیری بوده که با نتایج تحقیقات مراجع

[۱۹ و ۹] همخوانی دارد.



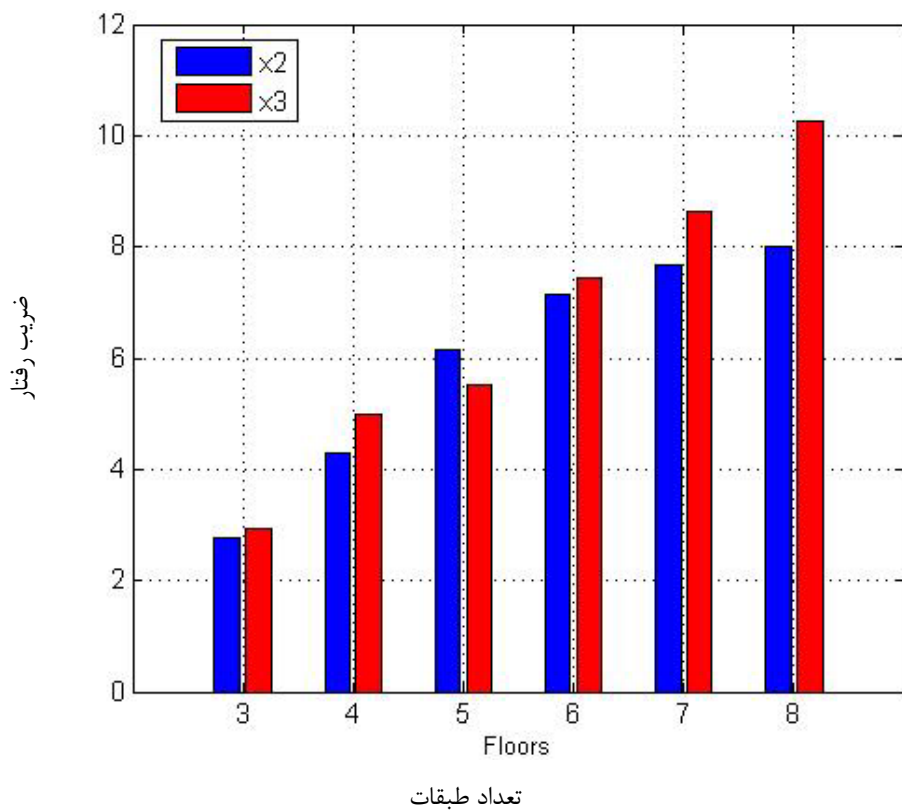
تعداد طبقات

شکل (۲۴-۴): نمودار ضریب رفتار سازه‌های دو دهانه طراحی شده با قاب خمشی فولادی خرپایی ویژه با  
قطربهای ضربدری



شکل (۲۵-۴): نمودار ضریب رفتار رسازه‌های سه دهانه طراحی شده با قاب خمشی فولادی خرپایی ویژه با قطریهای ضربدری

در شکل (۲۶-۴) متوسط مقادیر ضریب رفتار ( $R$ ) قاب دو و سه دهانه با قطریهای ضربدری نشان داده شده است. نتایج نشان می‌دهد که قاب سه دهانه ضریب رفتار بیشتری نسبت به قاب دو دهانه از خود نشان می‌دهد.

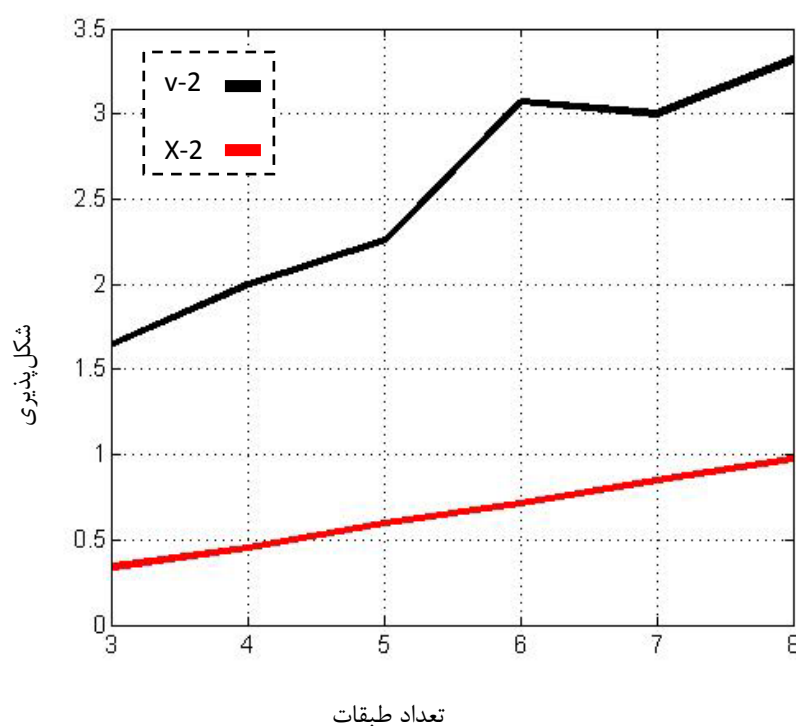


شکل (۲۶-۴): نمودار مقایسه ضریب رفتار سازه‌های طراحی شده با قاب خمشی فولادی با قطریهای ضربدری دو و سه دهانه

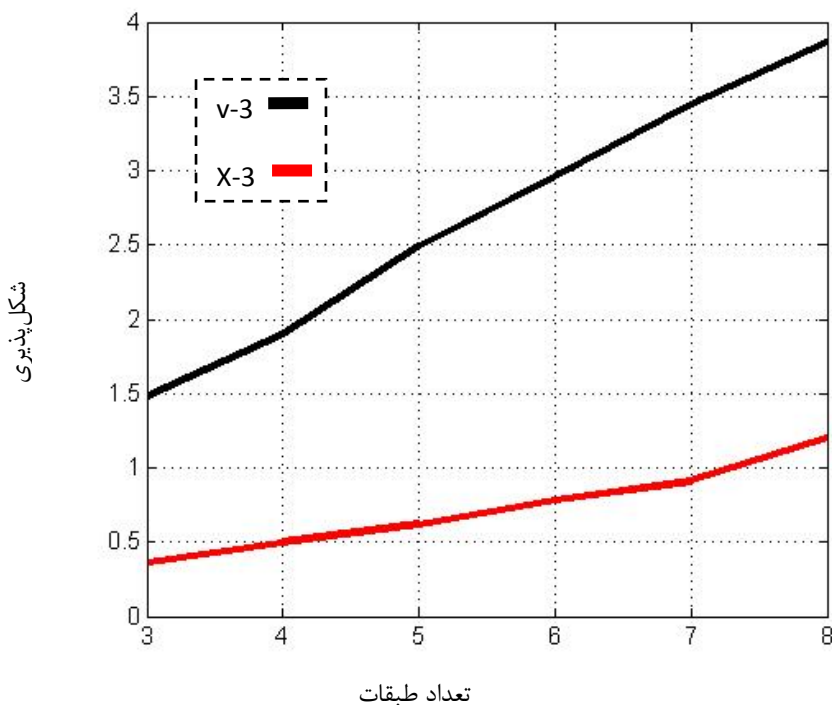
### ۳-۳-۴. مقایسه نتایج آنالیز استاتیکی غیرخطی برای قاب خمشی فولادی خرپایی ویژه ویرندیل و قطریهای ضربدری

در شکل (۲۷-۴) تا (۳۴-۴) نمودار شکل‌پذیری و ضریب رفتار سازه‌های طراحی شده با قاب خمشی فولادی خرپایی ویژه ویرندیل و قطریهای ضربدری نشان داده شده است. با مقایسه نتایج و در حالت کلی با صرفنظر از برخی نتایج می‌توان گفت مقادیر ضریب رفتار بدست آمده برای هر دو نوع قاب خمشی طراحی شده ۶ تا ۸ طبقه در این تحقیق بیشتر از مقادیر آئیننامه‌ای ( $R = 6$ ) برای قاب خمشی با شکل‌پذیری متوسط می‌باشد. ضمناً نتایج نشان می‌دهد که قاب خمشی فولادی خرپایی ویژه ویرندیل (STM-V) ضریب رفتار بیشتری نسبت به قاب خمشی فولادی خرپایی ویژه قطریهای ویژه ویرندیل (STM-X) به می‌دهد. اختلاف بین ضریب رفتار STM-V و STM-X برای قابهای دو ضربدری (STM-X) به ما می‌دهد.

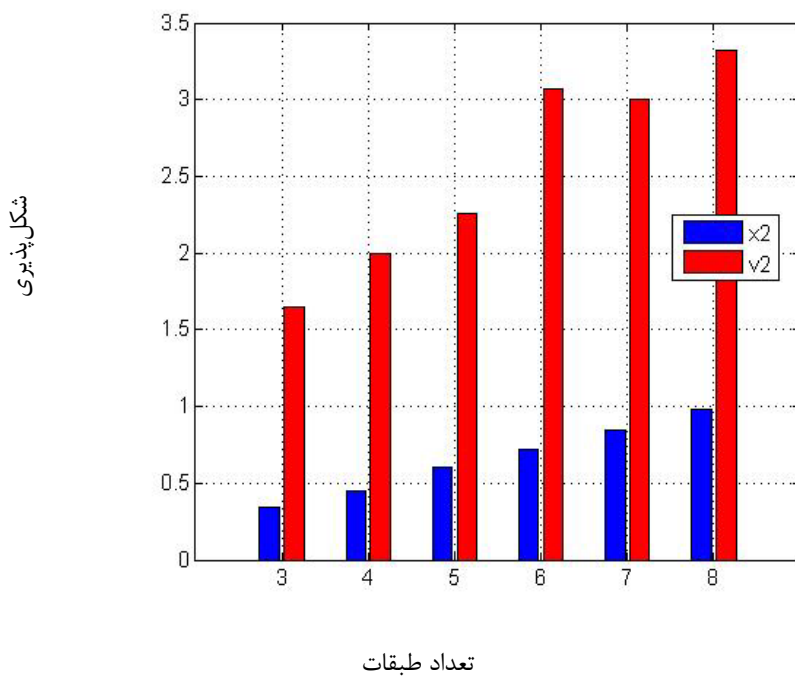
دهانه در طبقات پایین و در قابهاب سه دهانه در طبقات بالا مقدار حداکثر را دارد. به خوبی مشاهده می شود که علت عدمه آن تفاوت مولفه شکل‌پذیری ضریب رفتار می‌باشد. بنابراین با یک نگاه کلی می‌توان سیستم‌های طراحی شده با قاب خمشی فولادی خرپایی ویژه ویرندیل را شکل‌پذیرتر از سیستم‌های طراحی شده با قاب خمشی فولادی خرپایی ویژه با قطریهای ضربدری دانست. با توجه نتایج ارائه شده پیکربندی بهینه برای قاب خمشی ویژه، قاب خمشی فولادی خرپایی ویژه ویرندیل می‌باشد زیرا ضریب رفتار و شکل پذیری بیشتری نسبت به قاب با قطریهای ضربدری از خود نشان می‌دهد.



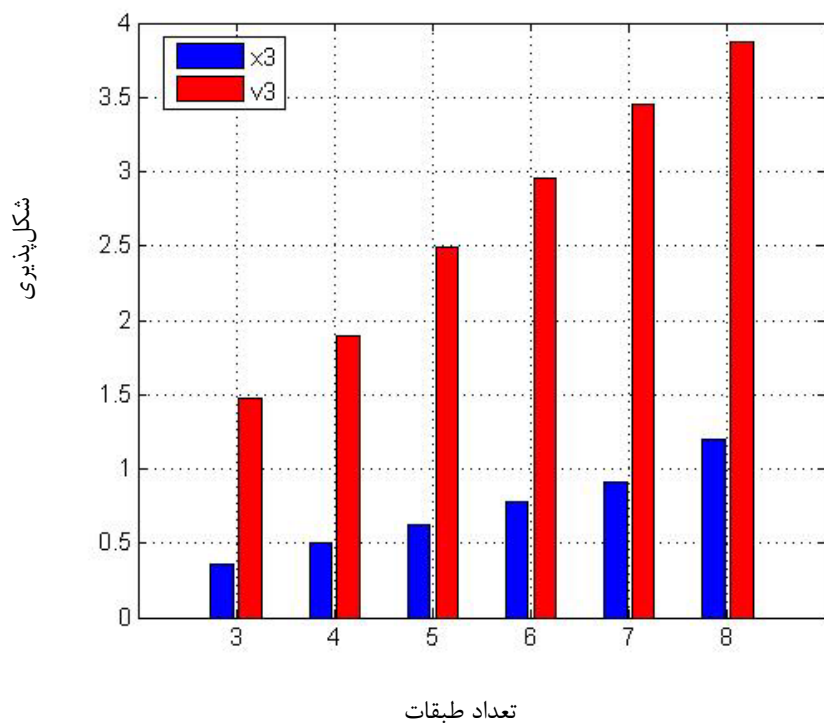
شکل (۲۷-۴): مقایسه شکل‌پذیری سازه‌های دو دهانه طراحی شده با قاب خمشی فولادی خرپایی ویژه ویرندیل با قطریهای ضربدری



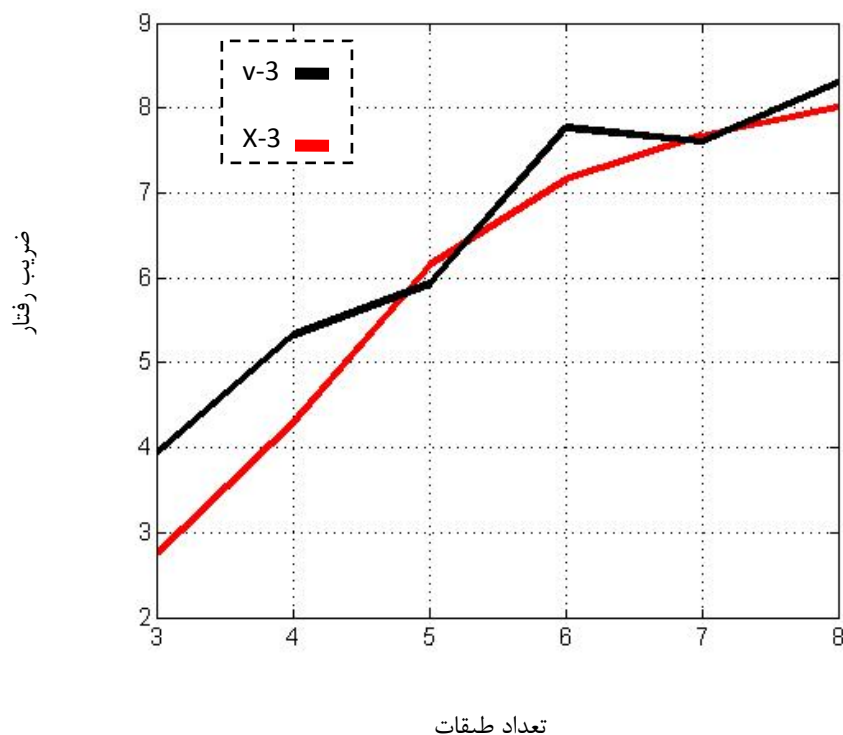
شکل (۲۸-۴): مقایسه شکل پذیری سازه های سه دهانه طراحی شده با قاب خمشی فولادی خرپایی ویژه ویربندل با قطریهای ضربدری



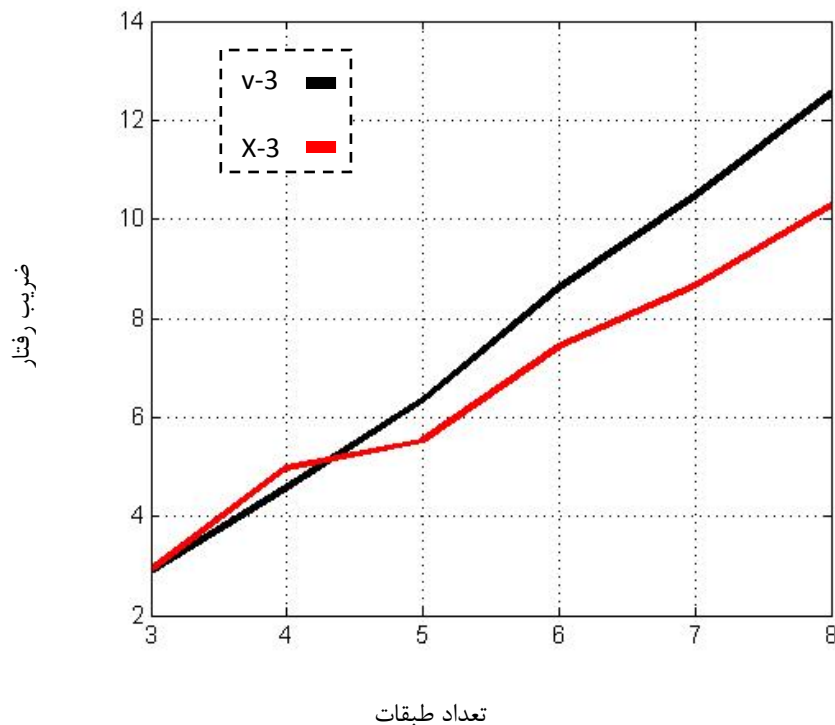
شکل (۲۹-۴): مقایسه متوسط شکل پذیری سازه های دو دهانه طراحی شده با قاب خمشی فولادی خرپایی ویژه ویربندل و قطریهای ضربدری



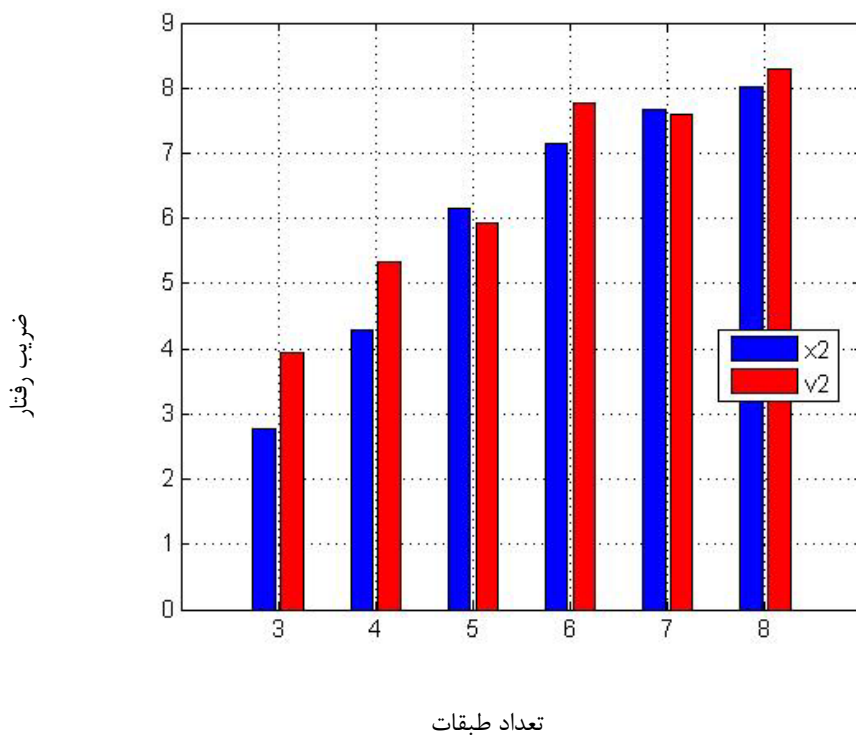
شکل (۳۰-۴): مقایسه متوسط شکل پذیری سازه‌های سه دهانه طراحی شده با قاب خمشی فولادی خرپایی ویژه ویرندیل و قطریهای ضربدری



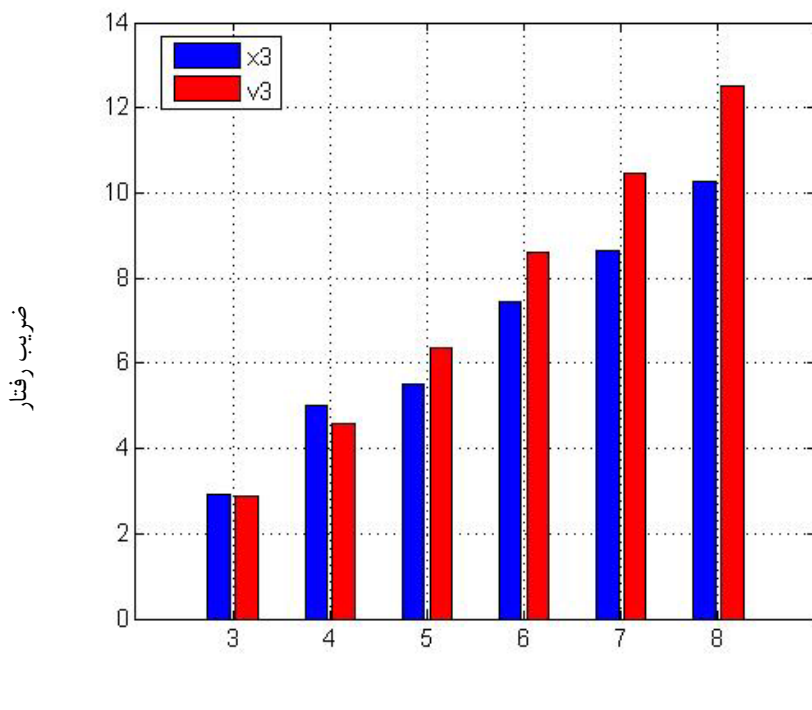
شکل (۳۱-۴): مقایسه ضریب رفتار سازه‌های دو دهانه طراحی شده با قاب خمشی فولادی خرپایی ویژه ویرندل با قطریهای ضربدری



شکل (۳۲-۴): مقایسه ضریب رفتار سازه‌های سه دهانه طراحی شده با قاب خمشی فولادی خرپایی ویژه ویریندل با قطریهای ضربدری

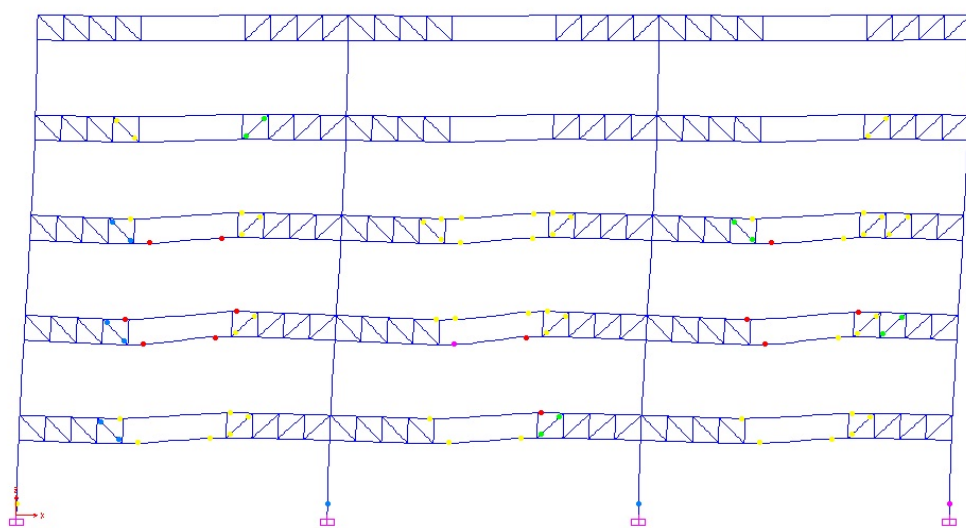


شکل (۳۳-۴): مقایسه متوسط ضریب رفتار سازه‌های دو دهانه طراحی شده با قاب خمشی فولادی خرپایی ویژه ویریندل و قطریهای ضربدری

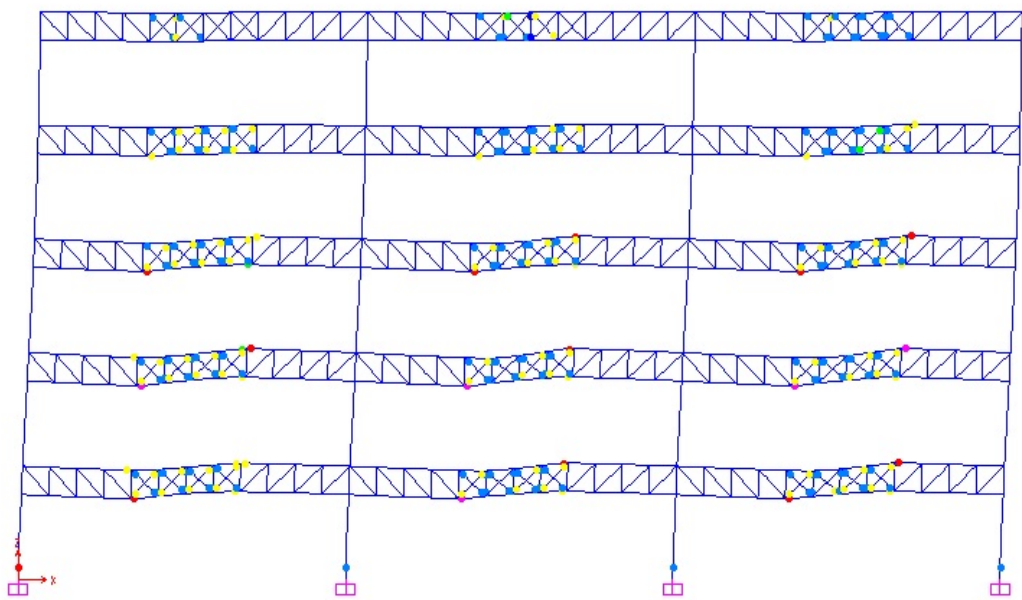


شکل (۳۴-۴): مقایسه ضریب رفتار سازه‌های سه دهانه طراحی شده با قاب خمشی فولادی خرپایی ویژه ویرندیل و قطریهای ضربدری

اشکال (۳۵-۴) و (۳۶-۴) مقایسه تشکیل مفاصل پلاستیک برای یک نمونه سازه پنج طبقه با سه دهانه طراحی شده با قاب خمشی فولادی خرپایی ویژه ویرندیل و قطریهای ضربدری تحت الگوی بارگذاری مثلثی را نشان می‌دهد.



شکل (۳۵-۴): تشکیل مفاصل پلاستیک بر روی سازه STM 3-5 Virindeel تحت بارگذاری مثلثی



شکل (۳۶-۴): تشکیل مفاصل پلاستیک بر روی سازه STM 3-5X تحت بارگذاری مثلثی

## فصل پنجم:

بھینہ یابی

## ۱-۵. مقدمه

با در نظر گرفتن این نکته که سیستم قاب خمشی خرپایی ویژه در اکثر مواقع برای ساختمان های با ارتفاع و طول دهانه زیاد مورد استفاده قرار میگیرد و با توجه به نتایج حاصل از فصل چهارم که بیانگر این نکات می باشد :

قاب های خمشی خرپایی ویژه ویرندیل با افزایش تعداد دهانه ها و طبقات (بیشتر از ۵ طبقه) شکل پذیری و ضریب رفتار بهتری در مقایسه با قاب های خرپایی ویژه با قطری های ضربدری از خود نشان می دهد.

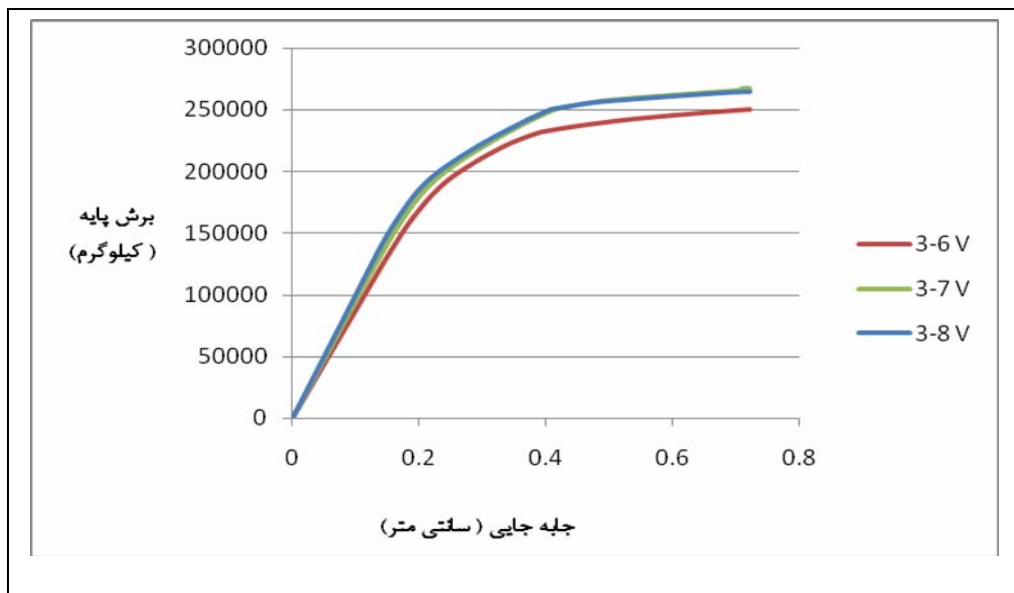
در این فصل به بررسی تاثیر حالت های مختلف نسبت طول دهانه به ارتفاع ناحیه ویژه ( $a/b$ ) خواهیم پرداخت و با مقایسه نتایج حاصله پیکر بندی بهینه برای قاب های خمشی خرپایی ویژه جهت بهبود رفتار لرزه ای آنها را تعیین خواهیم نمود.

### ۲-۵. نتایج آنالیز استاتیکی غیرخطی در حالت استفاده از قاب خمشی فولادی خرپایی ویژه ویرندیل با نسبت طول دهانه به ارتفاع قطعه ویژه مختلف

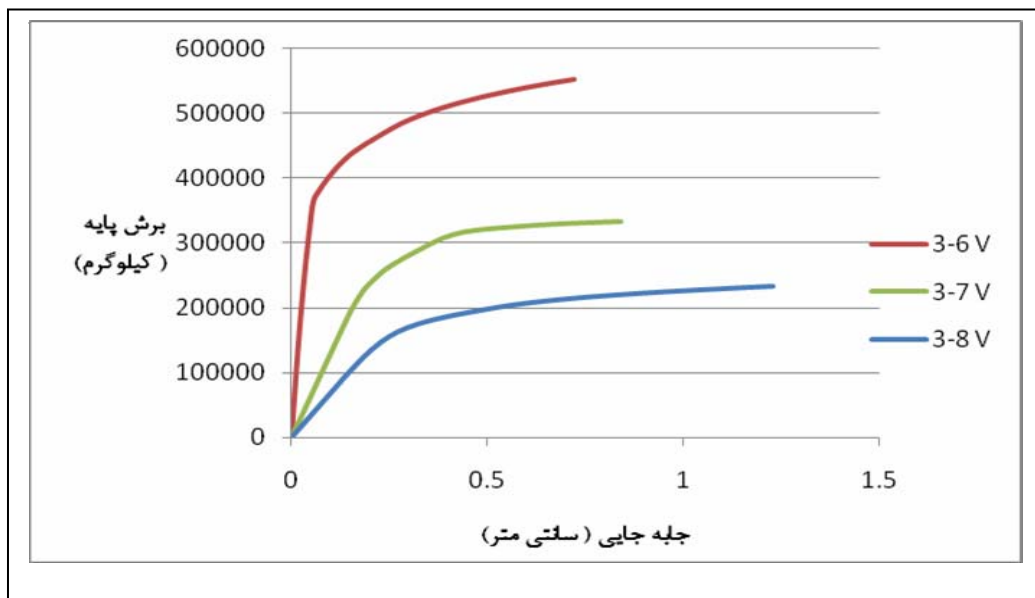
با توجه به تحلیل و طراحی نمونه ها و انجام تحلیل های غیرخطی که در فصل سوم ارائه گردید و با توجه به نمونه مثال عنوان شده در فصل چهارم که مراحل تعیین ضریب رفتار و پارامترهای مربوطه به آن به طور کامل تشریح شد، در این بخش به ارائه نتایج حاصل از آنالیز استاتیکی غیرخطی نمونه ها خواهیم پرداخت.

## ۲-۱. منحنی ظرفیت

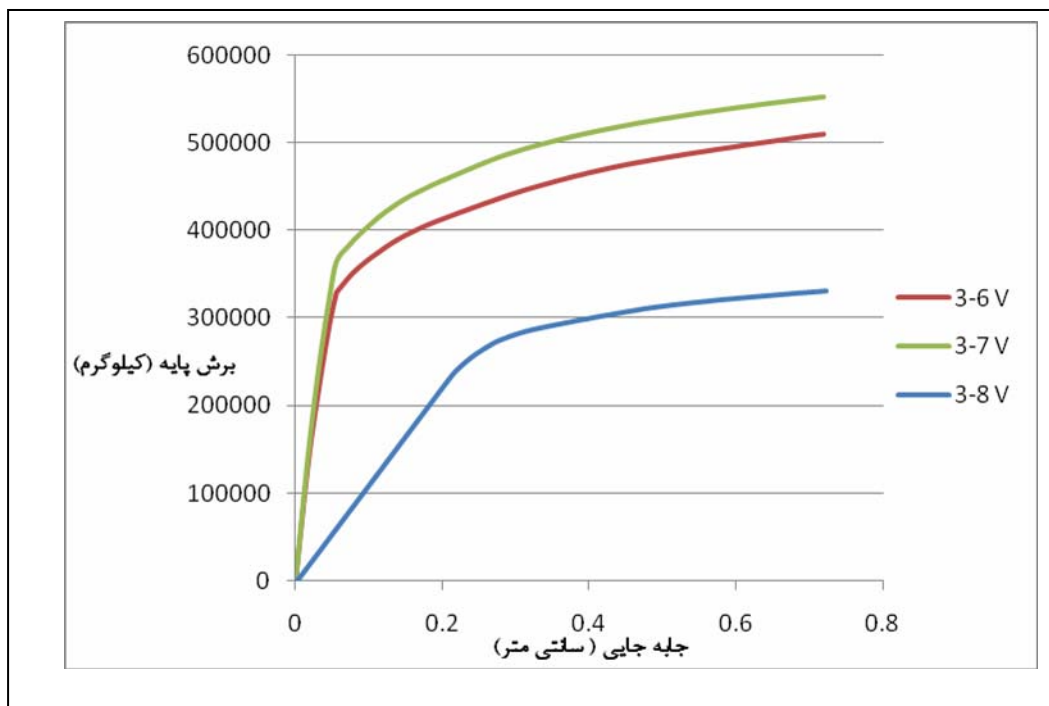
شکل (۱-۵) تا (۴-۵) منحنی های ظرفیت حاصل شده از انجام تحلیلهای غیرخطی استاتیکی بر روی مدل های سه دهانه با نسبت های مختلف  $a/b$  را برای حالت بارگذاری مثلثی نشان می دهد.



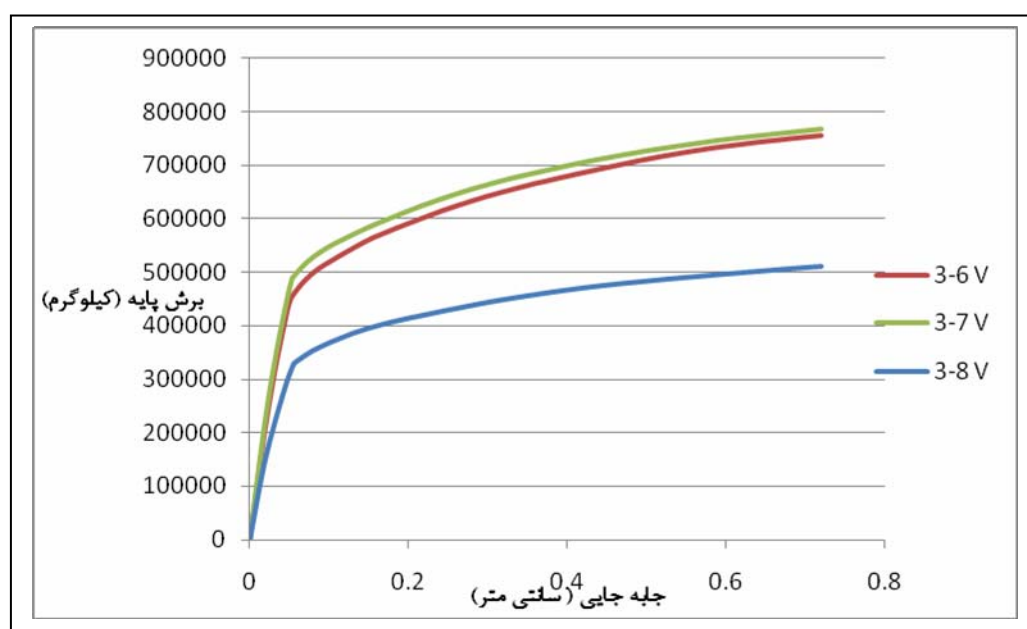
شکل(۱-۵): منحنی برش پایه-تغییر مکان برای STM 3 – Vierendeel با نسبت  $a/b=2.5$  تحت الگو بارگذاری جانبی مثلثی



شکل(۲-۵): منحنی برش پایه-تغییر مکان برای STM 3 – Vierendeel با نسبت  $a/b=2.0$  تحت الگو بارگذاری جانبی مثلثی



شکل (۵-۳): منحنی برش پایه-تغییر مکان برای STM 3 – Vierendeel با نسبت  $a/d=1.5$  تحت الگو بارگذاری جانبی مثلثی



شکل (۵-۴): منحنی برش پایه-تغییر مکان برای STM 3 – Vierendeel با نسبت  $a/d=1.0$  تحت الگو بارگذاری جانبی مثلثی

در جداول (۱-۵) تا (۴-۵) مقادیر شکل‌پذیری و اضافه مقاومت و ضریب کاهش نیرو در اثر شکل‌پذیری و ضرایب رفتار محاسبه شده برای قابهای طراحی شده با قاب خمی فولادی خرپایی ویژه ویرندیل نشان داده شده است.

جدول (۱-۵): خلاصه نتایج آنالیز استاتیکی غیرخطی سازه‌های سه دهانه طراحی شده با قاب خمی فولادی خرپایی ویژه ویرندیل با نسبت دهانه به ارتفاع قطعه ویژه  $a/b=2.5$

تعداد طبقات	$R_s.$	$R_{s1}$	$\mu$	$R_\mu$	$R_w$
6	1.494	1.719	3.44	3.136	7.65
7	1.494	1.719	3.36	3.069	7.53
8	1.494	1.7253	3.72	3.35	8.1

جدول (۲-۵): نتایج آنالیز استاتیکی غیرخطی سازه‌های سه دهانه طراحی شده با قاب خمی فولادی خرپایی ویژه ویرندیل با نسبت دهانه به ارتفاع قطعه ویژه  $a/b=2.0$

تعداد طبقات	$R_s.$	$R_{s1}$	$\mu$	$R_\mu$	$R_w$
6	6.01	6.94	0.8064	0.7952	7.04
7	5.44	6.28	0.952	0.9408	7.39
8	4.87	5.62	1.0976	1.0976	7.88

جدول (۳-۵): خلاصه نتایج آنالیز استاتیکی غیرخطی سازه‌های سه دهانه طراحی شده با قاب خمشی فولادی خرپایی ویژه ویرندیل با نسبت دهانه به ارتفاع قطعه ویژه  $a/b=1.5$

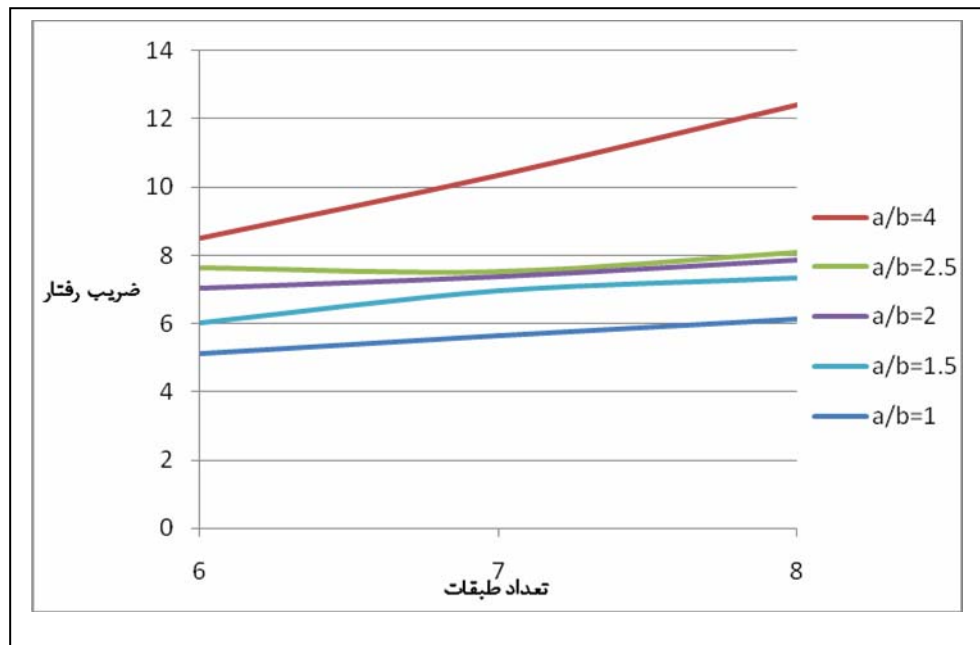
تعداد طبقات	$R_s.$	$R_{s1}$	$\mu$	$R_\mu$	$R_w$
6	5.022	5.80041	0.672	0.6944	6.03
7	5.409	6.247395	0.8064	0.7952	6.95
8	5.283	6.101865	0.8736	0.8512	7.34

جدول (۴-۵): نتایج آنالیز استاتیکی غیرخطی سازه‌های سه دهانه طراحی شده با قاب خمشی فولادی خرپایی ویژه ویرندیل با نسبت دهانه به ارتفاع قطعه ویژه  $a/b=1.0$

تعداد طبقات	$R_s.$	$R_{s1}$	$\mu$	$R_\mu$	$R_w$
6	5.67	6.54885	0.56	0.5264	5.11
7	4.986	5.75883	0.6944	0.672	5.63
8	5.022	5.80041	0.672	0.6944	6.15

### ۳-۵. تحلیل نتایج

در شکل (۵-۵) نمودار ضریب رفتار ( $R$ ) برای قابها نشان داده شده است. ملاحظه می‌شود که مقادیر ضریب رفتار برای قاب سه دهانه ویریندل با افزایش تعداد طبقات (۶ طبقه تا ۸ طبقه) با شبیث ثابتی افزایش می‌یابد.



شکل (۵-۵): نمودار ضریب رفتار سازه‌های سه دهانه طراحی شده با قاب خمشی فولادی خرپایی ویژه ویرندیبل

فصل ششم:  
نتیجه‌گیری و  
ارائه پیشنهادات

## ۶- نتیجه‌گیری

در این رساله قاب‌های خمشی فولادی خرپایی ویژه با ناحیه میانی ویرندیل و قطریهای ضربدری با تحت الگوی بارگذاری مثلثی توسط تحلیل استاتیکی غیرخطی مورد بررسی قرار گرفته‌اند. با توجه به نتایج به دست آمده برای شکل‌پذیری، اضافه مقاومت و ضریب رفتار نتایج زیر حاصل می‌گردد:

۱- با مقایسه نتایج و در حالت کلی می‌توان گفت مقادیر ضریب رفتار بدست آمده برای هر دو نوع قاب خمشی طراحی شده ۶ تا ۸ طبقه بیشتر از مقادیر آئین‌نامه‌ای ( $R = 6$ ) و برای ۳ تا ۵ طبقه کمتر از مقادیر آئین‌نامه‌ای می‌باشد. به خوبی مشاهده می‌شود که علت عدمه آن تفاوت مولفه شکل‌پذیری ضریب رفتار می‌باشد.

۲- با بررسی مقادیر  $R$  ملاحظه می‌شود که سیستم‌های طراحی شده با قاب خمشی فولادی خرپایی ویژه ویرندیل شکل‌پذیرتر از سیستم‌های طراحی شده با قاب خمشی فولادی خرپایی ویژه با قطریهای ضربدری هستند.

۳- به طور کلی با افزایش ارتفاع سازه و تعداد دهانه‌ها مقادیر شکل‌پذیری و ضریب رفتار قاب‌های خمشی فولادی خرپایی ویژه ویرندیل و قطریهای ضربدری افزایش می‌یابد.

۴- شکل‌پذیری سیستم‌های طراحی شده با قاب خمشی با قطریهای ضربدری ، تحت الگوهای بارگذاری مختلف در حدود (۳۰-۴۰٪) سیستم‌های طراحی شده با قاب خمشی ویریندل می‌باشد.

۵- ضریب رفتار سیستم‌های طراحی شده با قاب خمشی با قطریهای ضربدری ، تحت الگوهای بارگذاری مختلف در حدود (۷۰-۸۵٪) سیستم‌های طراحی شده با قاب خمشی ویریندل می‌باشد.

۶- ظرفیت جانبی سازه ( $R_{s0}$ ) قاب خمشی ویریندل دو و سه دهانه با افزایش ارتفاع سازه افزایش و در قاب خمشی با قطریهای ضربدری با افزایش ارتفاع سازه کاهش می‌یابد.

۷- ظرفیت جانبی سازه سیستم‌های طراحی شده با قاب خمشی با ویریندل، تحت الگوهای بارگذاری

مختلف حدود (۳۵-۱۸٪) سیستم‌های طراحی شده با قاب خمشی ضربدری می‌باشد.

۸- به طوری کلی مقادیر ضریب رفتار بدست آمده برای سیستم قاب خمشی فولادی با قطریهای

ضربدری تحت تأثیر مؤلفه مقاومتی آن بوده و پایین بودن مؤلفه شکل‌پذیری ضریب رفتار، نشان از

این دارد که رفتار سازه‌ها از نظر شکل‌پذیری چندان مناسب نمی‌باشد.

۹- با توجه به نمونه‌های بررسی شده، پیکربندی مناسب برای قاب خمشی ویژه، خرپایی، استفاده از

ناحیه میانی ویراندیل می‌باشد زیرا ضریب رفتار و شکل‌پذیری بیشتری نسبت به قاب با قطریهای

ضربدری از خود نشان می‌داد.

۱۰- با توجه به نتایج حاصل ملاحظه می‌شود که نمی‌توان زیاد متکی به ضریب رفتار پیشنهادی

آئین نامه‌ها بود و بهتر است براساس تحلیل استاتیکی غیرخطی و براساس روند تکرار،  $R$  مناسب

اتخاذ گردد.

۱۱- نتایج حاصل منعکس کننده این است که در تعیین ضریب رفتار اثر  $R$  (حاکم در خرپایی

ویراندیل) برتر از (حاکم در خرپاهای ضربدری) می‌باشد.

۱۲- با کاهش نسبت دهانه به ارتفاع قطعه ویژه ( $a/b$ ) ضریب رفتار قاب خمشی خرپایی ویژه ویریندل

کاهش می‌یابد.

## ۶- ۲. پیشنهاد برای تحقیقات آینده

۱- درنظر گرفتن تأثیر سایر الگوهای بارگذاری جانبی بر روی پارامترهای لرزه‌ای سیستم‌های سازه‌ای

۲- استفاده از روش‌های دیگر تعیین ضریب رفتار از جمله روش طیف ظرفیت، روش تکرار- روش

انرژی و ... .

۳- بدست آوردن پیکربندی مناسب برای هر سیستم جهت افزایش ضریب رفتار  $R$  سازه‌ای

۴- بررسی تأثیر سایر معیارهای گسیختگی بر روی مقدار ضریب رفتار  $R$

۵- بررسی رفتار قاب خمشی خرپایی ویژه تحت تحلیل دینامیکی غیرخطی

## مراجع

- 1- آیین‌نامه طراحی ساختمان‌ها در برابر زلزله، استاندارد ۲۸۰۰ ایران، ویرایش سوم، ۱۳۸۴، کمیته دائمی بازنگری آیین‌نامه طراحی ساختمان‌ها در برابر زلزله، تهران، مرکز تحقیقات ساختمان و مسکن.
- 2-Goel, S.C., and Itani, A.M., "Seismic Behavior of OpenWeb TrussMoment Frames," J. Struct. Div., ASCE, 120(6), 1763-1780, 1994.
- 3- Goel, S.C., and Itani, A.M., "Seismic-Resistant Special Truss Moment Frames," J. Struct. Div., ASCE, 120(6), 1781-1797, 1994.
- 4- Basha, H.S., and Goel, S.C., "Special TrussMoment FramesWith VierendeelMiddle Panel," Engineering Structures, Vol. 17, (5), 352-358, 1995.
- 5- "International Building Code," International Code Council, Falls Church, VA. 2000.
- 6- AISC, 2005. ANSI/AISC 341-05, Seismic Provisions for Structural Steel Buildings, American Institute of Steel Construction, Chicago, Illinois.
- 7Pincheira, J.A., Jirsa, J.O.: Seismic response of RC frames retrofitted with steel braces or walls, Journal of Structural Engineering ASCE, Vol. 121, No. 8, August, 1995.
- 8 Uang C.M (1991), "Establishing R (or R<sub>w</sub>) and C<sub>d</sub> Factors for building seismic provisions.", Journal of Structural Engineering ASCE, Vol. 117, NO. I, pp. 19-28.
- 9- Miranda. E (1993), "Site-dependentstrengthreduction factors" J. of Struct.Engtg, ASCE, Vol.119, No 12, pp.3503-3519.
- 10- Newmark NM, Hall W.J. (1982), Earthquake spectra and design. El Cerrito, California: Earthquake Engineering Research Institute (EERI).

- 11- Clough W, Penzien J. (1975), "Dynamics of Structures". McGraw-Hill.
- 12- Naeim. F (1989) "The Seismic design hand book", Van nostrandreinhold, ISBN 0-442-26922-6.
- 13- Hidalgo. P.A, and Arias. A (1990), "New Chilean for the E.Q. resistant design of building", Proc. 4<sup>th</sup> US National Conf. on Earthquake Engineering, Vol.2, pp. 927-936
- 14- Krawinkler H, Nassar AA. (1992), Seismic design based on ductility and cumulative damage demand and capacities. In: Fajfar, Krawinkler, editors, Nonlinear seismic analysis and design of reinforced concrete buildings. New York: Elsevier Applied Science, pp. 947-956.
- 15- Fischinger. M, Fajfar. P and Vidic, T (1994), "Factors contributing to the response reduction", Proc. 5<sup>th</sup> US National Conf. on Earthquake Engineering, Vol.1, pp. 97-106.
- 16- Fajfar. P (1995), "Design spectra for the new generation of codes: Euro code 8 achieves the half-way mark." proc. 10<sup>th</sup> European Conference on Earthquake Engineering, Duma, pp. 2965-2974.
- 17- Osteraas. J and Krawinkler. H (1990), "Seismic design based on strength of structures", Proc. 4<sup>th</sup> US National Conf. on Earthquake Engineering, Vol.2, pp. 955-964.
- 18- Schmidt. BJ, Bartlett. FM. (2002), "Review of resistance factor for steel resistance distributions and resistance factor calibration". Canadian Journal of Civil Engineering, 29: pp. 109-19.

- 19- Jinkoo Kim, Hyunhoon Choi, (2004), "Response modification factors of chevron-braced frames", Engineering Structures, pp. 285-298.
- 20- Freeman. S.A, (1995),"On the Correlation of code forces to earthquake demands". Proc. 4<sup>th</sup> U.S. Japan Workshop on the Improvement of Building Structural Design and Construction Practices, ATC-15-3, pp. 245-268.
- 21- Zeris. C.A., Tassios. T. P, Y. LU & G.Zhang. F (1992), "Influence of irregularity on the q factor of R.C. frames", Proc. Tenth World Conference on Earthquake Engineering, Vol.10. pp. 5681-5686.
- 22- American Institute of Steel, "Manual of steel construction", Chicago 1989.
- 23- Computers & Structures Inc., "SAP2000 Structural Program", Berkeley, California.
- 24- AM Mwafy, AS Elnashai. (2002), "Calibration of force reduction of factor of RC building", Journal of Earthquake Engineering, pp. 239-73.
- 25- Maher MR, Akbari R. (2003), "Seismic behavior factor, R, for steel X-braced and knee- braced RC buildings". Engineering Structures, 25(15): pp. 1505-13.
- 26-Osman.A, Gobarah. A and Korol R.M, (1995), "Implications of design philosophies fpr seismic response of steel moment frames", J. of Earthquake Engineering and Structural Dynamics, Vol. 24, pp. 127-143.

## **Abstract**

In this thesis special truss moment frame behavior co-efficiency with two patterns of truss members in the form of vierendeel and x-diagonal through using the Yang method was determined by based on the convergence method.

Based on the results of this thesis, truss moment frames with the form of vierendeel have a better ductility than the X form. Also, with the increase of the number of frame span and the number of floors ductility increases.

Based on the obtained results from 3 to 5 floors  $R$  in the area  $3.94 < R < 6.35$  and 6 to 8 floors in the area of  $7.77 < R < 12.53$  is obtained. Later the analysis of vierendeel truss based on different ratio of special segment span to the height of truss to obtain suitable behavioral co-efficiency is done. Based on the obtained results with increase of the mentioned ratio behavioral co-efficiency increases.

## **Key words:**

Special truss moment frame(STMF),statically nonlinear analysis(PUSH OVER),seismic behavior improvement,optimization